

ISSN 0201-758X
ISSN 0320-6572

ВІСНИК ЛЬВІВСЬКОГО УНІВЕРСИТЕТУ

ПРИКЛАДНІ
ЗАДАЧІ
МАТЕМАТИКИ
І МЕХАНІКИ

СЕРІЯ МЕХАНІКО-МАТЕМАТИЧНА

ВИПУСК

22

1984



МІНІСТЕРСТВО ВИЩОЇ І СЕРЕДНЬОЇ
СПЕЦІАЛЬНОЇ ОСВІТИ УРСР

ВІСНИК
ЛЬВІВСЬКОГО УНІВЕРСИТЕТУ
СЕРІЯ МЕХАНІКО-МАТЕМАТИЧНА
ВИПУСК 22

ПРИКЛАДНІ ЗАДАЧІ
МАТЕМАТИКИ І МЕХАНІКИ

Виходить з 1965 р.

ЛЬВІВ
ВИДАВНИЦТВО ПРИ ЛЬВІВСЬКОМУ ДЕРЖАВНОМУ УНІВЕРСИТЕТІ
ВИДАВНИЧОГО ОБ'ЄДНАННЯ «ВИША ШКОЛА»
1984

ББК 22II

П75

УДК 518

Вестн. Львов. ун-та, серия мех.-мат., вип. 22. Прикладные задачи математики и механики. - Львов: Вища школа. Изд-во при Львов. ун-те, 1984; 104 с. /На укр. яз./.

В Вестнике помещены статьи по численным методам решения уравнений математической физики и задач оптимизации, статические и динамические задачи механики сплошной среды.

Для научных работников, преподавателей, аспирантов и студентов старших курсов. Библиогр. списки в конце статей.

Редакційна колегія: проф., д-р техн. наук Д.В.Грильцький /відп. ред./, доц., канд. фіз.-мат. наук Ю.М.Шербина /відп. секр./, доц., канд. фіз.-мат. наук М.Я.Бартіш, доц., канд. фіз.-мат. наук А.І.Кардаш, проф., д-р техн. наук Н.П.Флейшман.

Адреса редакційної колегії:

290000, Львів, Університетська, I, кафедра теорії оптимальних процесів.

Редакція науково-технічної літератури

Зав. редакцією М.П.Парцей

ВГ202050000_095
M225/04/-84 Замовче

С Львівський державний
університет, 1984

Ю.М.Щербина, Б.М.Голуб

ЗБІЖНІСТЬ ІТЕРАЦІЙНОГО МЕТОДУ
З ПАМ'ЯТЮ ДЛЯ МІНІМІЗАЦІЇ ФУНКІЙ

Розглянемо задачу

$$f(x) \rightarrow \min, \quad x \in E^n$$

де E^n - n - мірний евклідів простір.

Для розв'язування задачі /1/ дослідимо ітераційний метод з пам'ятю [1, 2]

$$x_{n+1} = x_n - [f'(x_n)]^{-1} f'(x_n), \quad /2/$$

$$\bar{x}_n = \begin{cases} x_0, & \text{якщо } n=0, \\ x_n - \frac{1}{2} [f''(\bar{x}_{n-1})]^{-1} f'(x_n), & \text{якщо } n=1,2,3,\dots \end{cases}$$

Порядок збіжності цього методу дорівнює $1 + \sqrt{2} \approx 2,41$,
тоді як збільшення кількості арифметичних операцій на кожній іте-
рації порівняно з методом Ньютона незначне [5].

Достатні умови збіжності методу дас наступна теорема.

Теорема. Нехай функція $f(x)$ сильно випукла на $E^n, f \in C^3$
і, крім того,

$$\|f'''(x)\| \leq R,$$

$$\|f'''(x) - f'''(y)\| \leq L \|x-y\|,$$

$$x, y \in E^n, \quad R = \text{const} > 0, \quad L = \text{const} > 0.$$

Нехай початкове наближення x_0 вибране таким, що

$$\ell \|f'(x_0)\| \leq mq, \quad /3/$$

де $\frac{C}{\ell} = \infty > 0$ - константа сильної випуклості; g - лежка константа, $0 < g < 1$; $\ell^2 = \frac{C^2}{m^2} + \frac{2}{3} \frac{L}{m}$.

Тоді існує існування / x_n /, визначене умовами /1/, яка збігається до сильної точки x_* мінімуму функції $f(x)$ на E^n , причому наведена оцінка

$$\|x_k - x_*\| \leq \ell^{k+1} g^k, \quad k=0,1,2,\dots, \quad 14$$

де $D_0 = 1$; $D_1 = 2$; $D_j = 2D_{j-1} + D_{j-2}$; $j=2,3,4,\dots$

Доведення. Існування і сильність точки x_* випливає з властивостей сильно випуклих функцій [3]. Доведемо оцінку /4/.

Оскільки $f(x)$ - сильно випукла, то

$$\langle f'(x)y, y \rangle \geq m \|y\|^2.$$

Звідси [3]

$$\|[f''(x)]^{-1}\| \leq \frac{1}{m}, \quad x \in E^n. \quad 15$$

Введемо числові послідовності

$$a_k = \|f'(x_k)\|, \quad b_{k+1} = \|\bar{x}_{k+1} - \bar{x}_k\|, \quad k=0,1,2,\dots$$

Покажемо, що

$$a_k \leq \frac{m}{\ell} g^{D_k}, \quad k=0,1,2,\dots, \quad 16$$

а також

$$b_k \leq \frac{2}{m} a_{k-1}, \quad k=1,2,3,\dots \quad 17$$

При $k=0$ нерівність /6/ випливає із умови /3/.

Доведемо нерівність /6/, /17/ при $k=1$. Із /2/ заміщемо

$$f'(x_1) = f'(x_0) - f'(x_0) - f''(\bar{x}_0)(x_1 - x_0). \quad 18$$

Розкладаючи у правій частині формули /8/ $f'(x_1)$ за формулами Тейлора [4], дістамо

$$f'(x_1) = f'(x_0) + f''(x_0)(x_1 - x_0) +$$

$$+ \int_0^1 (1-t) f'''(x_0 + t(x_i - x_0)) (x_i - x_0)^2 dt - \\ - f'(x_0) - f''(\bar{x}_0)(x_i - x_0).$$

191

Використовуючи умови теореми і те, що $\bar{x}_0 = x_0$, з 191 записуємо

$$\|f'(x_i)\| \leq \frac{R}{2} \|x_i - x_0\|^2,$$

звідки

$$a_i = \|f'(x_i)\| \leq \frac{m}{\ell} q^2 = \frac{m}{\ell} q^D.$$

Далі

$$b_i = \|\bar{x}_i - \bar{x}_0\| = \|x_i - x_0\| \leq \frac{2}{m} a_i.$$

Нехай нерівності 161, 171 є правильними при деякому $K \geq 2$.

Із умови 121 маємо

$$f'(x_{K+1}) = f'(x_K) - f'(x_K) - f''(\bar{x}_K)(x_{K+1} - x_K). \quad 1/10/$$

Розкладаємо $f'(x_{K+1})$ за формулou Тейлора [4]:

$$f'(x_{K+1}) = f'(x_K) + f''(x_K)(x_{K+1} - x_K) + \\ + \int_0^1 (1-t) f'''(x_K + t(x_{K+1} - x_K)) (x_{K+1} - x_K)^2 dt + \\ + \frac{1}{2} f''(x_K)(x_{K+1} - x_K)^2 - \frac{1}{2} f'''(x_K)(x_{K+1} - x_K)^2 = \\ = f'(x_K) + f''(x_K)(x_{K+1} - x_K) + \frac{1}{2} f'''(x_K)(x_{K+1} - x_K)^2 + \\ + \int_0^1 (1-t) [f'''(x_K + t(x_{K+1} - x_K)) - f'''(x_K)] (x_{K+1} - x_K)^2 dt.$$

Підставляючи отриманий розклад у праву частину формули 1/10/ і ще раз скориставшись формулou Тейлора, записуємо

$$f'(x_{K+1}) = f''(x_K)(x_{K+1} - x_K) + \frac{1}{2} f'''(x_K)(x_{K+1} - x_K)^2 + \overset{\circ}{J}_{1,K} - \\ - f''(x_K)(x_{K+1} - x_K) - f'''(x_K)(\bar{x}_K - x_K)(x_{K+1} - x_K) - \overset{\circ}{J}_{2,K},$$

$$\text{де } \hat{J}_{1,K} = \int_0^1 (1-t) [f'''(x_K + t(x_{K+1} - x_K)) - f'''(x_K)] (x_{K+1} - x_K)^2 dt,$$

$$\hat{J}_{2,K} = \int_0^1 [f'''(x_K + t(\bar{x}_K - x_K)) - f'''(x_K)] (\bar{x}_K - x_K) (x_{K+1} - x_K) dt.$$

Тоді з 1/2) маємо

$$f'(x_{K+1}) = -\frac{1}{2} f'''(x_K) [f''(\bar{x}_K)]^{-1} f'(x_K) (x_{K+1} - x_K) +$$

$$+ \frac{1}{2} f'''(x_K) [f''(\bar{x}_{K-1})]^{-1} f'(x_K) (x_{K+1} - x_K) + \hat{J}_{1,K} - \hat{J}_{2,K}.$$

Далі

$$f'(x_{K+1}) = \frac{1}{2} f'''(x_K) \{ [f''(\bar{x}_{K-1})]^{-1} [f''(\bar{x}_K)]^{-1} \} f'(x_K) (x_{K+1} - x_K) +$$

$$+ \hat{J}_{1,K} - \hat{J}_{2,K} = \frac{1}{2} f'''(x_K) [f''(\bar{x}_{K-1})]^{-1} \{ f''(\bar{x}_K) - f''(\bar{x}_{K-1}) \} \times$$

$$\times [f''(\bar{x}_K)]^{-1} f'(x_K) (x_{K+1} - x_K) + \hat{J}_{1,K} - \hat{J}_{2,K} =$$

$$= \frac{1}{2} f'''(x_K) [f''(\bar{x}_{K-1})]^{-1} \{ f''(\bar{x}_K) - f''(\bar{x}_{K-1}) \} \times$$

$$\times (x_{K+1} - x_K)^2 + \hat{J}_{1,K} - \hat{J}_{2,K}.$$

Опінімно, враховуючи 1/1).

$$\begin{aligned} a_{K+1} &= \|f'(x_{K+1})\| \leq \frac{1}{2} R \frac{1}{m} R \beta_K \|x_{K+1} - x_K\|^2 + \\ &+ \frac{1}{6} L \|x_{K+1} - x_K\|^3 + \frac{1}{2} L \|\bar{x}_K - x_K\|^2 \|x_{K+1} - x_K\| \leq \\ &\leq \frac{R^2}{m^3} a_{K-1} \frac{1}{m^2} a_K^2 + \frac{1}{6} L \frac{1}{m^3} a_K^3 + \frac{1}{2} L \frac{1}{m^3} a_{K-1} a_K^2 \leq \\ &\leq \left(\frac{R^2}{m^4} + \frac{2}{3} \frac{L}{m^3} \right) a_K^2 a_{K-1}. \end{aligned}$$

і остаточно

$$a_{K+1} \leq \frac{\ell^2}{m^2} a_K^2 a_{K-1}.$$

1/III/

з 1/III/ і припущення індукції записуємо

$$a_{K+1} \leq \ell^2 \frac{1}{m^2} \frac{m^2}{\ell^2} q^{2D_K} \frac{m}{\ell} q^{D_{K-1}} =$$

$$= \frac{m}{\ell} q^{2D_K + D_{K-1}} = \frac{m}{\ell} q^{D_{K+1}}.$$

Отже, нерівність /6/ доведена.

Зараз легко показати

$$B_{k+1} = \|\tilde{x}_{k+1} - \tilde{x}_k\| \leq \frac{2}{m} \alpha_k.$$

Далі, враховуючи $\|\tilde{x}_k - x_*\| \leq \alpha_k/m$ [3] і нерівність /6/, отримуємо остаточно

$$\|x_k - x_*\| \leq \ell^k q^{D_k}, \quad k=0,1,2,\dots$$

Теорема доведена.

Зauważення. Для визначення порядку збіжності методу з нерівністі /II/ записуємо рівняння $\rho = 2 + \frac{1}{\rho}$, де ρ - порядок збіжності. Звідси

$$\rho = 1 + \sqrt{2} \approx 2,41.$$

Список літератури: 1. Барт іш М.Я. Про один ітераційний метод розв'язування функціональних рівнянь. - ДАН УРСР, серія А, 1968, 5. 2. Барт іш М.Я., Щербина Ю.Н. Об одном ітерационном процессе решения нелинейного операторного уравнения. - Вычислительная и прикладная математика, 1972, вып. I6. 3. Вассильев Ф.П. Численные методы решения экстремальных задач. - М.: Наука, 1980. 4. Картан А. Дифференциальное исчисление. Дифференциальные формы. - М.: Мир, 1971. 5. Форсайт Дж., Молер К. Численное решение систем линейных алгебраических уравнений. - М.: Мир, 1969.

Стаття надійшла в редколегію 14.04.82

М.В.Бук, А.Я.Дзвоник

ЗАСТОСУВАННЯ МЕТОДУ КАНТОРОВИЧА
ДЛЯ СИСТЕМ ДІФЕРЕНЦІАЛЬНИХ РІВНЬ

Узагальнено метод Канторовича [1-4] для систем діференціальних рівнень.

Розглянемо систему рівнень другого порядку

$$\mathcal{L}U = \sum_{i=1}^m \frac{\partial}{\partial x_i} (A_{ij}(P) \frac{\partial U}{\partial x_j}) + R(P)U = f(P) \quad /1/$$

при умовах

$$U(P)|_r = 0. \quad /2/$$

Систему /1/ розглядаємо в області D простору координат (x_1, \dots, x_m) , обмеженої достатньо гладкою поверхнею Γ яка исключить дві гіперплощини $x_1=a, x_1=b, a < b$; Γ_1 — поверхня Γ без показаних гіперплощин; $P(x_1, \dots, x_m), Q(x_1, \dots, x_m)$ — точки відповідно m і $m-1$ — мірних просторів.

У системі /1/ - /2/ $U(P) = (U_1(P), \dots, U_m(P)), f(P) = (f_1(P), \dots, f_m(P))$

A — компонентні вектор-функції; A_{ij}, R — матриці A -го порядку, елементи яких є функціями від змінних x_1, \dots, x_m .

Відносно заданих функцій припускаємо, що $f(P)$ належить дійсному гільбертовому простору \mathfrak{J} — компонентних вектор-функцій

$$H = L_2(D)$$

$$\|f\|^2 = \int f^2(P) dP = \int \sum_{k=1}^m f_k^2(P) dP.$$

Матриці A_{ij} задовільняють наступні умови:

a) $A_{ij} = A_{ji}, (i, j = 1, 2, \dots, m),$

b) якщо бх не були A -компонентні вектори t_1, t_2, \dots, t_m завжди виконана інерівність

$$\mu_0 \sum_{k=1}^m \|t_k\|^2 \leq \sum_{j=1}^m A_{ij} t_j t_i \leq \mu_1 \sum_{k=1}^m \|t_k\|^2, \quad /3/$$

$\mu_0, \mu_1 - \text{const} > 0$; тут крапка означає скалярне множення, // / - довжину вектора.

Відносно матриці R припускаємо, що вона задовільняє умову

$$\beta \mathcal{U}^2 \leq R \mathcal{U} \cdot \mathcal{U} \leq \beta' \mathcal{U}^2.$$

14/

За область визначення $D(L)$ оператора L приймасмо мно-
жину \mathbf{L} -компонентних вектор-функцій, двічі неперервно диферен-
ційованих у замкнuttй області $D = D + \Gamma$, які задовільняють
крайові умови 12/.

Введемо оператор T , який визначається формулами

$$Tu = - \sum_{i=1}^m \frac{\partial^2 u}{\partial x_i^2},$$

$$u|_{\Gamma} = 0,$$

з $D(T) = D(L)$. Оператор T , як це виливає з нерівності
Фрідріхса, єдатно визначений

$$(Tu) \geq \gamma \|u\|^2, \quad \gamma - \text{const} > 0.$$

15/

Позначимо через $H_0 \subset H$ енергетичний простір оператора
 T , тобто виміння між $D(T)$ у метриці

$$[u, v]_0 = (Tu, v) = \int \sum_{j=1}^m \frac{\partial u}{\partial x_j} \frac{\partial v}{\partial x_j} d\rho,$$

$$\|u\|_0^2 = [u, u]_0.$$

Із нерівності 15/ у результаті граничного переходу для довільної
вектор-функції $u \in H_0$ отримуємо

$$\|u\| \leq \frac{1}{\gamma} \|u\|_0.$$

16/

Припускаємо, крім цього, що для заданої задачі 11/ - 12/ кон-
станти μ_0, β_0, γ такі, що для константи G , яка визначає-
ся спiввiдношенням

$$G = \begin{cases} \mu_0 + \frac{\beta_0}{\gamma^2}, & \text{коли } \beta_0 \leq 0, \\ \mu_0, & \text{якщо } \beta_0 \geq 0, \end{cases}$$

17/

виконується умова $G > 0$.

Для довільних 1 -компонентних вектор-функцій $u, v \in H_0$
формально введемо білінійну форму

$$L(u, v) = \int_D \left[\sum_{i,j=1}^m A_{ij}(P) \frac{\partial u}{\partial x_j} \frac{\partial v}{\partial x_i} + R(P)uv \right] dP. \quad /8/$$

Встановимо тепер для довільної вектор-функції $u \in H_0$ виконання нерівності

$$L(u, u) \geq \sigma |u|_0^2. \quad /9/$$

Справді, для довільної вектор-функції $u \in H_0$, використовуючи /3/ і /4/, маємо

$$\begin{aligned} L(u, u) &= \int_D \left[\sum_{i,j=1}^m A_{ij}(P) \frac{\partial u}{\partial x_j} \frac{\partial u}{\partial x_i} + R(P)u \cdot u \right] dP \geq \\ &\geq \mu_0 \int_D \sum_{i=1}^m \left(\frac{\partial u}{\partial x_i} \right)^2 dP + \beta \int_D u^2 dP = \mu_0 |u|_0^2 + \beta \|u\|^2. \end{aligned}$$

Якщо $\beta \leq 0$, то використовуючи /6/, отримуємо

$$L(u, u) \geq \mu_0 |u|_0^2 + \beta \|u\|^2 \geq \mu_0 |u|_0^2 = \sigma |u|_0^2.$$

Отже, нерівність /9/ виконується. З неї випливає, що оператор задачі /1/ - /2/ дещто визначений.

Аналогічним чином встановлюється, що для довільної вектор-функції $u \in H_0$ виконується нерівність

$$L(u, u) \leq \eta |u|_0^2, \quad /10/$$

де η визначається співвідношенням

$$\eta = \begin{cases} \mu_1 + \frac{\beta}{\mu^2}, & \text{якщо } \beta \geq 0, \\ \mu_1, & \text{коли } \beta < 0. \end{cases} \quad /11/$$

Таким чином, для довільної вектор-функції $u(P) \in H_0$ справедлива нерівність

$$\sigma |u|_0^2 \leq L(u, u) \leq \eta |u|_0^2, \quad /12/$$

де $\sigma \leq \eta$ визначається відповідно σ відповідно /7/ - /11/.

Узагальненим розв'язком задачі /I/ - /2/ називається \mathcal{A} -компонентна вектор-функція $U \in H_0$, для якої виконується тотожність

$$L(U, V) = \int_D \left[\sum_{ij=1}^m A_{ij} \frac{\partial U}{\partial x_j} \frac{\partial V}{\partial x_i} + R U \cdot V \right] dP = \int_D f \cdot V dP \quad /13/$$

при довільній вектор-функції $V(P) \in H_0$.

Якщо $V(P)$ довільна неперервно диференційовна в D вектор-функція, дорівнює нульові на границі Γ області D , а $U(P)$ - двічі неперервно диференційовна в D вектор-функція, що дорівнює нульові на границі Γ області D і всі елементи матриць A_{ij} , R і вектор-функція $f(P)$ в системі /I/ достатньо гладкі, то /I/ - /2/ і відношення /13/ еквівалентні. З /I/ - /2/ випливає /13/, а з /13/ випливає /I/ - /2/. Тому введений узагальнений розв'язок задачі /I/ - /2/ є природнім розширенням класичного поняття розв'язку задачі /I/ - /2/. Відомо, що виконання умови /13/ забезпечує існування та єдиність узагальненого розв'язку [I].

Задачу /I/ - /2/ розв'язуємо методом Канторовича, згідно з яким наближений розв'язок шукаємо у вигляді

$$U_n(P) = \sum_{k=1}^n \sum_{l=1}^d C_{kl}(x_i) \varphi_{kl}(P), \quad /14/$$

де $U_n(P) = (U_{11}(P), \dots, U_{nd}(P))$; $\varphi_{kl}(P)$ ($k=1, 2, \dots, d$; $l=1, 2, \dots, d$) - попарно вибрані лінійно незалежні в Γ 1-закостованих вектор-функції, для яких виконується умова

$$\varphi_{kl}(P)|_{\Gamma} = 0.$$

Їх вибираємо таким чином, щоб система функцій $\{x_p(x_i) \varphi_{kl}(P)\}$ $\in H_0$ ($k, p = 1, 2, \dots; l = 1, 2, \dots, d$) була повною системою лінійно незалежних функцій у просторі H_0 , при цьому система функцій $\{x_p(x_i)\}$ задовільняє умови

$$x_p(x_i)|_{x_i=a} = x_p(x_i)|_{x_i=b} = 0, \quad p = 1, 2, 3, \dots$$

Невідомі коефіцієнти $C_{kl}(x_i)$ визначаються з системи

$$\int_{D_{x_i}} (L\mathcal{U}_n - f) \varphi_{kl}(P) dQ = 0, \quad /15/$$

$$C_{kl}(x_i)/x_i = C_{kl}(x_i)/x_i = 0, \quad k=1,2,\dots,n; l=1,2,\dots,d, \quad /16/$$

де D_{x_i} - переріз області D гіперплощину $x_i = \text{const.}$

Система /15/ зводиться до лінійної системи звичайних диференціальних рівнянь другого порядку відносно $C_{kl}(x_i)$.

Введемо поняття узагальненого розв'язку для системи методу Канторовича /15/ - /16/. Позначимо через $H_n \subset H$ простір \mathbf{A} - компонентних функцій вигляду

$$\mathcal{U}_n(P) = \sum_{k=1}^n \sum_{l=1}^d a_{kl}(x_i) \varphi_{kl}(P),$$

де $\mathcal{U}_n(P) = (U_{n1}(P), \dots, U_{nd}(P))$. Нехай для деякої вектор-функції $\mathcal{U}_n(P) \in H_n \cap H_0$ справедлива тотожність

$$\mathcal{Z}(\mathcal{U}_n g) = \int_D \left[\sum_{i,j=1}^m A_{ij} \frac{\partial \mathcal{U}_n}{\partial x_j} \frac{\partial g}{\partial x_i} + R \mathcal{U}_n \cdot g \right] dP = \int_D f \cdot g dP, \quad /17/$$

в якій $g_n(P)$ - довільна вектор-функція із $H_n \cap H_0$. Тоді вектор-функція $\mathcal{U}_n(P)$ називається узагальненим розв'язком системи методу Канторовича /15/ - /16/.

Покажемо тепер, що узагальнений розв'язок системи методу Канторовича /15/ - /16/ існує. Для цього, розв'язуючи задачу /1/ - /2/, застосуємо метод Бубнова-Гал'єркіна, згідно з яким наближений розв'язок $\mathcal{U}_n^t(P)$ шукаємо у вигляді

$$\mathcal{U}_n^t(P) = \sum_{k=1}^n \sum_{l=1}^d \sum_{\rho=1}^t C_{kl}^\rho \chi_\rho(x_i) \varphi_{kl}(P), \quad /18/$$

де $\mathcal{U}_n^t = (\mathcal{U}_{n1}^t(P), \dots, \mathcal{U}_{nd}^t(P))$. Невідомі коефіцієнти C_{kl}^ρ визначаються зі системи

$$\begin{aligned} \mathcal{Z}(\mathcal{U}_n^t, \chi_\rho \varphi_{kl}) &\equiv \int_D \left[\sum_{i,j=1}^m A_{ij} \frac{\partial \mathcal{U}_n^t}{\partial x_j} \frac{\partial}{\partial x_i} (\chi_\rho(x_i) \varphi_{kl}(P)) + \right. \\ &\quad \left. + R \mathcal{U}_n^t \chi_\rho(x_i) \varphi_{kl}(P) \right] dP = \int_D f \chi_\rho(x_i) \varphi_{kl}(P) dP, \quad k=1,2,\dots,n; l=1,2,\dots,d; \\ &\quad \rho=1,2,\dots,t, \end{aligned} \quad /19/$$

яка зводиться до системи лінійних алгебраїчних рівнянь відносно невідомих коефіцієнтів C_{kl}^{ρ} .

Позначимо через $H_n^t \subset H_0$ простір функцій виду

$$h_n^t(P) = \sum_{k=1}^n \sum_{l=1}^d \sum_{\rho=1}^t b_{kl}^{\rho} \chi_{kl}^{\rho}(x_i) \varphi_{kl}^{\rho}(P),$$

де b_{kl}^{ρ} - довільні числа. Тоді на основі системи /19/ для довільного елемента $g_n^t(P) \in H_n^t$ маємо

$$Z(U_n^t, g_n^t) = \int_D \left[\sum_{i,j=1}^m A_{ij} \frac{\partial U_n^t}{\partial x_j} \frac{\partial g_n^t}{\partial x_i} + R U_n^t g_n^t \right] dP = \int_D f g_n^t dP. \quad /20/$$

Система /19/ має єдиний узагальнений розв'язок, оскільки з огляду на умову /12/ одержуємо

$$Z(U_n^t, U_n^t) = \int_D \left[\sum_{i,j=1}^m A_{ij} \frac{\partial U_n^t}{\partial x_j} \frac{\partial U_n^t}{\partial x_i} + R U_n^t U_n^t \right] dP \geq G \|U_n^t\|^2, \quad /21/$$

звідки випливає, що детермінант системи /19/ відмінний від нуля.

Покажемо тепер, що послідовність розв'язків $\{U_n^t\}$ системи рівнянь /19/ методу Бубнова-Галтьоркіна слабо збігається в просторі H_0 до узагальненого розв'язку системи методу Канторовича /15/ - /16/. Для цього встановимо спочатку обмеженість послідовності $\{U_n^t\}$ у просторі H_0 . Використовуючи нерівність

$$/21/ \text{ і співвідношення } /20/ \text{ при } g_n^t = U_n^t, \text{ маємо } \|U_n^t\|_0^2 \leq \frac{1}{G} Z(U_n^t, U_n^t) = \frac{1}{G} \int_D f \cdot U_n^t dP \leq \frac{1}{G} \|f\| \|U_n^t\|.$$

Звідси, враховуючи нерівність /6/, одержуємо $\|U_n^t\|_0 \leq \frac{1}{G} \|f\|$.

Із останньої нерівності випливає, що з послідовності $\{U_n^t\}$ можна виділити підпослідовність $\{U_n^{t_d}\}$, яка при $t_d \rightarrow \infty$ слабо збігається в просторі $H_n \cap H_0$, тим більше в просторі $H_n \cap H_0$, принаймні до однієї граничної точки $U_n \in H_n \cap H_0$.

Не обмежуючи загальності, можемо вважати, що вся послідовність

$\{U_n^t\}$ слабо збігається в просторі H_0 до U_n .

Оскільки для довільного елемента $g_n^t(P) = \sum_{k=1}^n \sum_{l=1}^d a_{kl}^t(x_i) \varphi_{kl}^t(P) \in$

$H_n \cap H_0$, можна побудувати послідовність елементів

$g_n^t(P) = \sum_{k=1}^n \sum_{\ell=1}^t \sum_{\rho=1}^t a_{k\ell}^\rho \chi_\rho(x_i) \varphi_{k\ell}(P) \in H_n^t \subset H_0$, де коефіцієнти $a_{k\ell}^\rho$ визначаються із системи

$$\sum_{k=1}^n \sum_{\ell=1}^t \sum_{\rho=1}^t a_{k\ell}^\rho [\chi_\rho(x_i) \varphi_{k\ell}(P), \chi_\tau(x_i) \varphi_{k\ell}(P)]_0 = [g_n(P), \chi_\tau(x_i) \varphi_{k\ell}(P)]_0 / 221$$

$$i=1, 2, \dots, n; \quad \tau = 1, 2, \dots, t;$$

таку, що $|g_n - g_n^t|_0 \rightarrow 0$ при $t \rightarrow \infty$. Зафіксувавши елемент $g \in H_n \cap H_0$, беремо у співвідношенні /20/ елемент $g_n^t \in H_n^t$, коефіцієнти $a_{k\ell}^\rho$ якого визначають із системи /22/. Тепер у співвідношенні /20/ можемо перейти до границі при $t \rightarrow \infty$. При цьому дістанемо рівність

$$Z(U_n, g_n) \equiv \int_D \left[\sum_{i,j=1}^m A_{ij} \frac{\partial U_n}{\partial x_j} \frac{\partial g_n}{\partial x_i} + R U_n g_n \right] dP = \int_D f g_n dP,$$

справедливу для довільної вектор-функції $g(P) = (g_1(P), \dots, g_m(P)) \in H_n \cap H_0$. Единість розв'язку забезпечується виконанням умови /12/.

Дійсно, нехай $U_n(P)$ і $W_n(P)$ – два узагальнені розв'язки системи методу Канторовича /15/ – /16/. Для них, враховуючи тотожність /17/, при $g = U_n - W_n$ відповідно маємо

$$Z(U_n, U_n - W_n) = \int_D f(U_n - W_n) dP,$$

$$Z(W_n, U_n - W_n) = \int_D f(U_n - W_n) dP.$$

Віднімаючи від першої рівності другу і враховуючи співвідношення /12/, дістамо

$$0 = Z(U_n - W_n, U_n - W_n) \geq G |U_n - W_n|_0.$$

Звідси випливає, що $U_n \equiv W_n$. Таким чином, система методу Канторовича /15/ – /16/ має єдиний узагальнений розв'язок

$U_n(P) \in H_n \cap H_0$. Отже, справедлива наступна теорема.

Теорема. Якщо матриці A_{ij} ($i, j = 1, 2, \dots, m$) системи /1/ такі, що виконується умова /12/, то для довільної вектор-функції

$f(P) = (f_1(P), \dots, f_m(P)) \in H$ задача /1/ – /2/ має єдиний узагальнений

розв'язок $\mathcal{U}(P) = (\mathcal{U}_1(P), \dots, \mathcal{U}_n(P)) \in H$ і при довільному n система методу Канторовича /I5/ - /I6/ - єдиний узагальнений розв'язок $\mathcal{U}_n(P) = (\mathcal{U}_{n1}(P), \dots, \mathcal{U}_{nn}(P)) \in H_n \cap H_0$.

Список літератури: І. В а р г а Р. Функциональный анализ и теория аппроксимации в численном анализе. - М., 1974. 2. В ла-
сова З.А. Решение задачи Дирихле методом приведения к обыкновенным дифференциальным уравнениям. - В кн.: Науч. тр. Ленинград. ин-та текстильной и легкой пром-ти, 1971, II. 3. К а н т о-
рович Л.В. Приближенные методы высшего анализа. - М., 1962.
4. Л у ч к а А.Ю., Ж у к М.В. Исследование быстроты сходимости
метода Канторовича для линейных дифференциальных уравнений эллип-
тического типа. - В кн.: Методы количественного и качественного
исследования дифференциальных и интегральных уравнений. - К., 1975.

Стаття надійшла в редакцію 14.12.81

УДК 517.946

І.М.Дудзяний, В.М.Цимбал

АСИМПТОТИКА РОЗВ'ЯЗКУ ЗМІШАНОЇ ЗАДАЧІ
ДЛЯ ДЕЯКОГО РІВНЯННЯ ТРЕТЬОГО ПОРЯДКУ
в області $D = \{(x,t) : 0 \leq x \leq l, 0 \leq t \leq T\}$ розглянемо зада-

44

$$\mathcal{L}_\varepsilon u \equiv \varepsilon \left(\frac{\partial u}{\partial t} - \frac{\partial^3 u}{\partial x^3} \right) - a(x,t) \frac{\partial^2 u}{\partial x^2} + b(x,t)u = f(x,t), \quad /1/$$

$$u(0,t) = 0, \frac{\partial u(0,t)}{\partial x} = 0, u(l,t) = 0, u(x,0) = 0; \quad /2/$$

де $\varepsilon > 0$ - малий параметр.

Умови однозначного розв'язку задачі /1/, /2/ встановлені у праці [6], там же наведені фізичні задачі, що приводять до математичних такого виду.

Припустимо, що виконуються умови:

$$1/ \alpha(x,t) > 0, \beta(x,t) > 0 \quad \text{в області } D;$$

2/ функції, які входять в /1/, достатньо гладкі;

$$3/ \frac{\partial^{i+j} f(0,0)}{\partial t^i \partial x^j} = \frac{\partial^{i+j} f(t,0)}{\partial t^i \partial x^j} = 0 \quad (i=0, \dots, N+1, i+j=0, N+1), \text{ де } N - \text{ точ-}$$

ність побудованої нижче асимптотики.

Методом примежового шару [1, 2] побудуємо асимптотичне розвинення розв'язку задачі 1/, 2/. Розв'язок задачі шукаємо у вигляді

$$u(x,t,\varepsilon) = \sum_{i=0}^N \varepsilon^i \bar{U}_i(x,t) + \sum_{i=0}^N \varepsilon^i \bar{P}_i(x,t) + \varepsilon \sum_{i=0}^{N+1} \varepsilon^i \bar{Q}_i(\xi, t) + \varepsilon^{N+1} \bar{R}_N, \quad /3/$$

де $\tau = t/\varepsilon$; $\xi = x/\varepsilon$ функції, що входять у /3/, визна-
чаемо нижче.

Рівняння для знаходження регулярної частини асимптотики $\sum_{i=0}^N \varepsilon^i \bar{U}_i(x,t)$ одержуємо застосуванням стандартної процедури методу збурень

$$\begin{aligned} -\alpha(x,t) \frac{\partial^2 \bar{U}_i}{\partial x^2} + \beta(x,t) \bar{U}_i &= f(x,t) - \alpha(x,t) \frac{\partial^2 \bar{U}_i}{\partial x^2} + \beta(x,t) \bar{U}_i = \\ &= -\left(\frac{\partial \bar{U}_{i-1}}{\partial t} - \frac{\partial^3 \bar{U}_{i-1}}{\partial x^3} \right) \quad (i=1, \dots, N). \end{aligned} \quad /4/$$

Опишемо, як одержують рівняння для визначення $\bar{P}_i(x,t)$. В операторі L_δ зробимо регуляризуюче перетворення $\tau = t/\varepsilon$ і розвинемо всі коефіцієнти у скінченні стрічці Тейлора в околі $t=0$. Одержані таким чином оператор позначимо через M_ε

Зрівнюючи в $M_\varepsilon \left(\sum_{l=0}^N \varepsilon^l \Pi_l(x, t) \right) = 0$ коефіцієнти при однакових степенях ε , дістамо рівняння для визначення $\Pi_l(x, t)$ ($l = 0, \dots, N$)

$$\frac{\partial \Pi_l}{\partial t} - a(x, 0) \frac{\partial^2 \Pi_l}{\partial x^2} + b(x, 0) \Pi_l = g_l(x, t), \quad /5/$$

де $g_0(x, t) \equiv 0$; $g_l(x, t)$ ($l = 1, \dots, N$) легко можна виписати явно і лінійно виразити через $\Pi_j(x, t)$ ($j < l$) та їх похідні.

Рівняння для визначення $Q_l(\xi, t)$ ($l = 0, \dots, N+1$), які служать для ліквідації нев'язки у виконанні граничних умов в околі границі $x=0$, одержуємо процедурою аналогічною наведеній вище для знаходження $\Pi_l(x, t)$ /регуляризуюче перетворення $\xi = x/\varepsilon$ /. Тоді запишемо

$$\frac{\partial^3 Q_l}{\partial \xi^3} + a(0, t) \frac{\partial^2 Q_l}{\partial \xi^2} = q_l(\xi, t). \quad (l = 0, \dots, N+1), \quad /6/$$

де $q_0(\xi, t) \equiv 0$, $q_l(\xi, t)$ ($l = 1, \dots, N+1$) легко можна зобразити у явному вигляді і лінійно виразити через $Q_j(\xi, t)$ ($j < l$) та їх похідні.

Умови, при яких слід розв'язувати рівняння /4/ - /6/, знаходимо за допомогою стандартної процедури з використанням /3/ і /2/, а також міркувань, що Π - і Q -функції повинні бути функціями типу примежового шару в околі відповідних границь області D . Тоді маємо

$$\bar{U}_0(0, t) = 0, \bar{U}_l(0, t) = -Q_{l-1}(0, t) \quad (l = 1, \dots, N); \bar{U}_l(l, t) = 0 \quad (l = 1, \dots, N), \quad /7/$$

$$\Pi_l(x, 0) = -\bar{U}_l(x, 0) \quad (l = 0, \dots, N), \Pi_l(0, t) = \Pi_l(l, t) = 0 \quad (l = 0, \dots, N), \quad /8/$$

$$\frac{\partial Q_l(0, t)}{\partial \xi} = -\frac{\partial \bar{U}_l(0, t)}{\partial x} \quad (l = 1, \dots, N), \frac{\partial Q_{N+1}(0, t)}{\partial \xi} = 0, Q_l(\xi, t) = 0 \quad \text{при } \xi \rightarrow \infty \quad /9/$$

Отже, функції $\bar{U}_l(x, t)$ є розв'язками двоточкових задач для звичайних диференціальних рівнянь [4], [7]. Функції $\bar{P}_l(x, \tau)$ визначають як розв'язки змішаних задач для параболічних рівнянь другого порядку [5], [8]. $Q_l(\xi, t)$ ($l=0, \dots, N+1$) знаходять із задач [6], [9] для звичайних диференціальних рівнянь з постійними коефіцієнтами / t є параметром/. З попереднього видно, що всі функції, які входять у [3], можна знайти рекурентно у такій послідовності: $\bar{U}_0(x, t)$, $\bar{P}_0(x, \tau)$, $Q_0(\xi, t)$, $\bar{U}_1(x, t)$ і т.д.

Однозначна розв'язність двоточкових задач [4], [7] випливає з праці [5], а змішаних для параболічних рівнянь – з праці [4]. Звідси ж безпосередньо випливає і те, що функції $\bar{P}_l(x, \tau)$ – це функції типу примежового шару. Характеристичне рівняння $\lambda^3 + Q(0, t)\lambda^2 = 0$, що відповідає диференціальному рівнянню [6], має рівно один від'ємний корінь $\lambda = -Q(0, t)$; тобто стільки ж скільки умов випадає при переході до виродженої задачі. Таким чином, виродження регулярне. Аналогічно легко показати [2], що функції $Q_l(\xi, t)$ ($l=0, \dots, N+1$) – це функції типу примежового шару.

Методом інтегралів енергії [3] одержана оцінка

$$\| R_N(x, t, \varepsilon) \|_{L_2(D)} \leq C,$$

де константа C не залежить від ε , що і доводить асимптотичну коректність розвинення [3].

Результат роботи сформулюємо у вигляді теореми.

Теорема. При виконанні умов I–3/ розв'язок задачі [1], [2] допускає асимптотичне розвинення [3], де $\bar{U}_l(x, t)$ – розв'язки задач [4], [7]; функції параболічного примежового шару визначаються [5], [8]; функції звичайного примежового шару – це розв'язки задач [6], [9].

Список літератури: І. Васильєва А.Б., Бутузов В.Ф. Асимптотические разложения решений сингулярно возмущенных задач. – М.: Наука, 1979.

щених уравнений. - М.: Наука, 1973. 2. Вишик М.И., Люс-
терник Л.А. Регулярное вырождение и пограничный слой для
линейных дифференциальных уравнений с малым параметром. - Усп.
мат. наук, 1957, 12, № 5. 3. Курант Р. Уравнения с частны-
ми производными. - М.: Мир, 1964. 4. Фридман А. Уравнения
с частными производными параболического типа. - М.: Мир, 1968.
5. Хартман Ф. Основные дифференциальные уравнения. - М.:
Мир, 1970. 6. Kattabriga L. Un problema al contorno per
una equazione parabolica di ordine dispari. - Ann.
Scuola norm. super. Pisa (sci. fis. e. mat.), 1959, 13, № 2.

Стаття надійшла в редакцію 14.12.81

УДК 517.944:947

Марія Д.Мартиненко, Михайло Д.Мартиненко

ЗАДАЧА БЕЗ ПОЧАТКОВИХ УМОВ

ДЛЯ РІВНЯННЯ ТЕПЛОПРОВІДНОСТІ ЗІ ЗМІННИМИ
КОЕФІЦІЄНТАМИ

Нехай D - область тривимірного евклідового простору E_3 ,
обмежена поверхнею Лішунова S , $\Pi = \{(x, t) : x \in D, -\infty < t \leq T\}$,
 $x = (x_1, x_2, x_3)$. В області Π шукається обмежений при
 $t > -\infty$ розв'язок рівняння

$$11 / \frac{\partial u}{\partial t} = a(t) \Delta u + b(t) u,$$

що задовільняє на S умову

$$12 / u|_S = f(x, t),$$

де $f(x, t)$ - неперервна на S функція; $a(t)$, $b(t)$ - зада-
ні неперервні функції.

Мас місце наступна теорема.

Теорема. Нехай

$$1/ a(t) \geq a_0^2 > 0, b(t) \geq b_0^2 > 0$$

$$1/ a_0, b_0 -$$

сталі, причому $a(t)$ - монотонна функція t при $-\infty < t \leq T$

та

$$\left| \int_{-\infty}^t a(t) dt \right| < +\infty, \quad \left| \int_{-\infty}^t b(t) dt \right| < +\infty;$$

2/ функція $f(x, t)$ неперервна на S та в області Π задовільняє умову

$$|f(x, t)| \leq C \exp \left\{ \int_{-\infty}^t b(t) dt + \beta'_0 \right\} \quad (C, \beta'_0 = \text{const});$$

3/ поверхня S задовільняє умову

$$C \iint_S \frac{|\cos \varphi|}{r^2} dS < 1.$$

Тоді задача без початкових умов /I/ - /2/ має єдиний розв'язок.

Доведення теореми проводять за такою схемою. Заміною

$$u(x, t) = v(x, y(t)) \exp \{ \beta(t) \},$$

де

$$\beta(t) = \int_{-\infty}^t b(t) dt + \beta_0; \quad y(t) = \int_{-\infty}^t a(t) dt, \quad \beta_0 < \beta'_0,$$

/I/ - /2/ зводять до задачі без початкових умов для стандартного рівняння тепlopровідності з постійними коефіцієнтами, для якого методами з праці [1] впливають умову розв'язності.

Відзначимо, що сформульовані в цій теоремі обмеження на коефіцієнти $a(t)$, $b(t)$ - мінімальні, вони відмінні від відомих більш громіздких умов розв'язності задач без початкових умов для загальних рівнянь параболічного типу зі змінними коефіцієнтами [2]. Крім того, третя умова теореми - досить "корстке" обмеження на S ; вона не охоплює, зокрема, задачу без початкових умов для кола, яка має єдиний розв'язок /в цьому легко переконатись безпосередніми підрахунками/.

Список літератури: І. Мартиненко Марія Д.,
 Мартиненко Михайло Д., Бойко Л.Ф. Задача без по-
 чаткових умов для рівняння тепlopровідності. - Вісн. Львів. ун-ту.
 сер. меж.-мат., 1982, вип. I9, 2. Мартиненко М.Д.,
 Бойко Л.Ф. О разрешимости задач без начальных условий для
 параболических по И.Г.Петровскому систем. - ДАН СССР, 1978,
 т.243, № 1.

Стаття надійшла в редколегію 2.03.82

УДК 519.21

І.Д.Квіт

ЗВОРОТНА ФОРМУЛА ДЛЯ ВІДБИТТЯ ВИПАДКОВОГО ВЕКТОРА

Нехай додатний випадковий вектор $\xi = (\xi_1, \dots, \xi_n)$ має
 функцію розподілу ймовірностей $F(t) = F(t_1, \dots, t_n)$. Позначимо
 Π -вимірний інтервал у першому гіпероктанті R_n^+

$$R_n^+ = \{t_k > 0; k=1, \dots, n\} \quad /1/$$

через I_n

$$I_n = \{a_k < t_k \leq b_k; k=1, \dots, n\}, 0 \leq a_k < b_k \leq \infty. \quad /2/$$

Циріст Π -вимірно неспадної функції розподілу на інтервалі I_n
 виражається формулой [1]

$$F(t_1, \dots, t_n) = \sum_{k=1}^n F(b_1, \dots, a_k, \dots, b_n) + \sum_{1 \leq j < k \leq n} F(b_1, \dots, a_j, \dots, a_k, \dots, b_n) - \dots + (-1)^n F(a_1, \dots, a_n) = \int_{I_n} dF(t) = P\{\xi \in I_n\}. \quad /3/$$

Нехай існує відбиття вектора ξ

$$\Psi(z_1, \dots, z_n) = \int_0^\infty \dots \int_0^\infty t_1^{z_1-1} \dots t_n^{z_n-1} dF(t_1, \dots, t_n), \quad /4/$$

що є аналітичною функцією принаймні в n -вимірній смузі S_n

$$S_n = \left\{ 1 - \alpha_k < \operatorname{Re} z_k < 1 + \beta_k; \alpha_k > 0, \beta_k > 0; k = 1, \dots, n \right\} \quad /5/$$

n -вимірного комплексного простору C_n , елементи якого - набори n комплексних чисел $Z = (Z_1, \dots, Z_n)$

$$C_n = \left\{ Z_k = x_k + iy_k; i = \sqrt{-1}, x_k \in R, y_k \in R; k = 1, \dots, n \right\} \quad /6/$$

Комплексозначна функція від n комплексних змінних називається аналітичною в смузі S_n , якщо вона в кожній точці смуги є аналітичною функцією по кожній змінній зокрема. Інтеграл /4/ розуміємо в сенсі Радона-Стільтъєса.

Означення. Інтервалним обмежником в R_n^+ називаємо довільну функцію, яка на інтервалі $I_n \in R_n^+$ дорівнює одиниці, а зовні нього - нулю.

Наприклад, інтервалним обмежником в R_n^+ є вираз

$$\begin{aligned} R_n^+ (a, b] &= \prod_{k=1}^n \frac{1}{2\pi i} \int_{c_k - i\infty}^{c_k + i\infty} \frac{\left(\frac{b_k}{z_k} + 0\right)^{z_k} - \left(\frac{a_k}{z_k} + 0\right)^{z_k}}{z_k} dz_k = \\ &= \prod_{k=1}^n \begin{cases} 0, 0 < t_k \leq a_k, t_k > b_k \\ 1, a_k < t_k \leq b_k \end{cases} = \prod_{k=1}^n \frac{\operatorname{sgn}\left(\frac{b_k}{z_k} + 0 - 1\right) - \operatorname{sgn}\left(\frac{a_k}{z_k} + 0 - 1\right)}{2}. \end{aligned} \quad /7/$$

$(c_k > 0; k = 1, \dots, n).$

Зворотна формула. Нехай у смузі /5/ існує відбиття /4/ до- датного випадкового вектора ξ . Тоді прирівняння функції розподілу /3/ вектора ξ на інтервалі /2/ з області /1/ виражається

формулой

$$\varphi\{\xi \in I\} = \int_{c_1 - i\infty}^{c_1 + i\infty} \dots \int_{c_n - i\infty}^{c_n + i\infty} \prod_{k=1}^n \frac{(b_k + 0)^{1-z_k} - (a_k + 0)^{1-z_k}}{2\pi i (1-z_k)} \varphi(z_1, \dots, z_n) dz_1 \dots dz_n, \quad /8/$$

де $\max(0, 1 - \alpha_K) < C_K < 1$. Інтеграл /8/ розуміємо в сенсі головного значення Коши.

Доведення. Коли врахувати /4/, то правий бік /8/ можна записати у вигляді $2n$ -кратного інтегралу

$$\lim_{T \rightarrow \infty} \int_{C_1 - iT}^{C_1 + iT} \dots \int_{C_n - iT}^{C_n + iT} \prod_{k=1}^n \frac{(b_k + 0) - (\alpha_k + 0)}{2\pi i (1 - z_k)} \int_0^\infty \dots \int_0^\infty t_1^{z_1-1} \dots t_n^{z_n-1} dF(t_1, \dots, t_n) dz_1 \dots dz_n,$$

де $T = (T_1, \dots, T_n)$. Оскільки у виразі /9/ інтегрили відносно $t = (t_1, \dots, t_n) \in R^n$ абсолютно збігаються для $z = (z_1, \dots, z_n)$ зі смуги /5/ і, зокрема, на сукупності прямих

$$L_n = \left\{ \operatorname{Re} z_k = C_k, \max(0, 1 - \alpha_k) < C_k < 1; k = 1, \dots, n \right\},$$

а стосовно $z = (z_1, \dots, z_n)$ межі інтегралів скінчені, то

змінюємо черговість інтегрування. Одержано

$$\begin{aligned} & \lim_{T \rightarrow \infty} \int_0^\infty \dots \int_0^\infty \left\{ \prod_{k=1}^n \frac{1}{2\pi i} \int_{C_k - iT_k}^{C_k + iT_k} \frac{\left(\frac{b_k}{t_k} + 0\right)^{1-z_k} - \left(\frac{\alpha_k}{t_k} + 0\right)^{1-z_k}}{1 - z_k} dz_k \right\} dF(t_1, \dots, t_n) = \\ & = \lim_{T \rightarrow \infty} \int_0^\infty \dots \int_0^\infty \left\{ \prod_{k=1}^n \frac{1}{2\pi i} \int_{(1-C_k) - iT_k}^{(1-C_k) + iT_k} \frac{\left(\frac{b_k}{t_k} + 0\right)^z - \left(\frac{\alpha_k}{t_k} + 0\right)^z}{z_k} dz_k \right\} dF(t_1, \dots, t_n), \end{aligned}$$

Границя добутку внутрішніх інтегралів останнього виразу існує

та збігається з обмежником /7/. Отже, дістаемо

$$\int_0^\infty \dots \int_0^\infty R_n(\alpha, \delta) dF(t_1, \dots, t_n) = \int_{\mathcal{I}_n} dF(t) = \mathcal{P}\{\tilde{f} \in \mathcal{I}_n\}$$

— лівий бік /8/. Зворотна формула /8/ доведена.

Безпосереднім наслідком зворотної формули /8/ є n -мірна теорема єдності. Відбиття /4/ у смузі /5/, якщо воно існує, однозначно визначає свою функцію розподілу $F(t)$, причому

$$F(t_1, \dots, t_n) = \frac{1}{(2\pi i)^n} \int_{C_1 - i\infty}^{C_1 + i\infty} \dots \int_{C_n - i\infty}^{C_n + i\infty} \prod_{k=1}^n \frac{(t_k + 0)^{1-z_k}}{1 - z_k} \varphi(z_1, \dots, z_n) dz_1 \dots dz_n,$$

$$\max(0, 1 - \alpha_k) < C_k < 1, t_k > 0; k = 1, \dots, n.$$

Для доведення співвідношення /10/ досить у зворотній формулі /8/ замість δ_K прийняти t_K і спрямувати a_K до нуля для всіх $K=1, \dots, n$.

Формальним посереднім наслідком зворотної формули /8/ є зворотна формула для густини. Якщо додатний випадковий вектор ξ абсолютно неперервний та має густину

$$f(t_1, \dots, t_n) = \frac{\partial^n F(t_1, \dots, t_n)}{\partial t_1 \dots \partial t_n}, \quad (t_1, \dots, t_n) \in R_n^+,$$

то співвідношення /4/, якщо воно існує, набуває вигляду

$$\Psi(z_1, \dots, z_n) = \int_0^\infty \dots \int_0^{z_{n-1}} t_1 \dots t_n f(t_1, \dots, t_n) dt_1 \dots dt_n, \quad (z_1, \dots, z_n) \in S_n / II/$$

і з цієї співвідношення /10/ формально дістаемо

$$f(t_1, \dots, t_n) = \frac{1}{(2\pi i)^n} \int_{c_1-i\infty}^{c_1+i\infty} \dots \int_{c_n-i\infty}^{c_n+i\infty} t_1^{-z_1} \dots t_n^{-z_n} \psi(z_1, \dots, z_n) dz_1 \dots dz_n, \quad /12/$$

Відзначимо, що при $n=1$ формулі /8/, /10/ і /12/ розглянуту у праці [2], а при $n=2$ формулі /II/ і /12/ наведено у праці [3].

Для ілюстрації двох останніх формул розглянемо приклади.

Знайти відбиття β - вектора з густиновою [4]

$$f(t_1, t_2) = \frac{\Gamma(\gamma+q+r)}{\Gamma(\gamma)\Gamma(q)\Gamma(r)} t_1^{\gamma-1} t_2^{q-1} (1-t_1-t_2)^{r-1}, \quad t_1 > 0, t_2 > 0, t_1+t_2 < 1; \\ \gamma > 0, q > 0, r > 0.$$

За формуловою /II/ записуємо

$$\Psi(z_1, z_2) = \frac{\Gamma(\gamma+q+r)}{\Gamma(\gamma)\Gamma(q)\Gamma(r)} \int_{t_2}^1 z_2^{\gamma+q+r-2} \left\{ \int_0^{1-t_2} t_1^{\gamma-2} (1-t_1-t_2)^{r-1} dt_1 \right\} dt_2.$$

Оскільки,

$$\left\{ \int_0^{1-t_2} t_1^{\gamma-2} (1-t_1-t_2)^{r-1} dt_1 \right\} = (1-t_2)^{z_1+\gamma+r-2} \frac{\Gamma(z_1+\gamma-1)\Gamma(r)}{\Gamma(z_1+\gamma+r-1)}, \quad \operatorname{Re} z_1 > 1-\gamma,$$

та

$$\int_0^{z_2+q-2} \frac{z_1^{\gamma+q-2}}{(t-t_2)^{\gamma+q-2}} dt_2 = \frac{\Gamma(z_2+q-1) \Gamma(z_1+\gamma+q-1)}{\Gamma(z_1+z_2+\gamma+q+q-2)}, \operatorname{Re} z_2 > 1-q,$$

то відомим

$$\Psi(z_1, z_2) = \frac{\Gamma(\gamma+q+r) \Gamma(z_1+\gamma-1) \Gamma(z_2+\gamma-1)}{\Gamma(\gamma) \Gamma(q) \Gamma(z_1+z_2+\gamma+q+r-2)}, \operatorname{Re} z_1 > 1-\gamma, \operatorname{Re} z_2 > 1-q.$$

Знайти густину розподілу функціїв відповідну відбиттю

$$\Psi(z_1, z_2) = \frac{\Gamma(z_1+\gamma-1) \Gamma(z_1+z_2+\gamma+q-2)}{\alpha^{z_1+z_2-2} \Gamma(\gamma) \Gamma(z_1+\gamma+q-1)}, \operatorname{Re} z_1 > 1-\gamma, \operatorname{Re} z_2 > 1-q, \alpha > 0, \gamma > 0, q > 0.$$

За формулою /12/ записуємо

$$f(t_1, t_2) = \frac{1}{2\pi i} \int_{C_1-i\infty}^{C_1+i\infty} \frac{z_1^{\gamma-1} \Gamma(z_1+\gamma-1)}{a^{z_1-1} \Gamma(\gamma)} \left\{ \frac{1}{2\pi i} \int_{C_2-i\infty}^{C_2+i\infty} \frac{z_2^{\gamma-1} \Gamma(z_1+z_2+\gamma+q-2)}{a^{z_2-1} \Gamma(z_1+\gamma+q-1)} dz_2 \right\} dz_1.$$

Тому що

$$\left\{ \right\} = \frac{a^{z_1+\gamma+q-1}}{\Gamma(z_1+\gamma+q-1)} t_2^{z_1+\gamma+q-2-qt_2} e^{-at_2}, 0 < t_2,$$

та

$$\frac{1}{2\pi i} \int_{C_1-i\infty}^{C_1+i\infty} \left(\frac{t_1}{t_2} \right)^{\gamma-1} \frac{\Gamma(z_1+\gamma-1) \Gamma(\gamma+q)}{\Gamma(\gamma) \Gamma(z_1+\gamma+q-1)} dz_1 = \frac{\Gamma(\gamma+q)}{\Gamma(\gamma) \Gamma(q)} \left(\frac{t_1}{t_2} \right)^{\gamma-1} \left(1 - \frac{t_1}{t_2} \right)^{q-1}, 0 < \frac{t_1}{t_2} < 1,$$

то густина

$$f(t_1, t_2) = \frac{a^{\gamma+q}}{\Gamma(\gamma) \Gamma(q)} t_1^{\gamma-1} (t_2 - t_1)^{q-1-qt_2} e^{-at_2}, 0 < t_1 < t_2.$$

Це густина одного з трьох двовимірних γ -розподілів [4].

Список літератури: 1. Квіт І.Д. Уточнення зворотної формул для характеристичної функції випадкового вектора. - Вісн. Львів. ун-ту, сер. мех.-мат., 1971, вип. 6. 2. Квіт І.Д. Зворотна формула для відбиття. - Вісн. Львів. ун-ту, сер. мех.-мат., 1978, вип. 13. 3. Springer M.D. *The Algebra of Random Variables*. N.Y., 1979. 4. Mardia K.V. *Families of bivariate distributions*, - L., 1970.

Стаття надійшла в редакцію 26.10.81

УДК 621.3

О.П.Гнатишин

ПОЕЛЕМЕНТНЕ РЕЗЕРВУВАННЯ

ПРИ НЕОДИКОВІЙ НАДІЙНОСТІ РЕЗЕРВУ

Нехай деяка технічна система складається з n елементів, надійність яких відповідно дорівнює $\zeta_1, \zeta_2, \dots, \zeta_n$, а вартість - C_1, C_2, \dots, C_n . Припустимо, що початкова надійність R_0 і вартість C_0 системи задаються відповідно формулами $R_0 = \prod_{i=1}^n \zeta_i$ $C_0 = \sum_{i=1}^n C_i$. Нехай збільшена від R_0 до R_1 надійність системи досягається з допомогою паралельного незавантаженого підключення до елементів системи певної кількості елементів відповідно з надійностями $\zeta'_1, \zeta'_2, \dots, \zeta'_n$. Тоді надійність зарезервованого i -го елемента при k_{i-1} резервних елементах

$$\rho_i = 1 - (1 - \zeta_i)(1 - \zeta'_i)^{k_{i-1}},$$

11

а надійність зарезервованої системи

$$R_1 = \prod_{i=1}^n \rho_i$$

121

Оскільки вартість зарезервованого i -го елемента дорівнює $k_i c_i$, то вартість зарезервованої системи

$$G = \sum_{i=1}^n k_i c_i. \quad /3/$$

Очевидно, що завжди можна однозначно вказати число a_i , $0 < a_i \leq 1$, яке задовільняє співвідношення $\rho_i = R_i^{a_i}$. Звідси та з умовою /1/ отримуємо

$$k_i = 1 + \frac{\ln \frac{1-R_i}{1-\tau_i}}{\ln (1-\tau'_i)}, \quad (i=1,2,\dots,n). \quad /4/$$

Отже, вартість зарезервованої системи

$$C_1 = \sum_{i=1}^n k_i c_i = C_0 + \sum_{i=1}^n \frac{c_i \ln \frac{1-R_i}{1-\tau_i}}{\ln (1-\tau'_i)}. \quad /5/$$

З умовою /2/ маємо

$$R_1 = \prod_{i=1}^n \rho_i = \prod_{i=1}^n R_i^{a_i} = R_1^{\sum_{i=1}^n a_i}, \quad /6/$$

тобто

$$\sum_{i=1}^n a_i = 1. \quad /7/$$

Таким чином, сталі a_1, a_2, \dots, a_n утворюють розподіл ймовірностей. Доведено з праці [2], що стаціонарне значення відношення $\frac{C_1}{R_1}$ досягається при

$$a_i = \frac{\ln (1-\tau'_i)}{\sum_{j=1}^n \frac{c_j}{\ln (1-\tau'_j)}}, \quad (i=1,2,\dots,n) \quad /8/$$

Оскільки при підстановці /8/ в /4/ значення k_i , як правило не ціле число, то доповнимо його до найближчого цілого і позначимо це фігурною дужкою $\{ \cdot \}$.

$$k_i = 1 + \left\{ \frac{\ln \frac{1-R_i}{1-\tau_i}}{\ln (1-\tau'_i)} \right\}, \quad (i=1,2,\dots,n). \quad /9/$$

Для контролю якості обчислень k_i знаходимо відразу фактичної надійності зарезервованої системи

$$R_i^* = \prod_{i=1}^n [1 - (1 - \zeta_i)(1 - \zeta'_i)]^{k_i-1}. \quad /10/$$

Значення виразу /10/ повинно бути не менше від R_i . Вартість зарезервованої системи визначаємо за формулой /3/, ле k_i обчисліні з виразу /9/.

Приклад. Нехай $\zeta_1 = 0,6; \zeta_2 = 0,7; \zeta_3 = 0,8; C_1 = 1; C_2 = 2; C_3 = 3;$
 $\zeta'_1 = 0,4; \zeta'_2 = 0,5; \zeta'_3 = 0,6$. Зарезервувати систему до надійності $R_i = 0,95$ та знайти у скільки разів зарезервована система дорожча від початкової.

Тут система складається з трьох елементів ($n=3$) ; початкова надійність системи $R_0 = 0,6 \cdot 0,7 \cdot 0,8 = 0,336$, а початкова вартість $C_0 = 1 + 2 + 3 = 6$. За формулою /8/ визначаємо компоненти стохастичного вектора: $a_1 = 0,2411722; a_2 = 0,354714;$
 $a_3 = 0,4033563$. У межах точності сума $a_1 + a_2 + a_3$ дорівнює одинці. З виразу /9/ обчислюємо числа резервних елементів

$$k_1 = 1 + \{6,817095\} = 8; k_2 = 1 + \{4,053473\} = 6; k_3 = 1 + \{2,437250\} = 4. \text{ За формулою /10/ отримуємо фактичну надійність зарезервованої системи: } R_i^* = (1-0,4 \cdot 0,6^7)(1-0,3 \cdot 0,5^5)(1-0,2 \cdot 0,4^3) = 0,9888026 \cdot 0,990625 \cdot 0,9872 = 0,9669945 > 0,95 = R_i.$$

Використовуючи /3/, знаходимо вартість зарезервованої системи $C_1 = 8 \cdot 1 + 6 \cdot 2 + 4 \cdot 3 = 32$. Зарезервована до надійності 0,9669945 система дорожча від початкової в $\frac{C_1}{C_0} = \frac{32}{6} = 5\frac{1}{3}$ разів.

Список літератури: І. Барлоу Р., Прошан Ф. Математическая теория надежности. - М.: Сов. Радіо, 1969. 2. Оптимальные задачи надежности / Под ред. И.А.Ушакова. - М., 1968.

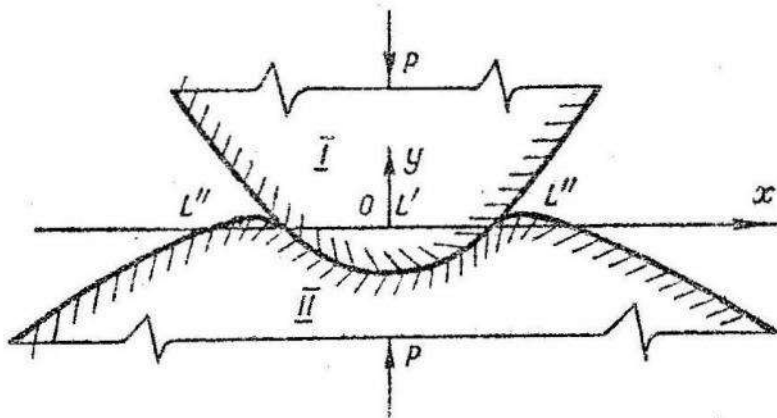
Стаття надійшла в редакцію 28.12.82

Д.В.Гриліцький

СИСТЕМА СИНГУЛЯРНИХ ІНТЕГРАЛЬНИХ РІВНЯНЬ
ДЛЯ ПЛОСКОЇ КОНТАКТНОЇ ЗАДАЧІ ТЕМПОРУЖНОСТІ
ПРИ СТАЦІОНАРНОМУ ТЕПЛОВИДІЛЕННІ НА ДІЛЯНЦІ КОНТАКТУ

Плоска контактна задача термопружності про стиснення двох пружних ізотропних тіл при стаціонарному тепловиділенні на ділянці контакту вперше була розглянута М.В.Коровчинським [2]. Він вважав, що між співдотичними тілами наявний ідеальний тепловий контакт, а зовні ділянки контакту поверхні тіл теплоізольовані. Останнє допущення значно спрощує задачу в математичному відношенні, але приводить до нереального розподілу температури вздовж відрізу контакту.

Ми, розглядаючи цю задачу, вважатимемо, що на ділянці контакту існує неідеальний тепловий контакт тіл, а поза ділянкою контакту між тілами і зовнішнім середовищем здійснюється теплообмін за законом Ньютона. Температуру зовнішнього середовища, не зменшуячи загальності задачі, приймемо рівною нулю. Поставимо задачу та виведемо для неї систему сингулярних інтегральних рівнянь.



Розглянемо задачу про стиснення силами P /див. рисунок/ двох пружних ізотропних тіл в умовах плоского деформованого стану. Припустимо, що тіла в області контакту обмежені гладкими поверхнями.

ми, рівняння яких $y_1 = f_1(x)$ і $y_2 = -f_2(x)$, і одне тіло ковзає по поверхні другого з малою сталою швидкості V .

За рахунок сил тертя на ділянці контакту відбувається теплоутворення, яке приводить до появи теплових потоків, що йдуть у кожне з співдотичних тіл, які в свою чергу викликають температурні напруження у тілах і перерозподіл контактних напружень.

Припустимо, що поза ділянкою контакту поверхні тіл вільні від зовнішніх напружень, а на ділянці контакту тангенціальні напруження зв'язані з нормальними за законом Кулона.

При зроблених допущеннях необхідно визначити ширину смуги контакту тіл, значення та характер розподілу нормальніх напружень і температур відрізка контакту.

Оскільки ми розглядаємо стаціонарну задачу тепlopровідності та відсутність джерел тепла у тілах, то температура кожного зі співдотичних тіл задовільняє у своїй області рівняння Лапласа.

Введемо такі позначення: L' – відрізок контакту; L'' – границя тіл поза відрізком контакту, $L = L' + L''$.

Границі умови задачі:

а/ механічні

$$G_y^{(1)}(x) = \phi_y^{(1)}(x) = \tau_{xy}^{(1)}(x) = \tau_{xy}^{(2)}(x) = 0 \quad \text{на } L'', \quad /1/$$

$$\left(\frac{\partial V_1}{\partial x} + \frac{\partial V_2}{\partial x} \right)_{y=0} = -f'_1(x) - f'_2(x) = -f'(x) \quad \text{на } L', \quad /2/$$

$$\tau_{xy}^{(1)}(x) = \tau_{xy}^{(2)}(x) = f \phi_y(x) \quad \text{на } L'; \quad /3/$$

б/ температурні

$$\frac{\partial T_1}{\partial y} + h(T_2 - T_1) = 0 \quad \text{або} \quad \frac{\partial T_2}{\partial y} + h(T_1 - T_2) = 0 \quad \text{на } L', \quad /4/$$

$$\lambda_1 \frac{\partial T_1}{\partial y} - \lambda_2 \frac{\partial T_2}{\partial y} = \frac{V}{J} \tau_{xy}(x) \quad \text{на } L', \quad /5/$$

$$\frac{\partial T_1}{\partial y} - K_1 T_1 = 0, \quad \frac{\partial T_2}{\partial y} + K_2 T_2 = 0 \quad \text{на } L''. \quad /6/$$

Введемі такі позначення: V_1, V_2 - нормальні компоненти векторів пружного переміщення; f - коефіцієнт тертя, h, K_1, K_2 коефіцієнти теплообміну; λ_1, λ_2 - коефіцієнти теплопровідності; $J = 42700 \frac{\text{кгсм}}{\text{еккал}}$ - механічний еквівалент тепла. Інші величини загальноприйняті.

Одним зі співвідношень /4/ виражена умова неідеальності тепло-вого контакту тіл. Із формулі /5/ випливає, що в кожній точці відрізка контакту сума інтенсивностей теплових потоків дорівнює інтенсивності теплоутворення за рахунок сил тертя.

Крім того, мають виконуватися ще умови

$$\int G_y(t) dt = -P; \int \frac{\partial T_1}{\partial y} dt = \int \frac{\partial T_2}{\partial y} dt = 0 \quad /6/$$

і температура на границі кожного з тіл повинна бути неперервною функцією.

Вважаючи, що радіуси кривини кожного з тіл великі порівняно з довжиною відрізка контакту, тому при визначенні переміщень і температур у тілах останні будемо замінити півплощинами.

Введемо функції розподілу температур

$$F_j(z) = T_j(x, y) + iS_j(x, y) \quad (j=1,2). \quad /7/$$

Дійсна та уявна частини функції $F_j(z)$ зв'язані відомими залежностями

$$\frac{\partial T_j}{\partial x} = \frac{\partial S_j}{\partial y}, \quad \frac{\partial T_j}{\partial y} = -\frac{\partial S_j}{\partial x}. \quad /8/$$

Напружения, нормальні переміщення і функція $S_j(x)$ на границі півплощин, з урахуванням умов /1/, задовольняють співвідношення [1]

$$\left(\frac{\partial V_j}{\partial x} \right)_{y=0} = \pm \frac{x_j - 1}{4\pi\mu_j} T_{xy}(x) - \frac{x_j + 1}{4\pi\mu_j} \int \frac{G_y dt}{t - x} + j! S_j(x) \quad /9/$$

$$(j=1,2).$$

Тут і далі верхній знак береться при $j=1$, нижній - при $j=2$

$$\gamma_j = \frac{\alpha_T^{(j)} E_j(x_j+1)}{4(1-\beta_j) \mu_j} \quad /III/$$

Підставляючи /10/ в умову /2/, враховуючи при цьому /3/, одержуємо

$$d \int_{L'}^t \frac{\phi_y dt}{t-x} + \beta \phi_y(x) + \gamma_1 S_1(x) + \gamma_2 S_2(x) = -f'(x), \quad x \in L' \quad /I2/$$

де

$$\alpha = \frac{1}{4\pi} \left(\frac{x_1+1}{\mu_1} + \frac{x_2+1}{\mu_2} \right); \quad \beta = \frac{1}{4} \left(\frac{x_1-1}{\mu_1} - \frac{x_2-1}{\mu_2} \right) f; \quad /I3/$$

$S_j(x)$ - невідомі функції.

Розв'язуючи першу та другу граничні задачі теплопровідності для верхньої і нижньої півплощин та враховуючи /9/, знаходимо формулі на відрізку L' дійсної осі

$$S_j(x) = \mp \frac{1}{\pi} \int_{L'}^t \frac{T_j dt}{t-x} \mp \frac{1}{\pi} \int_{L''}^t \frac{T_j dt}{t-x}, \quad x \in L',$$

$$\frac{\partial T_j}{\partial x} = \mp \frac{1}{\pi} \int_{L'}^t \frac{\frac{\partial T_j}{\partial y} dt}{t-x} \mp \frac{1}{\pi} \int_{L''}^t \frac{\frac{\partial T_j}{\partial y} dt}{t-x} \quad (j=1,2), \quad x \in L'. \quad /I4/$$

Задовільняючи умови /6/ за допомогою формул /I4/, маємо ще два інтегральні співвідношення

$$K_j S_j(x) - \frac{1}{\pi} \int_{L'}^t \frac{\frac{\partial T_j}{\partial y} dt}{t-x} = \pm T_j'(x) \mp \frac{K_j}{\pi} \int_{L'}^t \frac{T_j dt}{t-x} \quad (j=1,2), \quad /I5/$$

$$x \in L',$$

які можна записати, використовуючи /9/, у вигляді

$$K_j S_j(x) + \frac{1}{\pi} \int_{L'}^L \frac{S_j'(t) dt}{t-x} = \pm T_j'(x) \mp \frac{K_j}{\pi} \int_{L'}^L \frac{T_j(t) dt}{t-x} \quad (j=1,2), \quad /16/$$

Кожне зі співвідношень /15/ або /16/ зв'язує на L' функцію $S_j(x)$ з відповідною температурою $T_j(x)$.

Користуючись формулами /15/, задовільнимо умову /5/. В результаті одержимо залежність між $S_j(x)$, $T_j(x)$ ($j=1,2$) і $G_j(x)$ на L'

$$\begin{aligned} & \lambda_1 K_1 S_1(x) - \lambda_2 K_2 S_2(x) - \frac{V \cdot f}{\pi \cdot J} \int_{L'}^L \frac{G_j(t) dt}{t-x} = \\ & = \lambda_1 T_1'(x) + \lambda_2 T_2'(x) - \frac{\lambda_1 K_1}{\pi} \int_{L'}^L \frac{T_1(t) dt}{t-x} - \frac{\lambda_2 K_2}{\pi} \int_{L'}^L \frac{T_2(t) dt}{t-x}, \\ & \quad x \in L'. \end{aligned} \quad /17/$$

Задовільняючи, врешті, одну з двох умов /4/ за допомогою відповідної формули /15/, знаходимо одне з двох співвідношень

$$K_j S_j(x) + \frac{h}{\pi} \int_{L'}^L \frac{(T_2 - T_1) dt}{t-x} = T_j'(x) - \frac{K_j}{\pi} \int_{L'}^L \frac{T_j(t) dt}{t-x}, \quad /18/$$

або

$$K_2 S_2(x) + \frac{h}{\pi} \int_{L'}^L \frac{(T_2 - T_1) dt}{t-x} = -T_2'(x) + \frac{K_2}{\pi} \int_{L'}^L \frac{T_2(t) dt}{t-x}, \quad /19/$$

Отже, для визначення п'яти характеристик на L' $G_j(x)$, $S_j(x)$ і $T_j(x)$ ($j=1,2$) маємо стільки ж сингулярних інтегральних рівнянь: /12/, два співвідношення /16/, /17/ і рівняння /18/ або /19/ залежно від того, якою умовою неідеального теплового контакту користуватися.

Зауважимо, що умови /4/ з врахуванням /9/ можна записати у вигляді

$$S_1'(x) - h(T_2 - T_1) = 0 \quad \text{або} \quad S_2'(x) - h(T_2 - T_1) = 0 \quad \text{на } L/20/$$

Рівняння /18/ або /19/ можна замінити відповідною умовою /20/.

Для побудови наближеного розв'язку одержаної системи сингулярних інтегральних та інтегро-диференціальних рівнянь в успіхом можна застосувати метод ортогональних поліномів.

Для визначення ширини смуги контакту необхідно використати першу умову /7/ і умову обмеженості контактних напружень всюди на відрізку контакту, включаючи кінці.

Список літератури: 1. Гриліцький Д.В., Попович Б.І. Плоскі контактні задачі термопружності. - Львів: Вища школа, 1973. 2. Коровчинський М.В. Плоская контактная задача термоупругости при стационарном тепловыделении на поверхностях соприкасания. - В кн.: Контактная прочность машиностроительных материалов. М.: Наука, 1964.

Стаття надійшла в редколегію 5.12.81

УДК 539.3

Д.В.Гриліцький, Б.С.Окрепкій

ОСЕСИМЕТРИЧНА ЗАДАЧА ПРО ТИСК ШТАМПА

НА ІЗОТОПНИЙ ШАР, ЯКИЙ ЛЕЖИТЬ

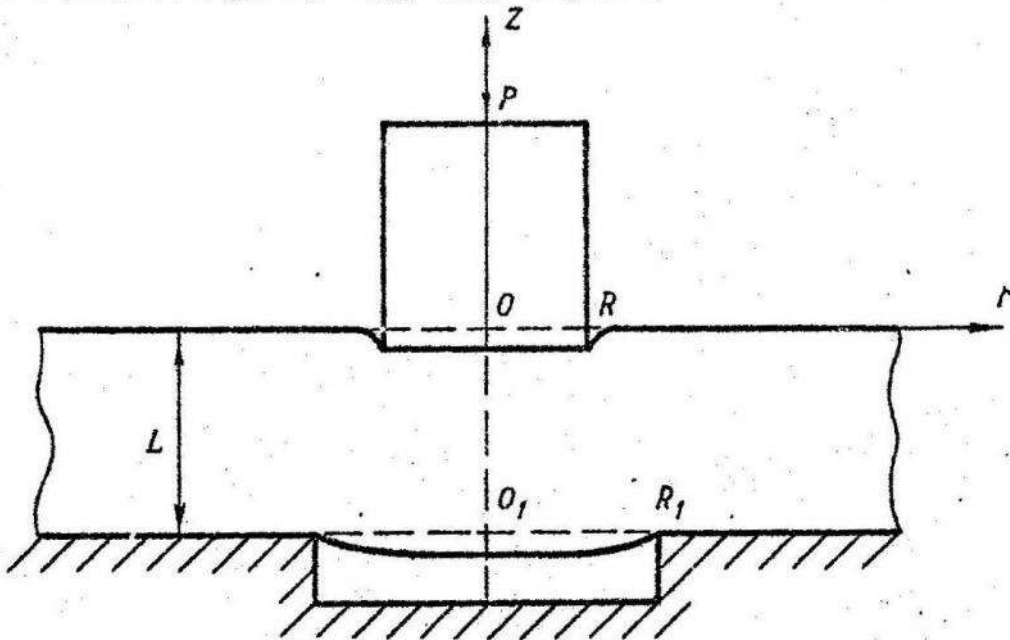
НА ЖОРСКІЙ ОСНОВІ З ВИРІЗОМ

Розглянемо бежемений плоскопаралельний шар скінченої товщини L , який лежить на жорсткій гладкій основі з вирізом циліндричної форми.

Нехай у шар силовою P втискується жорсткий круговий циліндричний штамп з плоскою гладкою основою радіусом R . Лінія дії сили P збігається з осі симетрії штампа та вирізу основи /рис. I/.

Припускаємо, що поверхні шару зовні штампа та над вирізом вільні від зовнішніх зусиль. Визначимо напруження під штампом і переміщення нижньої границі шару над вирізом.

Рис. I.



Для розв'язування задачі введемо циліндричну систему координат r, θ, z з площиной $z=0$, яка збігається з верхньою поверхнею шару та віссю OZ , напрямленою всередину штампа по його осі симетрії.

Поставлену задачу досліджуватимемо при таких граничних умовах:

$$U_z = -\varepsilon \quad (z=0, 0 \leq r < R), \quad /1/$$

$$T_{rz} = 0 \quad (z=0, 0 \leq r < \infty), \quad /2/$$

$$G_z = 0 \quad (z=0, R < r < \infty), \quad /3/$$

$$G_z = 0 \quad (z=-L, 0 \leq r < R), \quad /4/$$

$$T_{rz} = 0 \quad (z=-L, 0 \leq r < \infty), \quad /5/$$

$$U_z = 0 \quad (z=-L, R < r < \infty), \quad /6/$$

R — радіус основи кругового циліндричного вирізу; ε — переміщення штампа.

При розв'язуванні задачі скористаємося загальними спiввiдношеннями [1] для знаходження перемiщень i напружень в iзотропному шарi:

$$\begin{aligned} U_z &= - \int_0^\infty \eta^{\frac{1}{2}} \left\{ \left[\frac{1}{B, R} \eta F_1(\eta) + \left(2 + \frac{1}{B, R} \eta^3 \right) F_2(\eta) \right] e^{-\eta^5} + \right. \\ &\quad \left. + \left[\frac{1}{B, R} \eta F_3(\eta) + \left(-2 + \frac{1}{B, R} \eta^3 \right) F_4(\eta) \right] e^{-\eta^5} \right\} J_0(\eta \rho) d\eta, \\ G_z &= \frac{2B_3}{R} \int_0^\infty \left\{ \left[\frac{\eta}{R} F_1(\eta) + (\beta_1 + \eta^3) F_2(\eta) \right] e^{-\eta^5} + \right. \\ &\quad \left. + \left[-\frac{\eta}{R} F_3(\eta) + (\beta_2 - \eta^3) F_4(\eta) \right] e^{-\eta^5} \right\} J_0(\eta \rho) d\eta, \\ T_{rz} &= \frac{2B_3}{R} \int_0^\infty \left\{ \left[\frac{\eta}{R} F_1(\eta) + (-\beta_2 + \eta^3) F_2(\eta) \right] e^{-\eta^5} + \right. \\ &\quad \left. + \left[\frac{\eta}{R} F_3(\eta) + \beta_2 + \eta^3 \right] F_4(\eta) \right\} J_0(\eta \rho) d\eta, \end{aligned}$$

де G_z , T_{rz} , U_z – компоненти напружень i перемiщень в пружному шарi; $F_i(\eta)$ ($i=1,4$) – невiдомi функцiї;

$$\rho = \frac{\eta}{R}, \quad \beta_1 = \frac{\mu}{\lambda + \mu}, \quad \beta_2 = \frac{\lambda}{\lambda + \mu}, \quad \beta_3 = \lambda + \mu;$$

λ, μ – коефiцiєнти Ляме.

Задовiльнивши граничнi умови /21, 15/ i ввiвши позначення

$$\eta F_1(\eta) = \frac{1}{R} F_1(\eta) + \beta_1 F_2(\eta) - \frac{1}{R} F_3(\eta) + \beta_2 F_4(\eta),$$

$$\begin{aligned} \eta F_2(\eta) &= -\frac{1}{B, R} \eta^{\frac{1}{2}} e^{\eta^5} F_1(\eta) - \left(2 - \frac{1}{B, R} \eta^3 \right) e^{\eta^5} F_2(\eta) - \\ &\quad - \frac{1}{B, R} \eta^{\frac{1}{2}} e^{\eta^5} F_3(\eta) + \left(2 + \frac{1}{B, R} \eta^3 \right) e^{\eta^5} F_4(\eta). \end{aligned}$$

Для напружень $G_z(\rho, \xi)$ i перемiщень $U_z(\rho, \xi)$ на верхнiй i нижнiй граничних площинах шару одержаємо формули

$$u_z(\rho, 0) = \frac{1+\beta_1}{\beta_1} R \int_0^\infty [1 - G(2\eta\ell)] \Phi_1(\eta) J_0(\eta\rho) d\eta +$$

$$+ R \int_0^\infty \frac{P_1(\eta)}{Q_1(\eta)} \Phi_2(\eta) J_0(\eta\rho) d\eta,$$

$$\zeta_z(\rho, 0) = 2\beta_3 \int_0^\infty \eta \Phi_1(\eta) J_0(\eta\rho) d\eta,$$

$$u_z(\rho, -\ell) = R \int_0^\infty \Phi_2(\eta) J_0(\eta\rho) d\eta,$$

$$\zeta_z(\rho, -\ell) = 2\beta_3 \left[\int_0^\infty \eta \frac{P_1(\eta)}{Q_1(\eta)} \Phi_1(\eta) J_0(\eta\rho) d\eta - \right.$$

$$\left. - \frac{\beta_1}{1+\beta_1} \int_0^\infty \eta \frac{R_1(\eta)}{Q_1(\eta)} \Phi_2(\eta) J_0(\eta\rho) d\eta \right],$$

$$\text{ge } \ell = \frac{L}{R}; \quad P_1(\eta) = 2 (\operatorname{sh} \eta\ell + \eta\ell \operatorname{ch} \eta\ell);$$

$$R_1(\eta) = 2 (\operatorname{sh}^2 \eta\ell - \eta^2 \ell^2);$$

$$Q_1(\eta) = \operatorname{sh} 2\eta\ell + 2\eta\ell; \quad G(2\eta\ell) = \frac{1+2\eta\ell-\ell^{2\eta\ell}}{\operatorname{sh} 2\eta\ell+2\eta\ell}$$

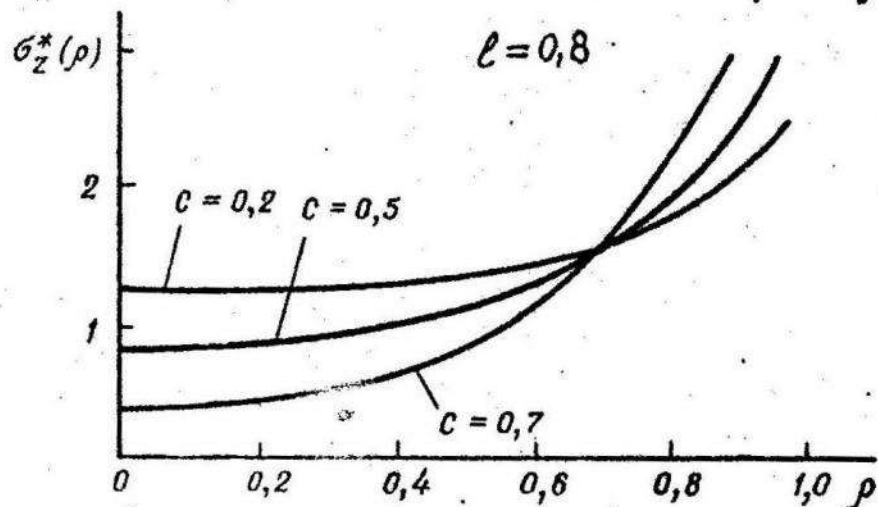


FIG. 2.

Вимагаючи виконання граничних умов /I/, /3/, /4/ і /6/,
приходимо до системи інтегральних рівнянь відносно функцій $\Phi_1(\eta)$
і $\Phi_2(\eta)$

$$\frac{1+\beta_1}{\beta_1} \int_0^\infty \Phi_1(\eta) J_0(\eta\rho) d\eta = -\frac{\varepsilon}{R} + \frac{1+\beta_1}{\beta_1} \int_0^\infty G(2\eta\ell) \Phi_1(\eta) J_0(\eta\rho) d\eta - \\ - \int_0^\infty \frac{P_1(\eta)}{Q_1(\eta)} \Phi_2(\eta) J_0(\eta\rho) d\eta \quad (\rho < 1), \quad /9/$$

$$\int_0^\infty \eta \Phi_1(\eta) J_0(\eta\rho) d\eta = 0 \quad (\rho > 1), \quad /10/$$

$$\frac{1+\beta_1}{\beta_1} \int_0^\infty \eta \cdot \frac{P_1(\eta)}{Q_1(\eta)} \Phi_1(\eta) J_0(\eta\rho) d\eta - \\ - \int_0^\infty \eta \frac{R_1(\eta)}{Q_1(\eta)} \Phi_2(\eta) J_0(\eta\rho) d\eta = 0 \quad (\rho < c), \quad /11/$$

$$\int_0^\infty \Phi_2(\eta) J_0(2\rho) d\eta = 0 \quad (\rho > c), \quad /12/$$

де $c = R_1/R$.

Якщо ввести функцію $f(t)$ за формулой

$$\dot{\Phi}_1(\eta) = \frac{\beta_1}{1+\beta_1} \int_0^1 f(t) \cos \eta t dt, \quad /13/$$

то рівняння /10/ задовільняється тотожно, а рівняння /9/ зводиться до інтегрального рівняння Абеля

$$\int_0^{\rho} \frac{f(t)}{\sqrt{\rho^2 - t^2}} dt = g(\rho),$$

/14/

розв'язок якого дається формулою [4]

$$f(t) = \frac{2}{\pi} \frac{d}{dt} \int_0^t \frac{\rho g(\rho)}{\sqrt{t^2 - \rho^2}} d\rho,$$

/15/

де

$$g(\rho) = -\frac{\varepsilon}{R} + \frac{1+b_1}{b_1} \int_0^\infty G(2\eta l) \Phi_1(\eta) J_0(\eta\rho) d\eta -$$

$$-\int_0^\infty \frac{P_1(\eta)}{Q_1(\eta)} \Phi_2(\eta) J_0(\eta\rho) d\eta.$$

/16/

Підставивши співвідношення /16/ в формулу /15/ і враховуючи при цьому /13/, одержуємо інтегральне рівняння Фредгольма другого роду відносно функції $f(t)$

$$f(t) = -\frac{2\varepsilon}{\pi R} + \frac{2}{\pi} \int_0^t f(x) dx \int_0^\infty G(2\eta l) \cos \eta x \cos \eta t d\eta -$$

$$-\frac{2}{\pi} \int_0^\infty \frac{P_1(\eta)}{Q_1(\eta)} \Phi_2(\eta) \cos \eta t d\eta \quad (0 \leq t < 1).$$

/17/

Контактні напруження під штампом $\sigma_z(\rho, 0)$ з врахуванням /13/ визначаємо за формулою

$$\sigma_z(\rho, 0) = \chi_0 \left[\frac{f(1)}{\sqrt{1-\rho^2}} - \int_{\rho}^1 \frac{f'(t) dt}{\sqrt{t^2 - \rho^2}} \right] \quad (\rho < 1),$$

/18/

де

$$\chi_0 = \frac{2b_1 b_2}{1+b_1}.$$

Використавши умову рівноваги штампа $P = -2\pi R^2 \int_0^{\rho} \rho G_z(\rho) d\rho$

і вираз /18/, рівняння /17/ набуде вигляду

$$\begin{aligned} \psi(t) - \frac{2}{\pi} \int_0^t \psi(x) dx \int_0^{\infty} G(2\eta t) \cos \eta x (\cos \eta t - \frac{\sin \eta}{\eta}) d\eta + \\ + \frac{2}{\pi} \int_0^{\infty} \frac{P_1(\eta)}{Q_1(\eta)} \Phi(\eta) (\cos \eta t - \frac{\sin \eta}{\eta}) d\eta = 1 \quad (0 \leq t < 1), \end{aligned} \quad /19/$$

де

$$f(t) = -\frac{\rho}{2\pi R^2 \chi_0} \psi(t); \quad \Phi(\eta) = -\frac{\rho}{2\pi R^2 \chi_0} \Phi(\eta); \quad /20/$$

$\Phi(\eta), \psi(t)$ – невідомі функції.

Підставивши співвідношення /20/ в рівняння /11/ і /12/ та використовуючи при цьому /13/, приходимо до такої системи інтегральних рівнянь:

$$\begin{aligned} \int_0^t \psi(x) dx \int_0^{\infty} \eta \frac{P_1(\eta)}{Q_1(\eta)} J_0(2\eta\rho) \cos \eta x d\eta - \\ - \int_0^{\infty} \eta \frac{P_1(\eta)}{Q_1(\eta)} \Phi(\eta) J_0(2\eta\rho) d\eta = 0 \quad (\rho < c), \end{aligned} \quad /21/$$

$$\int_0^{\infty} \Phi(\eta) J_0(\eta\rho) d\eta = 0 \quad (\rho > c). \quad /22/$$

Таким чином, для визначення двох функцій $\psi(t)$ і $\Phi(\eta)$ маємо інтегральне рівняння /19/ і парні інтегральні рівняння /21/ – /22/. Для визначення функції $\Phi(\eta)$ продовжимо рівняння /22/ на інтервал $(0 \leq \rho < \infty)$

$$\int_0^{\infty} \Phi(\eta) J_0(\eta\rho) d\eta = U(c-\rho) X(\rho) \quad (0 \leq \rho < \infty). \quad /23/$$

тут $U(x)$ - функція Хевісайда; $X(\rho)$ - невідома функція, яку шукаємо з допомогою формули

$$X(\rho) = \sum_{K=1}^N a_K J_0 \left(\frac{\lambda_K}{C} \rho \right), \quad /24/$$

де $J_0(x)$ - функція Бесселя від дійсного аргумента; $a_K (K=1, N)$ - невідомі коефіцієнти, що підлягають визначенню; $\lambda_K (K=1, \infty)$ - додатні корені рівняння $J_0(\lambda_K) = 0$.

Застосувавши до обох частин рівняння /23/ формулу обернення інтегрального перетворення Ханкеля [3], знаходимо функцію

$$\Phi(\eta) = - \sum_{K=1}^N \lambda_K J_1(\lambda_K) a_K \frac{\eta J_0(\eta c)}{\eta^2 - \frac{\lambda_K^2}{C^2}}. \quad /25/$$

Переміщення нижньої границі шару $U_z(\rho, -\ell)$ /8/ з врахуванням /20/ і /25/ визначаємо за формулой

$$U_z(\rho, -\ell) = - \frac{\rho}{2\pi R^2 \chi_0} \sum_{K=1}^N a_K J_0 \left(\frac{\lambda_K}{C} \rho \right). \quad /26/$$

Підставивши $\Phi(\eta)$ із /25/ в інтегральні рівняння /19/ і /21/, дістаемо співвідношення, які зв'язують функцію $\psi(t)$ і коефіцієнти $a_K (K=1, N)$

$$\begin{aligned} \psi(t) &= -\frac{2}{\pi} \int_0^1 \psi(x) dx \int_0^\infty G(2\eta t) \cos \eta x (\cos \eta t - \frac{\sin \eta}{\eta}) d\eta - \\ &- \frac{2}{\pi} \sum_{K=1}^N \lambda_K J_1(\lambda_K) a_K (t) a_K = 1 \quad (0 \leq t < 1), \end{aligned} \quad /27/$$

$$\int_0^1 \psi(x) \beta(x, \rho) dx + \sum_{K=1}^N a_K \lambda_K J_1(\lambda_K) \beta(\rho) = 0 \quad (\rho < c). \quad /28/$$

тут $\alpha_k(t)$, $\beta(x, \rho)$, $\beta_k(\rho)$ ($k = 1, N$) – відомі функції.

Помноживши обидві частини рівняння /28/ на $\rho J_0(\lambda_n \rho)$ і проінтегрувавши по ρ в межах від 0 до 1, та використовуючи при цьому умову ортогональності функцій Бесселя, знаходимо

$$\int_0^1 \psi(x) \beta_{0,n}(x) dx + \sum_{k=1}^N \lambda_k J_0(\lambda_k) \beta_{k,n} \alpha_k = 0 \quad (n = 1, N). \quad /29/$$

Функція $\beta_{0,n}(x)$ і коефіцієнти $\beta_{k,n}$ ($k, n = 1, N$) – відомі.

Застосувавши метод скінчених сум [2] для розв'язування системи інтегральних рівнянь /27/ і /29/, прийдемо до системи лінійних алгебраїчних рівнянь відносно невідомих $\psi(t_i)$ ($i = 1, N+1$) і α_k ($k = 1, N$)

$$\begin{aligned} \psi(t_i) - \frac{2}{\pi} \sum_{k=1}^N A_k g_k(t_k, t_i) \psi(t_k) - \\ - \frac{2}{\pi} \sum_{k=1}^N \alpha_k \lambda_k J_0(\lambda_k) \alpha_k(t_i) = 1 \quad (i = 1, N+1), \\ \sum_{k=1}^N A_k \beta_{0,n}(t_k) \psi(t_k) + \sum_{k=1}^N \alpha_k \lambda_k J_0(\lambda_k) \beta_{k,n} = 0 \quad (n = 1, N), \end{aligned} \quad /30/$$

де

$$g_k(t_k, t_i) = \int_0^\infty G(2\eta k) \cos \eta t_k (\cos \eta t_i - \frac{\sin \eta}{\eta}) d\eta;$$

$$t_i = (i-1)/N \quad (i = 1, N+1); \quad A_i = A_{N+1} = \frac{1}{2N};$$

$$A_k = \frac{1}{N} \quad (k = 1, N)$$

числові коефіцієнти для квадратурної формули трапецій. Число N підбирається таким, щоб забезпечити необхідну точність розв'язку.

Визначили невідомі $\psi(t_k)$ із системи лінійних алгебраїчних рівнянь /30/, для функції $\psi(x)$ побудуємо апроксимуючий

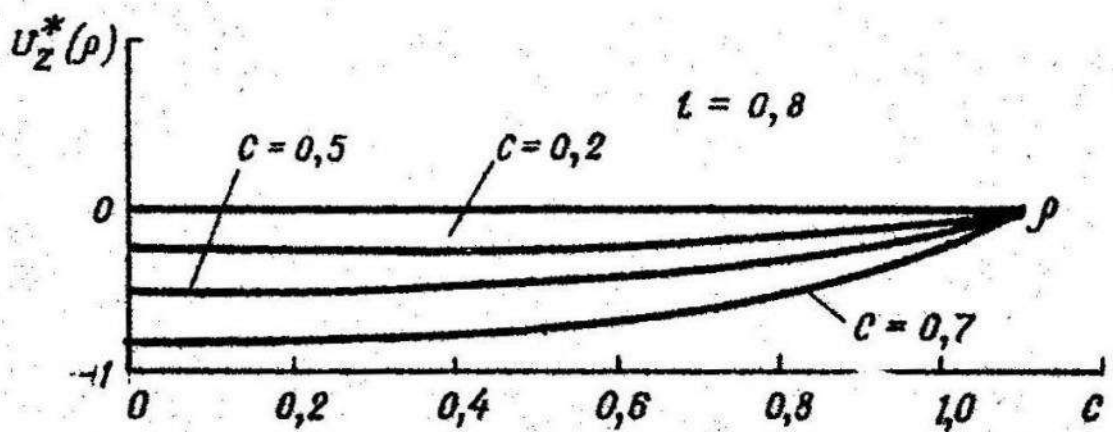


Рис. 3.

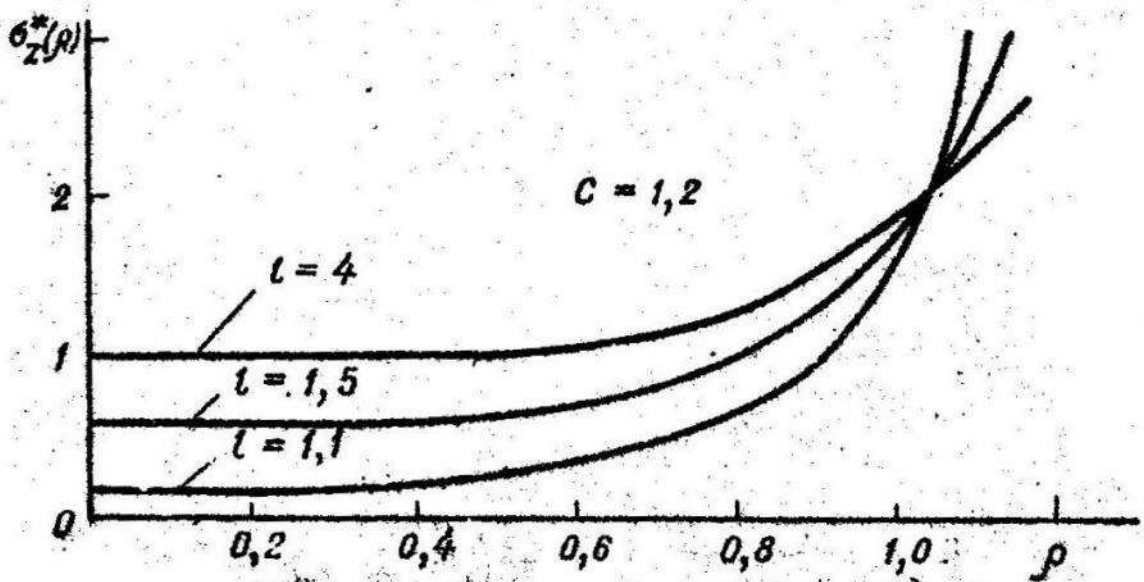


Рис. 4.

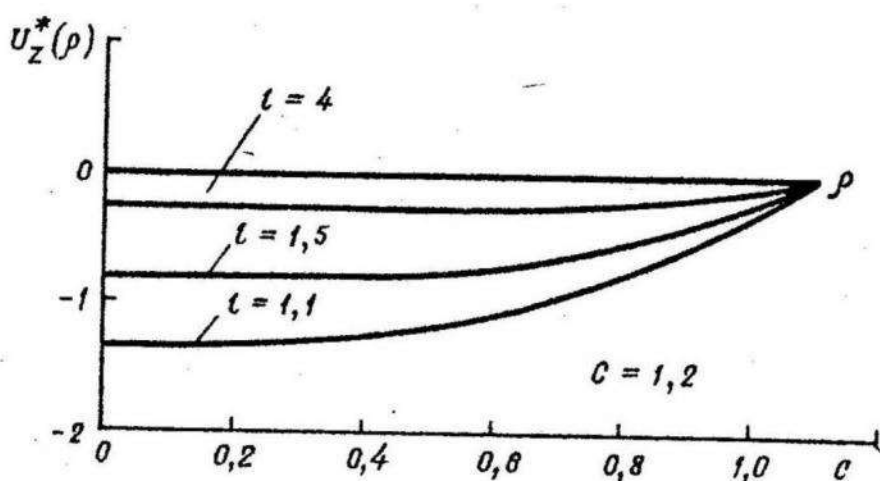


Рис. 5.

многочлен [2]

$$Q_{2m}(x) = \sum_{k=0}^m C_k x^{2k}$$

/31/

який використовується для знаходження пружно-деформованого стану шару.

Наприклад, для визначення контактних напружень під штампом з врахуванням формул /18/, /20/ і /31/ одержуємо

$$\begin{aligned} G_z(\rho, 0) = & -\frac{\rho}{2\pi R^2} \frac{1}{\sqrt{1-\rho^2}} \left[\sum_{k=0}^m C_k - \right. \\ & \left. - 2\sqrt{1-\rho^2} \sum_{k=1}^m k C_k \sum_{i=0}^{k-1} \binom{k-1}{i} (1-\rho^2)^{2k-2i-2} \right] (\rho < 1). \end{aligned}$$

/32/

Наведемо результати числового аналізу контактних напружень під штампом і переміщень нижньої границі шару залежно від параметрів $C = R/L$, $\ell = L/R$.

На ЕОМ ЕС-1022 розв'язували системи лінійних алгебраїчних рівнянь /30/ 41-го порядку відносно невідомих $\psi(t_i)$ і a_k ($i = 1, 2, \dots, 10$; $k = 1, 2, \dots, 20$).

Для функції $\psi(x)$ достатньо побудувати апроксимуючий многочлен

$$Q_{10}(x) = \sum_{k=0}^5 C_k x^{2k}$$

/33/

який використовується для визначення напружень під штампом згідно з формулою /32/.

Графіки величин $\mathcal{G}_z(\rho, 0) = -\frac{\rho}{2\pi R^2} \mathcal{G}_z^*(\rho)$,
 $U_z(\rho, \ell) = -\frac{\rho}{2\pi R^2 \chi_0} U_z^*(\rho)$ для значень $\ell = 0,8$;
 $C = 0,2; 0,5; 0,7$ показані на рис. 2, 3, а для значень
 $C = 1, 2; \ell = 1,1; 1,5; 4$ - на рис. 4, 5.

Дослідження показують, що зі зменшенням товщини шару при фіксованому радіусі вирізу основи та зі збільшенням радіуса вирізу основи при фіксованій товщині шару контактні напруження під штампом спадають, а переміщення нижньої границі шару над вирізом зростають.

Список літератури: 1. Грилицкий Д.В., Кизима Я.М. Осесимметричные контактные задачи теории упругости и термоупругости. - Львов: Выща школа. Изд-во при Львов. ун-те, 1981. 2. Демидович Б.П., Марон И.А., Шувалова Э.З. Численные методы анализа. - М.: Физматгиз, 1967. 3. Снедdon И.Н. Преобразования Фурье. - М.: ИЛ, 1955. 4. Уиттекер Э.Т., Ватсон Г.Н. Курс современного анализа. - М.: Физматгиз, 1963.

Стаття надійшла в редколегію 15.02.82

УДК 539.3

І.П.Шацький

ПОЛОГА ЦИЛІНДРИЧНА ОБОЛОНКА
З ЖОРСТКИМ ВІКЛЮЧЕННЯМ ВЗДОВЖ НАПРЯМОЇ

Розглянемо пологу циліндричну оболонку Кірхгофа радіуса R і товщини h , яка містить абсолютно жорстке лінійне віклення довжини $2b$, локалізоване вздовж відрізка напрямної. Оболонка перебуває під дією симетричного відносно лінії віклення навантаження. Дослідимо вплив кривини серединної поверхні оболонки на концентрацію напружень в околі кінців жорсткого віклення.

Для розв'язування задачі виберемо в серединній поверхні оболонки декартову систему безрозмірних координат xOy з початком у центрі включення та віссю Ox вздовж напрямної. Надалі для зусиль і моментів в оболонці збережемо позначення праці [2].

З допомогою інтегрального перетворення Фур'є відомим приступом [2] задача зведена до визначення невідомих функцій стисків зсувного та перерізуючого зусиль із системи сингулярних інтегральних рівнянь

$$\frac{1}{2\pi} \sum_{k=1,3}^j \int_{-1}^1 K_{jk}(\xi-x) f_k(\xi) d\xi = F_j(x), \quad x \in [-1,1], \quad j=1,3. \quad /1/$$

де

$$f_1(x) = S(x, +0) - S(x, -0);$$

$$f_3(x) = \sqrt{12(1-v^2)} \frac{c}{h} \int_{-1}^x [Q_y^*(\xi, +0) - Q_y^*(\xi, -0)] d\xi - \lambda^2 \iint_{-1}^x [S(\xi, +0) - S(\xi, -0)] d\xi d\zeta;$$

$$K_{11} = (3+2v-v^2) M_1 + M_3; \quad K_{13} = -K_{31} = (1-v) M_2; \quad K_{33} = -M_1;$$

$$M_1(z) = \frac{d}{dz} \ker \zeta; \quad M_2(z) = \frac{d}{dz} \ker i\zeta; \quad M_3(z) = \lambda^2 \int_0^z \ker i\zeta dz;$$

$$\zeta = \frac{\lambda}{2} |z|; \quad z = \xi - x; \quad \ker \zeta, \quad \ker i\zeta \quad - \text{функції Томсона};$$

$$\lambda^2 = \frac{c^2}{R^2} \sqrt{12(1-v^2)}; \quad v - \text{коєфіцієнт Пуассона матеріалу оболонки};$$

$$F_1(x) = -T_x^0 + v T_y^0, \quad F_3(x) = \frac{12}{\sqrt{12(1-v^2)}} (G_x^0 - v G_y^0) / h; \quad /2/$$

функції основного напруженого стану.

Система інтегральних рівнянь /1/ має єдиний розв'язок у класі необмежених функцій при виконанні додаткових умов

$$\int_{-1}^1 f_k(\xi) d\xi = 0, \quad k=1,3. \quad /3/$$

Для оцінки напруженого стану оболонки в околі кінців включення використаємо асимптотичні співвідношення, які застосовують у задачах розтягу-згину пластин з короткими включеннями [1]

$$\begin{bmatrix} T_r \\ T_\vartheta \\ S_{r\vartheta} \end{bmatrix} = \frac{K_1^\pm}{4\sqrt{2}r} \begin{bmatrix} 5\cos\frac{1}{2}\vartheta + \frac{7-\nu}{1+\nu} \cos\frac{3}{2}\vartheta \\ 3\cos\frac{1}{2}\vartheta - \frac{7-\nu}{1+\nu} \cos\frac{3}{2}\vartheta \\ \sin\frac{1}{2}\vartheta - \frac{7-\nu}{1+\nu} \sin\frac{3}{2}\vartheta \end{bmatrix} + O(r^0),$$

$$(3+\nu) \begin{bmatrix} G_r \\ G_\vartheta \\ H_{r\vartheta} \end{bmatrix} = \frac{K_3^\pm}{4\sqrt{2}r} \begin{bmatrix} (3+5\nu)\cos\frac{1}{2}\vartheta + (1-\nu)\cos\frac{3}{2}\vartheta \\ (5+3\nu)\cos\frac{1}{2}\vartheta - (1-\nu)\cos\frac{3}{2}\vartheta \\ (1-\nu)\sin\frac{1}{2}\vartheta - (1-\nu)\sin\frac{3}{2}\vartheta \end{bmatrix} + O(r^0), \quad /4/$$

$$(3+\nu) \begin{bmatrix} Q_r \\ Q_\vartheta \end{bmatrix} = \frac{K_3^\pm}{12r^3} \begin{bmatrix} -\cos\frac{1}{2}\vartheta \\ -\sin\frac{1}{2}\vartheta \end{bmatrix} + O(r^{-1}),$$

де

$$K_i^\pm = \pm A_i \sqrt{\ell} \lim_{x \rightarrow \pm i} \sqrt{1-x^2} f_i(x); \quad i=1,3 -$$

коєфіцієнти інтенсивності зусиль та моментів $A_1=(1+\nu)/4, A_3=(3+\nu)/4$;
 γ, ϑ - полярні координати з початком у вершині включення
 $x=t_1$.

Наближений розв'язок рівнянь /1/, /3/ при $\nu=1/3$ побудовано методом механічних квадратур.

На рис. 1, 2 показані графіки залежностей зведеніх коєфіцієнтів інтенсивності зусиль та моментів від параметра кривини λ для кішадку розтягу оболонки осьовими зусиллями інтенсивності ρ , рівномірно розподіленими вздовж напрямної ($T_x^o=G_x^o=G_y^o=0, T_y^o=\rho$).

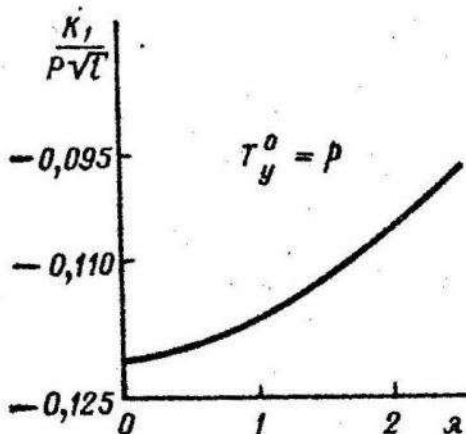


Рис. 1.

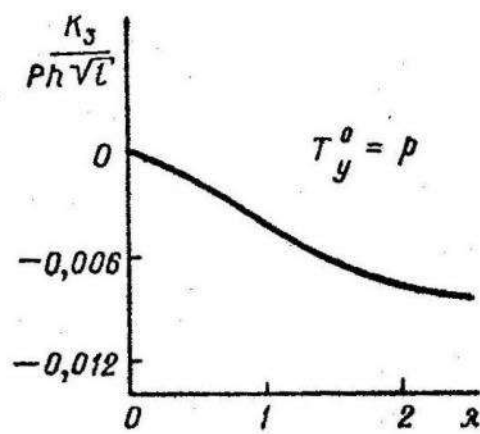


Рис. 2.

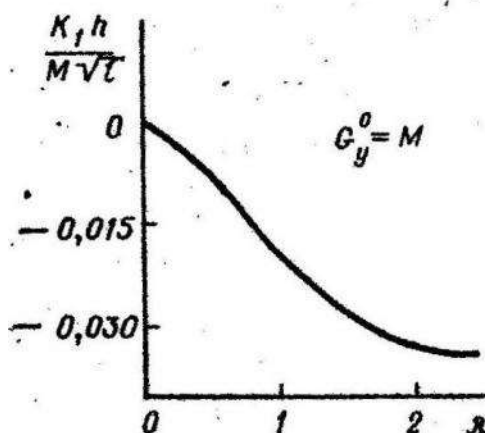


Рис. 3.

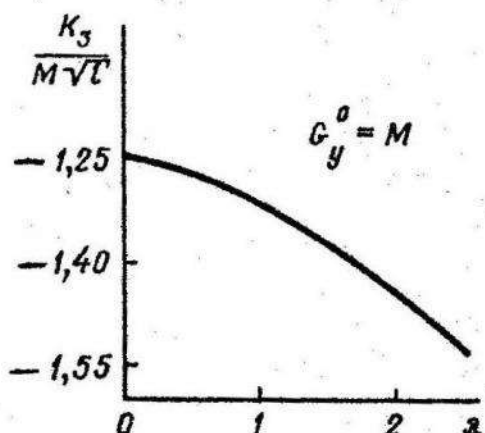


Рис. 4.

Згину циліндричної панелі рівномірно розподіленими моментами $T_x^0 = T_y^0 = G_x^0 = 0$, $G_y^0 = M$ відповідають криві на рис. 3, 4.

При безмоментному навантаженні зі збільшенням параметра кривини λ абсолютне значення мембраниого коефіцієнта інтенсивності K_1 спадає, а згинного K_3 - зростає. При моментному наван-

таженні ріст параметра кривини приводить до підвищення рівня і мембральної, і згинної складових напруженого стану в околі вершини короткого включення.

Як випливає з формул /2/, випадки навантаження труби з вільними кінцями рівномірним внутрішнім тиском / $T_x^o = qR$ / і згину циліндичної панелі моментами $G_x^o = M$ одержують з результатів, показаних на рис. I-4, множникам на $-1/\nu$. Крім того, при заданому коефіцієнті Пуассона завжди існує така комбінація зовнішнього навантаження, що $F_1 = F_3 \equiv 0$, і коротке включення не викликає збурення напруженно-деформованого стану в пологій оболонці.

Список літератури: 1. Бережницкий Л.Т., Дем'янський М.В., Панасюк В.В. Изгиб тонких пластин с дефектами типа трещин. - К.: Наукова думка, 1979. 2. Панасюк В.В., Саврук М.П.; Дацьшин А.Н. Распределение напряжений около трещин в пластинах и оболочках. - К.: Наукова думка, 1976.

Стаття надійшла в редколегію 12.05.82

УДК 539.3

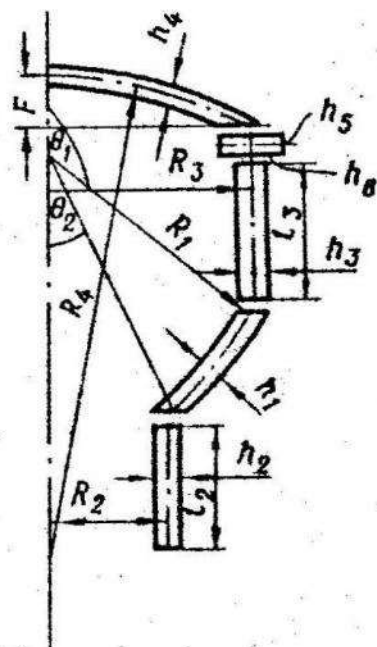
Л. Я. Ощепко

ОПТИМАЛЬНИЙ РОЗРАХУНОК ОБОЛОНОК ЕВІ

Задачі оптимального проектування пов"язані зі створенням більш якісних конструкцій і зводяться до розв"язання задач математичного програмування. Розв"язок шукається на підмножині повного класу розв"язків відповідно до значення цільової функції, що визначена на цій підмножині. Допустима підмножина визначається умовами, що накладаються на поведінку конструкції при заданому

навантаженні. Термін оптимальний проект має зміст при досягненні цільовою функцією мінімуму на допустимій множині.

Розглянемо задачу оптимального проектування за вагою на міцність однорідної скляної конструкції, що складається зі спріжених через ребро жорсткості сферичної і циліндричної оболонок, які в свою чергу спріженні зі сферичною та циліндричною оболонками. Ребро – прямокутного поперечного перерізу. Конструкція знаходиться під дією рівномірного зовнішнього тиску Q /див. рисунок/.



За регульовані параметри вибираємо товщини оболонок і геометричні параметри ребра.

Задача оптимального проектування за вагою на міцність падає в мінімізації цільової функції, яка є об'ємом конструкції

$$V/\pi = 2R_1^2(\cos\theta_1 + \cos\theta_2)h_1 + 2R_2l_2h_2 + 2R_3h_3(l_3 - h_5/2) + 2R_4Fh_4 + h_4^3/6 - R_4h_4h_5 + 2R_3h_5h_6$$

/1/

на підмножині проектування, що визначається обмеженнями на максимальні еквівалентні напруження та деякі геометричні параметри

$$G_{\theta_1}^{\text{екв}} \leq [G]; G_{x_1}^{\text{екв}} \leq [G]; G_{\theta_2}^{\text{екв}} \leq [G]; G_{x_2}^{\text{екв}} \leq [G];$$

$$C_5 h_5 \leq h_3; C_6 h_6 \leq h_4; h_i > 0, i = 1, 6,$$

де $G_{\theta_1}, G_{x_1}, G_{\theta_2}, G_{x_2}$ - максимальні еквівалентні напруження відповідно у сферичної оболонці товщини h_4 , циліндричній оболонці товщини h_3 , сферичної оболонці товщини h_1 і циліндричній оболонці товщини h_2 ; $[G]$ - допустиме напруження; C_5, C_6 - постійні.

12/

Для визначення точок, в яких виникають максимальні еквівалентні напруження, проводили підмножинний розрахунок конструкції. Напруженно-деформований стан оболонок розбивали на безмоментний напруженний стан і краєвий ефект [4]. Розрахунок конструкції проводили аналогічно [3].

Задачу оптимального проектування /1/ - /2/, апроксимуючи функції одночленними позіномами, зводимо до задачі геометричного програмування, пряма програма якого формулюється так:

мінімізувати

$$g_0(\bar{h}) = V/\pi \approx C_0 \prod_{i=1}^6 h_i^{b_{i0}} \quad 13/$$

при обмеженнях

$$g_1(\bar{h}) = G_{\theta_1}^{\text{екв}}/[G] \approx C_1 \prod_{i=1}^6 h_i^{b_{i1}} \leq 1;$$

$$g_2(\bar{h}) = G_{x_1}^{\text{екв}}/[G] \approx C_2 \prod_{i=1}^6 h_i^{b_{i2}} \leq 1;$$

$$g_3(\bar{h}) = G_{\theta_2}^{\text{екв}}/[G] \approx C_3 \prod_{i=1}^6 h_i^{b_{i3}} \leq 1;$$

$$g_4(\bar{h}) = G_{x_2}^{\text{екв}}/[G] \approx C_4 \prod_{i=1}^6 h_i^{b_{i4}} \leq 1;$$

$$g_5(\bar{h}) = C_5 h_3^{b_{35}} h_5^{b_{55}} \leq 1;$$

$$g_6(\bar{h}) = C_6 h_4^{\theta_{4,6}} h_6^{\theta_{6,6}} \leq 1;$$

$$h_i > 0, \quad i = \overline{1,6},$$

14/

де

$$\theta_{i,j} = \left[\frac{h_i}{g_j(\bar{h})} \frac{\partial g_j(\bar{h})}{\partial h_i} \right]_{\bar{h}^*}; \quad i = \overline{1,6}; j = \overline{0,4};$$

$$C_j = [g_j(\bar{h}) / (\prod_{i=1}^6 h_i^{\theta_{ij}} [G])]_{\bar{h}^*};$$

$$\theta_{35} = \theta_{4,6} = -1; \quad \theta_{5,5} = \theta_{6,6} = 1;$$

15/

\bar{h}^* – вихідна точка. При апроксимації використовували числові методи.

Двоїста програма, що відповідає програмі 13/ – 14/, полягає в максимізації двоїстої функції

$$U(\delta) = \prod_{i=0}^6 C_i^{\delta_i} \quad 16/$$

під лінійних обмеженнях на вектор двоїстих змінних

$$\delta_0 = 1;$$

$$\sum_{i=0}^6 \theta_{ij} \delta_i = 0; \quad j = \overline{1,6};$$

$$\delta_i \geq 0; \quad i = \overline{0,6}. \quad 17/$$

Визначивши максимізуючий вектор δ' і максимум двоїстої функції, на основі першої теореми двоїстості [1] визначаємо мінімум функції $g_6(\bar{h})$ і мінімізуючий вектор \bar{h} . Для уточнення отриманого розв'язку використовували ітераційний процес [2].

Складена програма на алгоритмічній мові АЛГОЛ – 60, що визначає точки, в яких виникають максимальні еквівалентні напруження, апроксимує функції одночленними позіномами, розв'язує двоїсту задачу геометричного програмування, визначає мінімум об'єму і мінімізуючу точку.

Аналіз отриманих результатів показує, що об'єм конструкції з ребром зменшується порівняно з такою ж конструкцією без ребра.

Наприклад, при фіксованих параметрах

$$g = 0,01 \text{ кГ/ММ}^2; E = 6240 \text{ кГ/ММ}^2; [G] = 0,9 \text{ кГ/ММ}^2; \delta = 0,2;$$
$$F = 10 \text{ МН}; R_1 = 100 \text{ ММ}; R_2 = 40 \text{ ММ}; R_3 = \sqrt{3}R_1/2;$$
$$R_4 = (R_3^2 + F^2)/2F; l_2 = 25 \text{ ММ}; l_3 = 10 \text{ ММ}; \theta_1 = 2\pi/3;$$

$$\theta_2 = \arcsin(R_2/R_1); C_5 = 0,5; C_6 = 2;$$

оптимальні товщини і об'єм конструкції відповідно дорівнюють
а) з ребром

$$h_1 = 1,64 \text{ ММ}; h_2 = 2,30 \text{ МН}; h_3 = 4,73 \text{ МН}; h_4 = 4,05 \text{ МН};$$

$$h_5 = 2,36 \text{ МН}; h_6 = 8,10 \text{ МН}; V/\pi = 0,55938 \cdot 10^5 \text{ МН}^3;$$

б) без ребра

$$h_1 = 3,10 \text{ ММ}; h_2 = 3,73 \text{ МН}; h_3 = 5,16 \text{ МН}; h_4 = 4,55 \text{ МН};$$
$$V/\pi = 0,69318 \cdot 10^5 \text{ МН}^3.$$

Наявність ребра зменшує об'єм конструкції на 19,3 %.

Список літератури: 1. Даффин Р., Питерсон Э.. Зенер К. Геометрическое программирование. - М.: Мир, 1972.
2. Зенер К. Геометрическое программирование и техническое проектирование. - М.: Мир, 1973. 3. Ощипко Л.И. Оптимізація складових оболонок електровакуумних пристрій.-Вісн. Львів. ун-ту, сер. мех.-мат., 1980, вип. I6. 4. Прочность. Устойчивость. Колебания: Справочник. - М.: Машиностроение, 1968. Т.І.

Стаття надійшла в редакцію 22.02.82

Д.Г.Хлебніков, І.А.Прокоп'єв, О.М.Парашак

ОСЕСИМЕТРИЧНА ЗАДАЧА ЗГИНУ ПЛАСТИНКИ
ГЛАДКИМ ШТАМПОМ З ВРАХУВАННЯМ ВІДСТАВАННЯ

Вивчення явища відставання в контактних задачах згину пластинок неможливе без врахування поперечного обтиску. Осесиметричний згин пластинки гладким круговим у плані штампом з врахуванням обтиску розглянутий у працях [3, 4], однак явище відставання пластинки від штампу там не досліджувалось. Відставання балки від штампу при цій згині досліджував Г.Б.Ковнерістов [2]. Відставання штампа від багаточарової основи в рамках осесиметричної задачі теорії пружності вивчено у праці [1].

Нижче на основі праці [3] розглянемо односторонній контакт пластинки з кільцевим штампом під осесиметричному згині.

Нехай на вільно оперту по краю $z = C$ кругову пластину товщини $2h$ діє з силою P центрально прикладений гладкий штамп, контакт якого з пластиною відбувається по кільцевій зоні $a \leq r \leq b$. Основа штампа описується рівнянням $z = f(r) + h$.

Наближене рівняння для контактного тиску q з врахуванням обтиску, одержане операторним методом з умови контакту

$$W(r, h) = f(r) - \delta h, \quad /1/$$

має вигляд [3]

$$\frac{1}{D} \left(1 - \frac{4}{5} h_A^2 + \frac{256}{525} h_A'^2 \right) q = \delta^2 f(r), \quad a < r < b. \quad /2/$$

Тут і надалі використовуємо позначення праці [3].

Розв'язок рівняння /2/ записуємо як

$$q(r) = \frac{P}{\pi b^2} \tilde{q}(\rho) = \frac{P}{\pi b^2} \left[A_1 \tilde{U}_0(\rho) + A_2 \tilde{V}_0(\rho) + A_3 \tilde{f}_0(\rho) + A_4 \tilde{g}_0(\rho) + q_{*}(\rho) \right]. \quad /3/$$

Функція напруження $\Psi(\rho)$ має вигляд [3]

$$\Psi(\rho) = B_0 h + B h \rho^2 + \frac{1}{2(1-\nu)D} \left\{ \frac{11}{525} h^4 q(a_0 h \rho) - \right. \\ \left. - \frac{a_0^2 h^4}{4} \int_{\alpha}^{\rho} [\alpha_0(\rho, \tau) + \frac{1}{5a_0^2} \beta(\rho, \tau)] q(a_0 h \tau) d\tau \right\},$$

$$\alpha_0(\rho, \tau) = \tau^3 \left[\ln \frac{\tau}{\rho} - 1 + \frac{\rho}{\tau^2} \left(1 + \ln \frac{\tau}{\rho} \right) \right], \beta(\rho, \tau) = 4\tau \ln \frac{\tau}{\rho}. /4/$$

Для визначення констант $A_1, A_2, A_3, A_4, B_0, B$ та осадки штампа δ використовуємо умови рівності нуль згинного моменту та прогину при $\tau = C$,

$$\frac{16(1-\nu^2)}{a_0^2} B = \bar{x} \int_{\alpha}^{\beta} t \left[2(1+\nu) \ln \frac{t}{\rho} + (1-\nu) \left(\frac{t^2}{\rho^2} - 1 \right) + \frac{8\nu}{5a_0^2 \rho^2} \right] \bar{q}(t) dt, /5/$$

$$B_0 + \left(\rho^2 - \frac{4}{a_0^2} \right) B = \frac{a_0^2 \bar{x}}{8(1-\nu)} \int_{\alpha}^{\beta} \left[\alpha_0(x; t) - \frac{4}{5a_0^2} \beta(x; t) \right] \bar{q}(t) dt,$$

$$\alpha = \frac{a}{a_0 h}, \quad \beta = \frac{b}{a_0 h}, \quad \gamma = \frac{c}{a_0 h}, \quad \bar{x} = \frac{x}{\beta h^2} = \frac{\rho h}{\beta h^2 D},$$

/6/

умову рівноваги штампа

$$\int_{\alpha}^{\beta} \bar{q}(\rho) \rho d\rho = \frac{\beta^2}{2}, /7/$$

а також рівності, що забезпечують повне виконання /з точністю $O(h^4)$ / умови контакту /I/. Вони мають вигляд

$$\bar{x} \left[\frac{4}{5} \bar{q}'(\alpha) - \frac{256}{525a_0^2} (\Delta \bar{q})(\alpha) \right] = -(\Delta f_0)'(\alpha), /8/$$

$$4(1-\nu) \alpha B + \frac{256}{525a_0^2} \bar{x} \bar{q}'(\alpha) = f_0'(\alpha), /9/$$

$$8(1-\nu) B - \bar{x} \left[\frac{4}{5} \bar{q}(\alpha) - \frac{256}{525a_0^2} \Delta \bar{q}(\alpha) \right] = \Delta f_0(\alpha), /10/$$

$$2(1-\nu) B_0 + 2(1-\nu) \left[\alpha^2 - \frac{4}{a_0^2} \right] B + \frac{256}{525a_0^2} \bar{x} \bar{q}(\alpha) = f_0(\alpha) - \delta f_0(\rho) = \frac{f(a_0 h \rho)}{h}, /11/$$

Якщо внутрішній радіус α зони контакту невідомий, а зовнішній β - заданий /наприклад, у випадку відставання центральної частини плоского кругового штампа/, то маємо додаткову умову

$$\bar{f}(\alpha) = 0. \quad /12/$$

При цьому, коли функція f , яка визначає форму штампа, є такою, що хоч одне з рівнянь /8/ - /10/ неоднорідне, то, задаючись α , з рівнянь /5/, /8/ - /10/, /12/ знаходимо константи $B, \bar{x}, A_i (i=1,4)$, а з рівняння рівноваги /7/ визначаємо безрозмірне зусилля \bar{x} , що відповідає заданому α . Якщо рівняння /8/ - /10/ однорідні /штамп з плоскою основою/, то зона контакту не залежить від зусилля \bar{x} , що діє на штамп. Тоді, задаючись α , з рівнянь /7/ - /10/, /12/ знаходимо сталі $B/\bar{x}, A_i (i=1,4)$. Для визначення γ , що відповідає даному α , з умови /5/ одержуємо транспонентне рівняння виду

$$L + M\lambda + \ell_7\lambda = 0, \quad \lambda = 1/\gamma^2. \quad /13/$$

Після цього ставу B_0 шукають з умови /6/, а δ - з /11/.

Якщо невідомі обидва радіуси α та β зони контакту, то поряд з /12/ слід використовувати умову

$$\bar{f}(\beta) = 0. \quad /14/$$

У цьому випадку, задаючись значенням β , систему /5/, /7/ - /10/, /12/, /14/ відносно $B, A_i (i=1,4), \bar{x}$ та α розв'язуємо методом послідовних наближень.

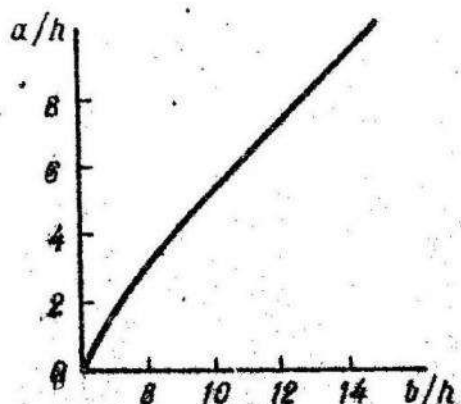


Рис. 1.

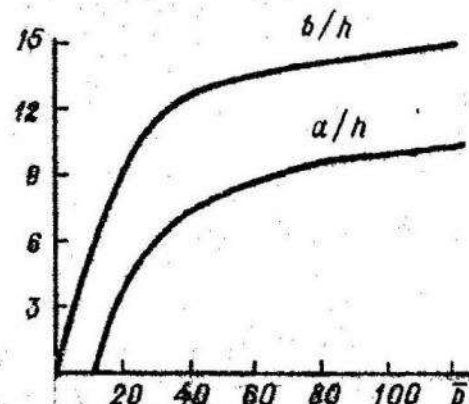


Рис. 2.

Рис. I для штампа з основою $f(r) = \frac{r^2}{2R}$ ілюструє залежність між зовнішнім B/h і внутрішнім a/h радіусами зони контакту, яка має місце при довільних c/h . Відставання центральної частини штампа від пластинки починається при $B/h = 6,13$. На рис.2. показана залежність радіусів зони контакту a/h , B/h від безрозмірного зусилля $\bar{P} = \frac{\rho R}{a^2 D}$ при $c/h = 15$.

Список літератури: І. Ільман В.М., Ламзюк В.Д., Приварников А.К. О характере взаимодействия штампа с упругим многослойным основанием. - Механика твердого тела, 1975, № 5. 2. Коннеристов Г.Б. Взаимодействие штампа и балочной плиты. - Сопротивление материалов и теория сооружений, 1975, вып.25. 3. Хлебников Д.Г., Парашак О.М. Осесиметричний згин круглої пластинки гладким штампом. - Вісн. Львів. ун-ту, сер. мех.-мат., 1979, вип. I4. 4. Швабюк В.И. Учет эффекта сжимаемости нормали в контактных задачах для трансверсально изотропных плит. - Прикладная механика, 1980, т.16, вып. 4.

Стаття надійшла в редколегію 12.04.82

УДК 517.94:539.3

Н.П.Флейшман, Х.О.Бобик

РОЗВ'ЯЗУВАННЯ КРАЙОВИХ ЗАДАЧ ТЕОРІЇ ПЛАСТИН МЕТОДОМ ІНВАРИАНТНОГО ЗАКРУРЕННЯ

Крайові задачі для двовимірного диференціального рівняння у частинних похідних четвертого порядку моделюють різні задачі теорії ізотропних та анізотропних пластин /плоска задача теорії пружності, поперечний згин тонких плит, вимушенні гармонійні коливання пластин на пружній основі та ін./.

У деяких випадках вигідно замінити рівняння четвертого порядку системою двох рівнянь другого порядку відносно двох шука-

них функцій, яку можна простіше розв'язати з достатньою точністю наближенням методами. Якщо область, яку займає сегеліана площини пластиинки, однозначна, то її можна відобразити на прямокутник $\Omega: \{0 \leq x \leq a, 0 \leq y \leq b\}$ з границею $\partial\Omega$. При цьому задачі диференціальні рівняння та відповідні граничні умови на границі пластиинки зводяться, взагалі кажучи, до такого виду:

$$\sum_{k=1}^2 \sum_{n+\ell=0}^2 a_{n\ell kp}(x, y) \frac{\partial^{n+\ell} u^{(k)}}{\partial x^n \partial y^\ell} + \varphi_p(x, y) = 0, \quad /1/$$

$$\sum_{k=1}^2 \sum_{n+\ell=0}^1 b_{n\ell kp}(x, y) \frac{\partial^{n+\ell} u^{(k)}}{\partial x^n \partial y^\ell} + \Phi_p(x, y) = 0 \text{ на } \partial\Omega \quad /2/ \quad (\rho=1, 2),$$

де $u^{(k)}(x, y)$ - шукані функції; $a_{n\ell kp}(x, y)$, $b_{n\ell kp}(x, y)$ - відомі змінні коефіцієнти; $\varphi_p(x, y)$, $\Phi_p(x, y)$ - відомі функції.

Крайову задачу /1/ - /2/ розв'язуємо наближено за допомогою дискретного варіанту методу занурення, при числовій реалізації якого можна ефективно використовувати ЕОМ.

Постановка задачі. Покриємо розглядувану прямокутну область Ω прямокутною сіткою, кроки h і τ якої вибираємо з умов $a = N\tau$, $b = Mh$, де N, M - цілі числа.

Позначимо через $U_{ji}^{(k)}$, $a_{n\ell kp ji}^{(k)}$, $b_{n\ell kp ji}^{(k)}$, $\varphi_{ji}^{(k)}$, $U_{ji}^{(k)}$ відповідно дискретні значення шуканих $u^{(k)}(x, y)$ і відомих функцій $a_{n\ell kp}(x, y)$, $b_{n\ell kp}(x, y)$, $\varphi_p(x, y)$, $\Phi_p(x, y)$ у вузлах сітки та замінimo диференціальні оператори в /1/ - /2/ їх симетричними різницями аналогами з точністю $O(h^2)$.

Після такої дискретизації система /1/ набуває вигляду

$$\sum_{k=1}^2 Q_{kii}^{(\rho)} U_{i+1}^{(k)} + Q_{ki}^{(\rho)} U_i^{(k)} + Q_{kii}^{(\rho)} U_{i-1}^{(k)} + \varphi_{ki}^{(\rho)} = 0 \quad /3/ \quad (\rho=1, 2; i=1, \overline{N-1}),$$

де $U_i^{(k)} \equiv U^{(k)}(i, N)$ - вектор вузлових значень шуканих

функцій $U_{ji}^{(k)}$ при фіксованому значенні i . Прийняті позначення підкреслюють залежність розв'язку від розміру області. У формулі /3/ введені ще такі позначення: $Q_{kii}^{(\rho)}$, $Q_{ki}^{(\rho)}$, $Q_{kii}^{(\rho)}$ - відо-

мі квадратні матриці розмірності $(M-1)$; $\varphi_{ki}^{(p)}$ - відомий вектор $[1]$. Введемо також складні вектори розмірності

$$U_i = \begin{bmatrix} U_i^{(1)} \\ U_i^{(2)} \end{bmatrix}, \quad \varphi_i = \begin{bmatrix} \varphi_i^{(1)} \\ \varphi_i^{(2)} \end{bmatrix}, \quad (i=1, \overline{N-1}), \quad /4/$$

Тоді система /3/ записується як одне матрично-векторне різницеве рівняння другого порядку

$$A_i U(i+1, N) + B_i U(i, N) + C_i U(i-1, N) + \varphi_i = 0, \quad /5/$$

де A_i, B_i, C_i - відомі блочні квадратні матриці розмірності $(2M-2)$. Їх вигляд залежить, очевидно, від змінних коефіцієнтів вихідної системи /1/. При правильній побудові матриць A_i, B_i, C_i дискретизовані країві умови на краях $y=0$ і $y=b$ задовільняються тотою.

Систему різницевих рівнянь /5/ відносно шуканих векторів формально можна розглядати як одновимірну.

Границі умови на краях прямокутника $x=0$ і $x=a$ в найбільш загальному випадку набувають вигляду

$$L_1 U(-1, N) + L_2 U(0, N) + L_3 U(1, N) = c,$$

$$\beta_1(N) U(N+1, N) + \beta_2(N) U(N, N) + \beta_3(N) U(N-1, N) = d, \quad /6/$$

де c, d - задані вектори; $L_k, \beta_k(N)$ ($k=1, 3$) - задані квадратні блочні матриці розмірності $(2M-2)$, які залежать від відомих коефіцієнтів граничних умов /2/.

Використовуючи ідею методу інваріантного занурення [1], представляемо шуканий вектор у вигляді

$$U(i, N) = U(i, N)d + \rho(i, N), \quad /7/$$

де квадратна матриця $U(i, N)$ і вектор $\rho(i, N)$ є розв'язками наступних двоточкових краївих задач

$$A_i U(i+1, N) + B_i U(i, N) + C_i U(i-1, N) = 0, \quad /8/$$

$$L_1 U(-1, N) + L_2 U(0, N) + L_3 U(1, N) = 0, \quad /9/$$

$$\beta_1(N) U(N+1, N) + \beta_2(N) U(N, N) + \beta_3(N) U(N-1, N) = I, \quad /10/$$

$$A_i p(i+1, N) + B_i p(i, N) + C_i p(i-1, N) + \varphi_i = 0, \quad /11/$$

$$L_1 p(-1, N) + L_2 p(0, N) + L_3 p(1, N) = C, \quad /12/$$

$$\beta_1(N) p(N+1, N) + \beta_2(N) p(N, N) + \beta_3(N) p(N-1, N) = 0. \quad /13/$$

Легко перевірити, що вектор /7/ теж задовільняє задачу /5/ - /6/.

Знаходження матриці $U(i, N)$ методом занурення. Розглянемо задачу /8/ - /10/ на відрізку довжиною $N+1$:

$$A_i U(i+1, N+1) + B_i U(i, N+1) + C_i U(i-1, N+1) = 0, \quad /14/$$

$$L_1 U(-1, N+1) + L_2 U(0, N+1) + L_3 U(1, N+1) = 0,$$

$$\beta_1(N+1) U(N+2, N+1) + \beta_2(N+1) U(N+1, N+1) + \beta_3(N+1) U(N, N+1) = I$$

і введемо позначення $/15/$

$$R(N) = \beta_1(N) U(N+1, N+1) + \beta_2(N) U(N, N+1) + \beta_3(N) U(N-1, N+1), \quad /16/$$

Шляхом порівняння лінійних задач /14/ - /15/ і /8/ - /10/ знаходимо

$$U(i, N+1) = U(i, N) R(N). \quad /17/$$

Приймаючи тепер в /14/, /17/ і /8/ відповідно. $i=N$, $i=N-1$, $i=N$, $i=N-1$, $i=N-2$, $i=N-1$ і замінюючи в /16/ N на $N-1$, отримуємо систему семи алгебраїчних рівнянь, з якої шукані величини виражаються через $R(N)$, $R(N-1)$.

Таким чином, знаходимо

$$U(N, N) = g^{-1} [(I + \gamma H^{-1} F) R(N-1) - \gamma H^{-1}], \quad /18/$$

$$\gamma = \beta_2(N-1) - \beta_3(N-1) C_{N-1}^{-1} B_{N-1}, \quad H = f_N - \alpha_N g^{-1} \gamma,$$

$$g = \beta_1(N-1) - \beta_2(N-1) \tilde{C}_{N-1}^{-1} A_{N-1}, \quad F = \alpha_N g^{-1},$$

$$f_N = \beta_3(N) - \beta_1(N) \tilde{A}_N^{-1} C_N, \quad \alpha_N = \beta_3(N) - \beta_1(N) \tilde{A}_N^{-1} C_N. \quad /19/$$

З /16/ далі отримуємо

$$R(N) = [B_* - AR(N-1)], \quad /20/$$

де

$$B_* = \alpha_{N+1} \tilde{A}_N^{-1} B_N g^{-1} G - \alpha_{N+1} \tilde{A}_N^{-1} C_N H^{-1} f_N g^{-1} G,$$

$$A_* = \alpha_{N+1} \tilde{A}_N^{-1} B_N g^{-1} [I + GF] - \alpha_{N+1} \tilde{A}_N^{-1} C_N H^{-1} F - f_N g^{-1} [I + GF];$$

$$G = zH^{-1}. \quad /21/$$

Формулу /20/ використовують для рекурентного обчислення матриць $R(N)$. Початкове значення $R(0)$ визначають з /16/ при $N=0$ у вигляді

$$R(0) = \beta_1(0) U(1,1) + \beta_2(0) U(0,1) + \beta_3(0) U(-1,1), \quad /22/$$

де

$$U(1,1) = \alpha_1^{-1} (I + f, D^{-1} d, \alpha_1^{-1});$$

$$U(0,1) = -D^{-1} d, \alpha_1^{-1};$$

$$U(-1,1) = -C_0^{-1} A_0 \alpha_1^{-1} [I + f, D^{-1} d, \alpha_1^{-1}] + \tilde{C}_0^{-1} B_0 D^{-1} d, \alpha_1^{-1};$$

$$D = z - d, \alpha_1^{-1} f; \quad z = L_2 - L_1 \tilde{C}_0^{-1} B_0; \quad d_1 = L_3 - L_1 \tilde{C}_0^{-1} A_0. \quad /23/$$

Отже, після обчислення матриць $R(n)$ за формулою /20/ можна визначити шукану матрицю $U(i, n+1)$ згідно /7/ у вигляді

$$U(i, n+1) = U(i, n) R(n), \quad (i \leq n \leq N-1) \quad /24/$$

з початковим значенням $U(i, i)$, яке отримують з /18/ при $N=i$.

Обчислення вектора $p(i, N)$ методом занурення. Шляхом складання різниці гівнень /II/ - /13/ і відповідних рівнянь, одержа-

них з них при заміні N на $N+1$, отримуємо

$$\begin{aligned} A_i P_{*}(i+1, N) + B_i P_{*}(i, N) + C_i P_{*}(i-1, N) &= 0, \\ L_1 P_{*}(-1, N) + L_2 P_{*}(0, N) + L_3 P_{*}(1, N) &= 0, \\ \beta_1(N) P_{*}(N+1, N) + \beta_2(N) P_{*}(N, N) + \beta_3(N) P_{*}(N-1, N) &= S(N). \end{aligned} \quad /25/$$

Тут позначено

$$\begin{aligned} P_{*}(i, N) &= p(i, N+1) - p(i, N), \\ S(N) &= \beta_3(N) p(N-1, N+1) + \beta_2(N) p(N, N+1) + \beta_1(N) p(N+1, N+1). \end{aligned} \quad /26/$$

Порівнюючи лінійні задачі /25/ і /8/ - /10/ і враховуючи /26/, знаходимо

$$p(i, N+1) = p(i, N) + U(i, N)S(N). \quad /27/$$

Поступаючи далі аналогічно попередньому, отримуємо

$$S(n) = R(n) [A_{*} S(n-1) + D_3] \quad (n = \overline{1, N}), \quad /28/$$

$$\begin{aligned} D_3 &= -\alpha_{N+1} \tilde{A}_N^{-1} \tilde{B}_N \tilde{g}^{-1} \tau H^{-1} \left\{ \beta_1(N) \tilde{A}_N^{-1} \varphi_N - F \beta(N-1) \tilde{C}_{N-1}^{-1} \varphi_{N-1} \right\} + \\ &+ \alpha_{N+1} \tilde{A}_N^{-1} \tilde{B}_N \tilde{g}^{-1} \beta_3(N-1) \tilde{C}_{N-1}^{-1} \varphi_{N-1} + \alpha_{N+1} \tilde{A}_N^{-1} \tilde{C}_N \tilde{H}^{-1} \left\{ \beta_1(N) \tilde{A}_N^{-1} \varphi_N - \right. \\ &- F \beta(N-1) \tilde{C}_{N-1}^{-1} \varphi_{N-1} \left. \right\} + \alpha_{N+1} \tilde{A}_N^{-1} \varphi_N - f_{N+1} \tilde{g}^{-1} \left\{ \beta_1(N-1) \tilde{C}_{N-1}^{-1} \varphi_{N-1} - \right. \\ &- \tau H^{-1} \beta_1(N) \tilde{H}^{-1} \varphi_N + \tau H^{-1} F \beta(N-1) \tilde{C}_{N-1}^{-1} \varphi_{N-1} \left. \right\} + \beta_1(N+1) \tilde{A}_{N+1}^{-1} \varphi_{N+1}. \end{aligned}$$

Початкове значення $S(0)$, яке необхідне для рекурентного обчислення $S(n)$ за формулою /28/, визначають у вигляді

$$\begin{aligned} S(0) &= \beta_1(0) p(1, 1) + \beta_2(0) p(0, 1) + \beta_3(0) p(-1, 1), \\ p(1, 1) &= \tilde{\alpha}_1^{-1} \beta_1(1) \tilde{A}_1^{-1} \varphi_1 - \tilde{\alpha}_1^{-1} f_1 D^{-1} \left\{ C + L_1 \tilde{C}_0^{-1} \varphi_0 - d_1 \tilde{\alpha}_1^{-1} \beta_1(1) \tilde{A}_1^{-1} \varphi_1 \right\}, \quad /29/ \\ p(0, 1) &= D^{-1} \left\{ C + L_1 \tilde{C}_0^{-1} \varphi_0 - d_1 \tilde{\alpha}_1^{-1} \beta_1(1) \tilde{A}_1^{-1} \varphi_1 \right\}, \\ p(-1, 1) &= -\tilde{C}_0^{-1} \tilde{A}_0 \left\{ \tilde{\alpha}_1^{-1} \beta_1(1) \tilde{A}_1^{-1} \varphi_1 - \tilde{\alpha}_1^{-1} f_1 D^{-1} \left[C + L_1 \tilde{C}_0^{-1} \varphi_0 - \right. \right. \\ &\left. \left. - d_1 \tilde{\alpha}_1^{-1} \beta_1(1) \tilde{A}_1^{-1} \varphi_1 \right] \right\} - \tilde{C}_0^{-1} B_0 D^{-1} \left\{ L_1 \tilde{C}_0^{-1} \varphi_0 - d_1 \tilde{\alpha}_1^{-1} \beta_1(1) \tilde{A}_1^{-1} \varphi_1 + C \right\} - \tilde{C}_0^{-1} \varphi_0. \end{aligned}$$

Поля визначення векторів $S(n)$ за формулами /28/ шукані вектори $p(i, n+1)$ обчислюють за спiввiдношенням /27/ при $N=n$

$$p(i, n+1) = p(i, n) + U(i, n) S(n), \quad (n \geq i). \quad /30/$$

Початковим значенням тут

$$\begin{aligned} p(i, i) &= \alpha_i^{-1} [\beta(i) \tilde{A}_i^{-1} \varphi_i - f_i p(i-1, i)], \\ p(i-1, i) &= H^T \{ \beta(i) \tilde{A}_i^{-1} \varphi_i - F S(i-1) - F \beta(i-1) \tilde{C}_{i-1}^{-1} \varphi_{i-1} \}. \end{aligned}$$

Знайди матрицю $U(i, N+1)$ і вектор $p(i, N+1)$, обчислюємо $U(i, N+1)$ за формулами /7/. Таким чином,, поставлена задача повністю розв'язана.

Приклади. Для чисельної реалізації висаденого алгоритму складена програма на нові ФОРТРАН-ІІ для ЕОМ ЕС-1022, за допомогою якої проведено обчислення прогинів пластин для двох випадків.

1. Винесені коливання прямокутної плити на пружній основі, які описуються системою рівнянь [2]

$$\Delta W - V = 0, \quad \Delta V - 2\tau^2 V + (\alpha^2 - m\omega^2) W = \frac{\rho}{D}.$$

Порівняння чисельних результатів з відомими точним розв'язком для одного часткового випадку дали змогу зробити висновок, що при $\alpha = \delta = 1$, $h = 1/20$ найбільша відносна похибка наближеного розв'язку не перевищує 2,3 %. Зі зменшенням кроків сітки похибка зменшується.

2. Побудова амплітудо-частотної характеристики для прогину центра тонкої прямокутної плити при різних значеннях частоти відмінних коливань ω ($\rho = \text{const}$, $\tau = 1 = 0$).

Результати розрахунку підтверджують досить високу точність розв'язку методом інваріантного занурення.

Список літератури: 1. Беллман Р., Энджел Э. Динамическое программирование и уравнения в частных производных. - М.: Мир, 1974. 2. Власов В.З., Леонтьев Н.Н. Плиты и оболочки на упругом основании. - М.: Физматгиз, 1960.

Стаття надійшла в редколегію 18.II.82

УДК 539.3II

Л.О. Тисовський

ЗГИН ПЛИТИ З КРУТЛОЮ ШАЙБОЮ І ТОНКИМИ ПРУЖНИМИ
ПРЯМОЛІНІЙНИМИ ВКЛЮЧЕННЯМИ

Розглянемо пружну рівновагу ізотропної плити /матриці/ товщиною $2h$ з впаяною наскрізною шайбою радіуса R і N довільно розташованими прямолінійними тонкими пружними включеннями довжиною $2\ell_k$, ширину $2b_k$, товщиною $2h (k = 1, 2, \dots, N)$. Центр шайби, точку O , зв'яжемо з декартовою системою координат xOy , а в центрах тонких включень, точках O_k , розмістимо початки локальних систем координат $x_k O_k y_k$, причому вісь x_k збігається з серединною лінією k -го включения і утворює кут α_k з віссю x /рис. I/.

Припустимо, що плита знаходиться під дією рівномірно розподілених на нескінченності згиальних моментів M_x^∞, M_y^∞ , а на лініях розділу матеріалів виконуються умови ідеального механічного контакту.

Величини, що характеризують пружне включение, позначатимемо індексом $K (k=1, 2, \dots, N)$, шайбу - індексом 0. Параметри матриці писатимемо без індексів. Знаками "плюс" і "мінус" позначатимемо граничні значення функцій відповідно при $y \rightarrow +0$ і $y \rightarrow -0$. а область $|z| \leq R$ - через S_0 , область $|z| \geq R$ - через S_2 .

Згідно з постановкою задачі на берегах k -го включения наявні граничні умови

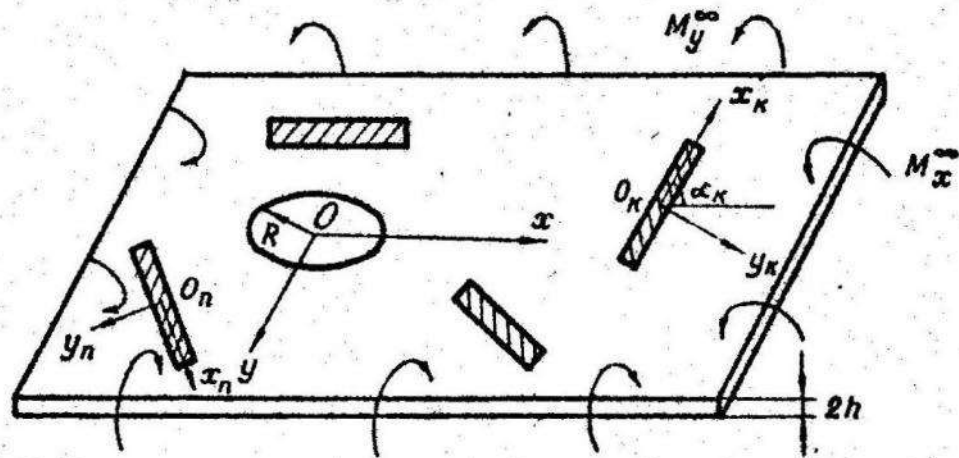


Рис. I.

$$(M_y)_K^\pm = (M_y)^\pm, \quad (N_y + \frac{\partial H_{xy}}{\partial x})_K^\pm = (N_y + \frac{\partial H_{xy}}{\partial x})^\pm,$$

$$(W)_K^\pm = (W)^\pm, \quad (\frac{\partial W}{\partial y})_K^\pm = (\frac{\partial W}{\partial y})^\pm.$$

/I/

Відомо, що в загальному випадку напружений стан у тонкій піліті виражається через дві функції комплексної змінної $\Phi(z), \Psi(z)$ [3], які для даної задачі, з огляду її лінійності, можна записати у вигляді

$\Phi(z) = \Phi_0(z) + \sum_{k=1}^N \Phi_k(z), \quad \Psi(z) = \Psi_0(z) + \sum_{k=1}^N \Psi_k(z), \quad 12$
 де $\Phi_0(z), \Psi_0(z)$ - функції, які голоморфні в комплексній пло-
 щині зовні кругової шайби; $\Phi_k(z), \Psi_k(z)$ - функції, що голо-
 морфні у всій комплексній площині, крім лінії розміщення k -го вклю-
 чення.

Використання методику праці [1], на основі граничних умов
 /1/ отримаємо в локальній системі координат $x_k, 0_k, y_k$, крайові
 задачі для визначення невідомих функцій $\Phi_k(x), \Psi_k(x)$ з лінією стриб-
 ків $[-l_k, l_k]$

$$\begin{aligned} [\Phi_k(x) - S_k(x)]^+ - [\Phi_k(x) - S_k(x)]^- &= 2i\beta_k K'_k(x), |x| \leq l_k, \\ [x\Phi_k(x) + S_k(x)]^+ - [x\Phi_k(x) + S_k(x)]^- &= \frac{2\mu_k i\beta_k}{\mu} M'_k(x), |x| \leq l_k^{1/3}, \\ [\Phi_k(x) + S_k(x)]^+ + [\Phi_k(x) + S_k(x)]^- &= \\ &= \frac{2}{1+\alpha_k} [(1-\alpha_k) K'_k(x) + 2M'_k(x) + 2\bar{K}'_k(\bar{x}) + 2\bar{M}'_k(\bar{x})] - 2R_k(x)\cdot \varepsilon_k^k, |x| \leq l_k, \\ [x\Phi_k(x) - S_k(x)]^+ + [x\Phi_k(x) - S_k(x)]^- &= iC_k + \\ &+ \frac{2\mu_k}{\mu(1+\alpha_k)} [2\alpha_k K'_k(x) + (\alpha_k^{-1}) M'_k(x) - 2\bar{K}'_k(\bar{x}) - 2\bar{M}'_k(\bar{x})] - 2P_k(x)\varepsilon_2^k, |x| \leq l_k, \\ S_k(z) &= \bar{\Phi}_k(z) + z\bar{\Phi}'_k(z) - \bar{\Psi}_k(z), \\ R_k(x) &= \Phi_0(z_k) + \overline{\Phi_0(z_k)} + e^{-2id_k} [\bar{\Psi}_0(z_k) + z_k \overline{\Phi'_0(z_k)}], \\ P_k(x) &= (1+\alpha_k) \Phi_0(z_k) - R_k(x), z_k = xe^{id_k} + z_k^0, z_k^0 = x_k^0 + iy_k^0, \\ \varepsilon_1^k &= 1 - \frac{\min(\mu, \mu_k)}{\mu_k}, \quad \varepsilon_2^k = 1 - \frac{\min(\mu, \mu_k)}{\mu}. \end{aligned} \quad 151$$

Для простоти в /4/ і надалі індекс K біля змінної x від-
 кидаємо; $K_k(x), M_k(x)$ - невідомі функції; μ, μ_k - постій-
 ні які відповідно для матеріалів матриці та включення; x_k^0, y_k^0 -
 координати точки O_k у системі координат xy .

Розв'язавши задачі лінійного спряження /3/, отримаємо значення функцій $\Phi_k(z), \Psi_k(z)$ ($k=1, 2, \dots, N$).

Врахувавши умови ідеального механічного контакту на лінії розділу кругової шайби та матриці, дістанемо задачі лінійного спряження для знаходження виразів для функцій $\Phi_0(z), \Psi_0(z)$ через функції $\Phi_k(z), \Psi_k(z)$ ($k=1, 2, \dots, N$). Після цього знаходимо вирази для функцій $\Phi(z), \Psi(z)$ у системі координат $x_n, 0, y_n$ і підставляємо їх в співвідношення /4/. Тоді отримуємо систему інтегро-диференціальних рівнянь для визначення невідомих функцій $K_k(x), M_k(x)$ ($k=1, 2, \dots, N$)

$$\sum_{j=1}^4 a_{ij} f_{jn}(z) - \sum_{k=1}^N \beta_{ik} \int \left[\sum_{j=1}^4 S_{jpnk}(t, z) f'_{jk}(t) \right] dt = p_{in}(z), \quad 1 \leq i \leq 4 \\ (i=1, 2; n=1, 2, \dots, N). \quad 16/$$

Тут введено наступні позначення:

$$z = x/\ell_n, \tau = t/\ell_n, f_{1k}(z) = M_k(\ell_n z), f_{2k}(z) = \overline{M_k(\ell_n z)}, f_{3k}(z) = K_k(\ell_n z), \\ f_{4k}(z) = \overline{K_k(\ell_n z)}, a_{11} = a_{12} = a_{14} = \frac{2}{1+x_n}, a_{13} = \frac{1-x_n}{1+x_n}, \beta_{ik} = \frac{\delta_{ik}}{\ell_n} \frac{\varepsilon_i''}{\pi(1+x_n)}, \\ a_{22} = a_{24} = -\frac{2}{1+x_n} \frac{\mu_n}{\mu}, a_{21} = \frac{x_n-1}{1+x_n} \frac{\mu_n}{\mu}, a_{23} = \frac{2x_n}{1+x_n} \frac{\mu_n}{\mu}, \\ S_{1pnk}(\tau, z) = \frac{\mu}{\mu} \left[\frac{2}{\varepsilon_i''} L_{1pnk}(\tau, z) + G_{1pnk}(\tau, z) + g_{1pnk}(\tau, z) + f_{1pnk}(\tau, z) \right], \quad j=1, 2, \\ S_{13nk}(\tau, z) = \frac{1-x}{\varepsilon_i''} L_{13nk}(\tau, z) + f_{1nk}(\tau, z) - x g_{13nk}(\tau, z) + G_{13nk}(\tau, z), \\ S_{4pnk}(\tau, z) = \frac{1-x}{\varepsilon_i''} L_{4pnk}(\tau, z) + f_{2nk}(\tau, z) + g_{2nk}(\tau, z) - x G_{2nk}(\tau, z), \\ S_{2jpnk}(\tau, z) = \frac{\mu}{\mu} \left[\frac{x-1}{\varepsilon_i''} L_{jpnk}(\tau, z) + x g_{jpnk}(\tau, z) - G_{jpnk}(\tau, z) - f_{2j-1,nk}(\tau, z) \right], \quad j=1, 2, \\ S_{23nk}(\tau, z) = \frac{2x}{\varepsilon_i''} L_{23nk}(\tau, z) - G_{1nk}(\tau, z) - x^2 g_{23nk}(\tau, z) - f_{1nk}(\tau, z), \\ S_{4npk}(\tau, z) = \frac{2x}{\varepsilon_i''} L_{4npk}(\tau, z) + x G_{2nk}(\tau, z) + x g_{2npk}(\tau, z) - f_{3nk}(\tau, z),$$

$$L_{1nK}(\tau, \beta) = \frac{e^{i\alpha_n}}{2} \left[\frac{1}{T_K - \lambda_{nK} X_n} + \frac{\bar{e}^{-2i\alpha_n}}{\bar{T}_K - \lambda_{nK} \bar{X}_n} \right],$$

$$L_{2nK}(\tau, \beta) = \frac{\bar{e}^{-i\alpha_n}}{2} \left[\frac{1}{\bar{T}_K - \lambda_{nK} \bar{X}_n} - \frac{T_K - \lambda_{nK} X_n}{(\bar{T}_K - \lambda_{nK} \bar{X}_n)^2} e^{-2i\alpha_n} \right],$$

$$g_{1nK}(\tau, \beta) = \frac{c \varepsilon_n^2 e^{i\alpha_n}}{X_n (X_n T_K - \lambda_{nK} \varepsilon_n^2)}, \quad g_{2nK}(\tau, \beta) = c \bar{e}^{-i\alpha_n} \left[\frac{\varepsilon_n^2 (\varepsilon_n^2 \lambda_{nK}^2 - T_K \bar{T}_K)}{T_K (\varepsilon_n^2 \lambda_{nK}^2 - X_n \bar{T}_K)^2} - \frac{1}{T_K} \right],$$

$$G_{1nK}(\tau, \beta) = e^{i\alpha_n} \left\{ \frac{C_1 \varepsilon_n^2 \bar{e}^{-2i\alpha_n}}{X_n (\bar{X}_n T_K - \lambda_{nK} \varepsilon_n^2)} + C \left[\left(1 + \frac{\varepsilon_n^2 \bar{e}^{-2i\alpha_n}}{X_n} \right) \left(\frac{\varepsilon_n^2 (\varepsilon_n^2 \lambda_{nK}^2 - T_K \bar{T}_K)}{T_K (\varepsilon_n^2 \lambda_{nK}^2 - X_n \bar{T}_K)^2} - \frac{1}{T_K} \right) - \frac{2 \varepsilon_n^2 (X_n \bar{X}_n - \varepsilon_n^2) (\varepsilon_n^2 \lambda_{nK}^2 - T_K \bar{T}_K)}{X_n (\varepsilon_n^2 \lambda_{nK}^2 - T_K \bar{T}_K)^3} \right] \right\},$$

$$G_{2nK}(\tau, \beta) = c \varepsilon_n^2 e^{-i\alpha_n} \left\{ \frac{1}{\bar{X}_n (T_K \bar{X}_n - \varepsilon_n^2 \lambda_{nK})} + \bar{e}^{-2i\alpha_n} \frac{X_n \bar{X}_n (\varepsilon_n^2 \lambda_{nK}^2 - 2T_K \bar{T}_K)}{\bar{X}_n^3 (\varepsilon_n^2 \lambda_{nK}^2 - T_K \bar{T}_K)^2} + \frac{3 \varepsilon_n^2 T_K \bar{X}_n - 2 \varepsilon_n^2 \lambda_{nK}}{\bar{X}_n^3 (\varepsilon_n^2 \lambda_{nK}^2 - T_K \bar{T}_K)^2} \right\},$$

$$f_{1nK}(\tau, \beta) = \left[C + \frac{\varepsilon_n^2 \bar{e}^{-2i\alpha_n}}{X_n^2} (C + C_4) \right] \frac{e^{i\alpha_n}}{T_K}, \quad f_{2nK}(\tau, \beta) = \left[C + \frac{\varepsilon_n^2 \bar{e}^{-2i\alpha_n}}{X_n^2} (1 - C_3) \right] \frac{\bar{e}^{-i\alpha_n}}{\bar{T}_K},$$

$$f_{3nK}(\tau, \beta) = f_{2nK}(\tau, \beta) - C(1 + \alpha) \frac{\bar{e}^{-i\alpha_n}}{\bar{T}_K}, \quad C = \frac{\mu_0 - \mu}{x_0 \mu_0 + \mu}, \quad C_1 = \frac{x_0 \mu_0 - \alpha \mu}{x_0 \mu_0 + \mu},$$

$$P_{in}(\beta) = (-1)^{(i-1)} \varepsilon_i^n \left\{ 2\Gamma + \bar{\Gamma}' e^{-2i\alpha_n} + C \varepsilon_n^2 \left[\frac{\bar{\Gamma}'}{X_n^2} + \frac{\Gamma'}{\bar{X}_n^2} + \frac{\Gamma' e^{-2i\alpha_n}}{\bar{X}_n^3} \left(\frac{3\varepsilon_n^2}{X_n} - 2X_n \right) \right] + \frac{\varepsilon_n^2 \bar{e}^{-2i\alpha_n} \Gamma}{\bar{X}_n^3} (1 - C_2 C_3 + C_1) - (1 + \alpha) \left(\Gamma + \frac{C \varepsilon_n^2}{X_n^2} \Gamma' \right) \delta_{2i} \right\} i C_n \delta_{2i},$$

$$\Gamma = -\frac{M_x^\infty + M_y^\infty}{4D(1+\nu)}, \quad \Gamma' = \frac{M_y^\infty - M_x^\infty}{2D(1-\nu)}, \quad \lambda_{nK} = \frac{\ell_a}{\ell_K}, \quad \varepsilon_n = \frac{R}{\ell_n},$$

$$C_2 = \frac{\mu_0(1+\alpha)}{x_0 \mu_0 + \mu}, \quad C_3 = \frac{\mu(1+\alpha)}{x_0 \mu_0 + 2\mu - \mu_0}, \quad C_4 = C_3 \frac{\mu - \mu_0}{x_0 \mu_0 + \mu},$$

$$X_n = \gamma e^{i\alpha_n} + Z_n^0 / \ell_n, \quad T_K = \tau e^{i\alpha_K} + Z_K^0 / \ell_K.$$

Крім того, повинні виконуватися умови однозначності кутів повороту нормалі до серединної площини при обході контура n -го включення, рівності нулю головного момента всіх зусиль, прикладених до n -го включення, а також умови однозначності прогинів точок серединної площини при обході n -го включення, які можна записати як

$$\int_1^1 f_{jn}'(\tau) d\tau = 0, \quad j=1,3; \quad n=1,2,\dots,N; \quad \int_1^1 \tau f_{3n}'(\tau) d\tau = 0. \quad /7/$$

Систему рівнянь /6/, /7/ розв'язували чисельно з використанням методу механічних квадратур [1]. Коефіцієнти інтенсивності зусиль у цьому випадку визначали за формулами

$$K_{jn}^j - i K_{2n}^j = \sqrt{\frac{\pi}{l}} \frac{2\beta_n E h}{x-1} \frac{\mu}{\mu} \sum_{m=1}^M (-1)^{(m-1)} U_{jm}'' (\operatorname{ctg} \frac{2m-1}{4M}\pi), \quad (2j-3)$$

$$K_{3n}^j - i K_{4n}^j = \sqrt{\frac{\pi}{l}} \frac{2\beta_n E h}{x-1} \frac{1}{M} \sum_{m=1}^M (-1)^{(m-1)} U_{3m}'' (\operatorname{ctg} \frac{2m-1}{4M}\pi), \quad /8/$$

де $j = 1$ для лівого кінця; $j = 2$ для правого кінця; M – парне;

$$U_{jm}'' = f_{jn}'(t_m) \sqrt{1-t_m^2}; \quad t_m = \cos \frac{2m-1}{2M}\pi.$$

На рис. 2 показана графічна залежність коефіцієнтів інтенсивності напружень $K_{ij}^j = h^2 K_{ij} / (M \sqrt{\pi l})$ від кута орієнтації включення для випадку плити з довільно розташованими кутами отвором і одним прямолінійним тонкостінним включением при $M_y^\infty = 0$ (M_x^∞). Величини, що відносяться до ближньої /по відношенню до отвору/ вершини включения, позначені супільними лініями, до дальньої – пунктирними.

Обчислення проводили при наступних значеннях параметрів:

$$x_0/l = 4, \quad y_0/l = 0, \quad B/l = 0.1, \quad x_1 = x_2 = 5.$$

Криві 4, 3 характеризують значення K_{31} відповідно для тріщини та пружного включения при відносній жорсткості включения $k = \mu_1 / \mu = 0.1$. Криві 2, 7, 1, 6 дають значення коефіцієнтів

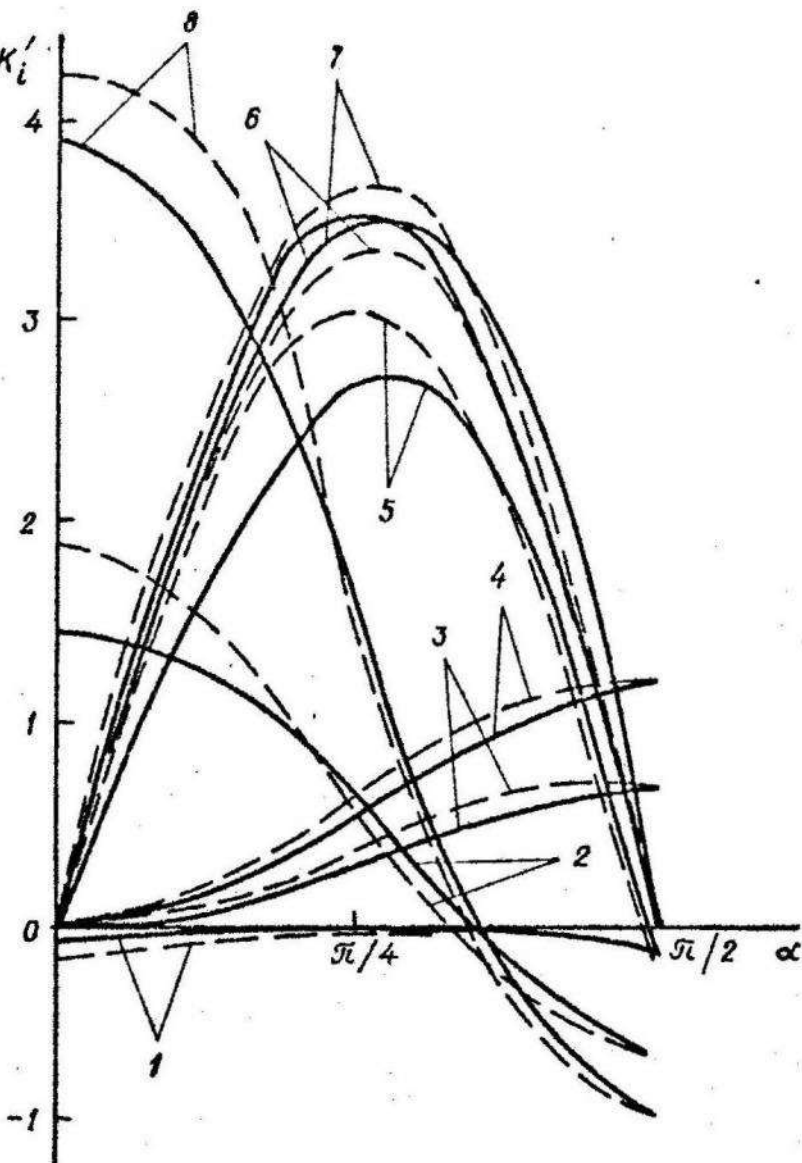


Рис. 2.

$K_i'/l = 1, 2, 3, 4$ для пружного включення при $k=10$, криві 8^o, 5 – значення коефіцієнтів інтенсивності напружень K_{ii}' , K_{21}' для абсолютно жорсткого включення. Решта величин мають порядок $10^{-3} - 10^{-1}$ і на рисунку не показані.

Список літератури: І. Грильчик І. В., Драган М.О., Опанасович В.К. Изгиб плиты с прямолинейным тонкостенным включением. – МТТ, 1979, № 3. 2. Панасюк В.В.; Саврук М.П.; Дацюшин А.Л. Распределение напряжений около трещин в пластинках и оболочках. – Киев: Наукова думка, 1979. З. Прусов И.А. Метод сопряжения в теории плит. – Минск: Изд-во Белорусск. ун-та, 1975.

Стаття надійшла в редколегію 4.07.82

В.К.Опанасович, М.С.Драган

АНТИПЛОСКА ДЕФОРМАЦІЯ ТІЛА

З СИСТЕМОЮ ТОНКИХ ПРУЖНИХ ВКЛЮЧЕНЬ

Нехай у пружному тілі, яке зв'язане з декартовою системою координат $OXYZ$ в N прямолінійних тонких пружних включень типу смуги шириной $2\ell_k$ і товщиной $2h_k$ ($k=1,2,\dots,N$). Припускаємо, що тіло перебуває під дією зовнішнього навантаження в умовах антиплоскої деформації і вісь деформації направлена по осі OZ . На берегах включень має місце ідеальний механічний контакт.

Подібно до монографії [3] розглядаємо лише поперечний переріз XOY . Нехай центри включень O_k визначаються координатами $Z_k^o = X_k^o + iY_k^o$. Точки O_k візьмемо за початки локальних систем координат $X_k O_k Y_k$, а вісь $O_k X_k$ спрямуємо вздовж k -го включения, при цьому кут між цією віссю і віссю OX позначимо через α_k /рис. I/. Величини, які характеризують k -те включение, позначатимемо індексом k , знаками "плюс" і "мінус" - граничні значення функцій при $Y_k \rightarrow +0$ і $Y_k \rightarrow -0$; сегмент дійсної осі $O_k X_k [-\ell_k, \ell_k]$ - через L_k .

Умови механічного контакту n -го включения в тілі

$$\tau_{yz}^{\pm} = (\tau_{yz})_n^{\pm}, \quad W^{\pm} = W_n^{\pm}, \quad n=1,2,\dots,N. \quad IV$$

де W - проекція вектора пружного переміщення на вісь OZ ;

τ_{yz} - компонента тензора напружень.

Нехай у пружному тілі є тільки одне тонке прямолінійне пружне включение, тоді в системі координат $X_k O_k Y_k$ аналітична функція $F(Z_k)$, що характеризує напружено-деформований стан

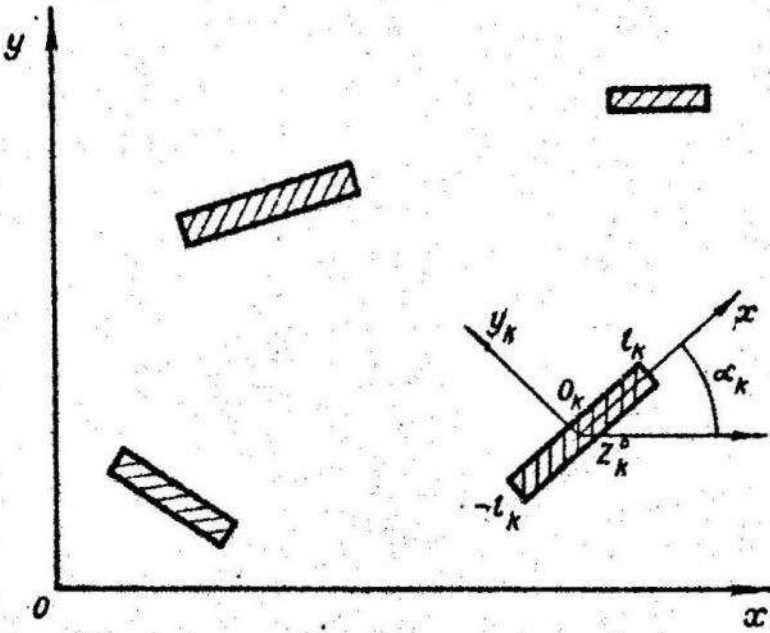


Рис. I.

тіла, має вигляд [2]

$$F(z_k) = h_k [I_k(z_k) + J_k(z_k)] / (2\pi i) + F_0(z_k), \quad 121$$

де

$$I_k(z_k) = \beta \int_{k \cdot l_k}^{l_k} \frac{P(t) dt}{t - z_k}; \quad J_k(z_k) = i \int_{-l_k}^{l_k} \frac{Q_k(t) dt}{t - z_k};$$

$$z_k = x_k + iy_k; \quad \beta = \mu/\mu_k;$$

μ, μ_k - коефіцієнти Ламе; $F_0(z_k)$ - розв'язок тієї ж задачі для тіла без виключення; $P(x), Q_k(x)$ - невідомі функції.

Враховуючи співвідношення 121 і лінійність задачі, аналітичну функцію $F(z)$ для тіла з N пружними виключеннями можна подати у вигляді

$$F(z) = \frac{1}{2\pi i} \sum_{k=1}^N h_k e^{-iz_k} [I_k(z_k) + J_k(z_k)] + F_0(z), \quad 131$$

де

$$Z_k = e^{-ik} (Z - Z_k^0).$$

Використовуючи формули переходу від однієї системи координат до другої [3], для визначення компоненти напруження τ_{yz} і похідної від переміщення W по x_n у системі координат $x_n O_n y_n$ матимемо наступні співвідношення

$$(\mu \frac{\partial}{\partial x} W)_n - L(\tau_{yz})_n = \tilde{F}_n(z_n) + \tilde{F}(z_n), \quad /4/$$

де

$$\tilde{F}_n(z_n) = h_n [I_n(z_n) + J_n(z_n)] / (2\pi i);$$

$$\tilde{F}(z_n) = \sum_{k \neq n} h_k e^{id_{nk}} [I_k(z_k) + J_k(z_k)] / (2\pi i) + F_{on}(z_n); \quad /5/$$

$$Z_k = e^{-ik} (Z_n e^{id_n} + Z_n^0 - Z_k^0), \quad d_{nk} = d_n - d_k.$$

Символ $\sum_{k \neq n}$ позначає суму $\sum_{k=1}^N$, причому при $k=n$ доданок у ній відсутній.

Беручи до уваги /4/, для n -го включення можемо записати

[2]

$$\begin{aligned} \tilde{F}_n^*(x_n) + \tilde{F}_n(x_n) &= \beta_n Q_n(x_n) - i P_n(x_n) - \\ &- 2 [\alpha_n \operatorname{Re} \tilde{F}(x_n) + i \beta_n I_m \tilde{F}(x_n)], \quad x_n \in L_n, \quad n=1,2,\dots,N, \end{aligned} \quad /6/$$

де

$$\alpha_n = 1 - \min(1, \beta_n); \quad \beta_n = 1 - \min(1, 1/\beta_n).$$

Підставляючи вирази функцій $\tilde{F}_n(z_n)$, $\tilde{F}(z_n)$ /5/ в умову /6/, одержуємо систему інтегродиференціальних рівнянь для визначення невідомих функцій $Q_n(x) \pm P_n(x)$:

$$\begin{aligned} & \pi P_n(x) - h_n I_n(x) + \beta_n \sum_{k \neq n} h_k \int_{-\ell_k}^{\ell_k} [Q'_k(t) \operatorname{Im} R_{nk}(t, x) - \\ & - \beta \frac{P'_k(t)}{k} \operatorname{Re} R_{nk}(t, x)] dt = -2\pi \beta_n I_m F_{on}(x), \\ & \pi \beta_n Q_n(x) + i h_n J_n(x) - a_n \sum_{k \neq n} h_k \int_{-\ell_k}^{\ell_k} [\beta \frac{P'_k(t)}{k} \operatorname{Im} R_{nk}(t, x) + \\ & + Q'_k(t) \operatorname{Re} R_{nk}(t, x)] dt = 2\pi a_n \operatorname{Re} F_{on}(x), \quad n=1, 2, \dots, N, \end{aligned}$$

причому

$$R_{nk}(t, x) = \frac{e^{i\alpha_n}}{t - X_n}, \quad T_k = t e^{i\alpha_k + Z_k^\circ}, \quad X_n = x e^{i\alpha_n + Z_n^\circ}.$$

Тут і далі індекс в x_n опускаємо.

На основі /7/, використовуючи метод механічних квадратур [3], записуємо таку систему лінійних алгебраїчних рівнянь:

$$\sum_{m=1}^M v_n(t_m) [\pi \eta(x_i - t_m) - \beta_n \beta / (t_m - x_i)] + \beta_n \sum_{k \neq n} h_k \sum_{m=1}^M [U_k(t_m) \times$$

$$\times \operatorname{Im} R_{nk}(\ell_k t_m, \ell_n x_i) - \beta v_k(t_m) \operatorname{Re} R_{nk}(\ell_k t_m, \ell_n x_i)] =$$

$$= -2M \beta_n I_m F_{on}(x_i).$$

$$\sum_{m=1}^M U_n(t_m) [\pi \beta_n \eta(x_i - t_m) - \beta_n / (t_m - x_i)] - a_n \sum_{k \neq n} h_k \sum_{m=1}^M [\beta v_k(t_m) \times$$

$$\begin{aligned} & \times I_m R_{nk} (\ell_k t_m, \ell_n x_r) + U_k(t_m) Re R_{nk} (\ell_k t_m, \ell_n x_r) \Big] = \\ & = 2M \alpha_n Re F_{on} (\ell_n x_r), \quad m=1, 2, \dots, M, \quad r=1, 2, \dots, M-1, \quad n=1, 2, \dots, N, \end{aligned} \quad /8/$$

де

$$\begin{aligned} x_n &= h_n / \ell_n; \quad t_m = \cos(\pi(2m-1)/(2M)); \quad x_r = \cos(\pi r/M), \\ U_n(t) &= \sqrt{1-t^2} Q'_n(t); \quad V_n(t) = \sqrt{1-t^2} P'_n(t), \quad |t| \leq 1; \end{aligned}$$

$\eta(x)$ - функція Хевісайда.

Систему /8/ слід доповнити співвідношеннями

$$\sum_{m=1}^M U_n(t_m) = 0, \quad \sum_{m=1}^M V_n(t_m) = 0, \quad n=1, 2, \dots, N, \quad /9/$$

які виражають умови рівноваги для кожного включення та умови однозначності переміщень при обході контура включення.

Напруженій стан в околі кінців n -го включення описується тими ж залежностями, що і для одного включення [2], причому коефіцієнти інтенсивності напружень /КІН/ визначають за формулами

$$K_{1n}^{\pm} - i K_{2n}^{\pm} = \mp \frac{h_n}{2V\ell_n} (U_n(\pm 1) - i \beta_n V_n(\pm 1)), \quad /10/$$

де

$$\begin{aligned} \left| \begin{array}{l} U_n(\pm 1) \\ V_n(\pm 1) \end{array} \right\| &= \frac{1}{M} \sum_{m=1}^M \left| \begin{array}{l} U_n(t_m) \\ V_n(t_m) \end{array} \right\| (-1)^r \operatorname{tg}^{\mp 1} \left(\frac{2m-1}{4M} \pi \right), \\ r &= m+1+(M+1)(\mp 1)/2. \end{aligned}$$

Зробивши в /7/ або /8/ відповідний граничний перехід, одержимо розв'язок задачі для бездефектного тіла та тіла з тріщинами [3] і жорсткими включеннями [1].

Проведено числовий аналіз КІН при взаємодії двох включень з однаковою відносною жорсткості $\beta_1 = \beta_2 = \beta$ у випадку, коли задані зсувні напруження на нескінченності. Обчислення проводили при таких значеннях параметрів задачі: $\ell_1 = \ell_2 = \ell$, $h_1 = h_2 = h$, $h/\ell = 0.1$, $a_1 = a_2 = 0$, $z_1^0 = 0$.

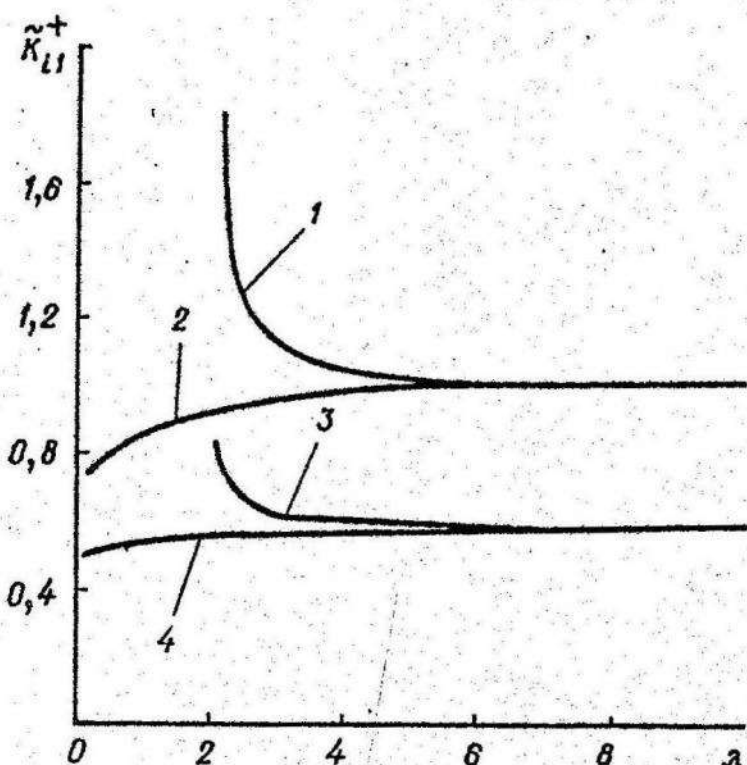


Рис. 2.

На рис. 2 показана залежність КІН $\tilde{K}_{i1}^+ = K_{i1}^+ / \sqrt{\ell} \tau$ ($i=1,2$) від відносної відстані між центрами включень $\lambda = d/\ell$. Криві 1, 3 побудовані для випадку, коли $z_2^0 = d$ і $\tau = \tau_{xz}^\infty$, а криві 2, 4 - для випадку $z_2^0 = id$, $\tau = \tau_{xz}^\infty$. Криві 1, 2 і 3, 4 характеризують R_{21}^+ відповідно, коли β дорівнює 10^5 і 10 . Зауважимо, що ті ж самі криві 1, 2 і 3, 4 характеризують \tilde{K}_{11}^+ відповідно при β , різному 10^{-5} і 0.1 у випадку, коли $\tau = \tau_{yz}^\infty$, при тих же параметрах, що і для $\tau = \tau_{xz}^\infty$.

Як випливає із графіків, КІН збільшуються, коли $\lambda_2^0 = d$
і зменшуються, якщо $\lambda_2^0 = id$. Взаємодія між включеннями по-
чиняється при значенні параметра $\lambda < 5$.

Список літератури: І. Бережницкий Л.Т.,
Лень М.П. Антиплоска деформація тела с жесткими включениями. – Проблемы прочности, 1975, № 8. 2. Опанасович В.К.;
Драган М.С. Антиплоска деформація тіла з тонкоостінним
пружним включением. – Вісн. Львів. ун-ту, сер. мех.-мат., 1981,
вип. 17. З. Панаюк В.В., Саврук М.П., Дацюк
А.П. Распределение напряжений около трещин в пластинах
и оболочках. – Київ: Наукова думка, 1976.

Стаття надійшла в редколегію 3.01.83

УДК 539.3.

М.Ф.Копитко, Я.Г.Савула

ВЛАСНІ КОЛІВАННЯ ОБОЛОНОК НУЛЬОВОЇ ГАУССОВОЇ КРИВИНИ

Розглянемо задачу знаходження власних форм і частот оболонок нульової гауссової кривини, геометрія яких описана у праці [4]. Для апроксимації розв'язку використовуємо напіваналітичний метод скінчених елементів /НМСЕ/ [2, 3].

Задача пошуку n найменших частот і відповідних їм форм власних коливань НМСЕ зводиться до визначення n найменших власних значень і власних векторів системи рівнянь високого порядку N ($n \ll N$):

$$KU - \lambda MU = 0, \quad //I//$$

де K – матриця жорсткості; M – матриця маси оболонки;
 U – вектор невідомих коефіцієнтів; $\lambda = \omega^2$, ω – колова
частота власних коливань.

При розв'язуванні неповної проблеми власних значень для системи /I/ необхідно враховувати малу заповненість матриць K і M , їх велику розмірність N і те, що $n \ll N$.

Перераховані вимоги задоволяє метод, в основу якого покладена ідея одночасної ітерації в n -мірному підпросторі [5; 6]. Цей метод /його ще називають блочно-степеневим/ є узагальненням класичного степеневого методу.

Ідея цього методу полягає ось у чому. Виходячи з матриці U_{i-1} , складеної з n лінійно незалежних стовпців, які є наближенням для власних векторів, розв'язуємо систему рівнянь

$$KX_i = MU_{i-1}.$$

Пізніше розглянемо n -вимірну задачу на власні значення вигляду

$$(X_i^T K X_i) Q = \nu (X_i^T M X_i) Q. \quad /2/$$

Наблизеними значеннями перших n власних чисел системи /I/ є власні значення системи /2/. Нова матриця U_i , яка дорівнює добутку матриці X_i на квадратну матрицю, складену із власних векторів системи /2/, це i -те наближення для власних векторів системи /I/. Доведено, що при $i \rightarrow \infty$ власні значення системи /2/ прямають до n перших власних значень системи /I/, а власні вектори U_i — до власних векторів системи /I/.

Описаний підхід до знаходження власних форм коливань і відповідних їм частот реалізований у вигляді комплексу програм на мові ФОРТРАН-ІІУ для машини ЕС І022 і апробований на ряді прикладів.

Приклад I. Розглянемо власні коливання прямокутної шарнірно спертої пластини товщини $h = 0,05$, ширини $a = 3,14$,

довжини $B = 10$ /коєфіцієнт Пуассона $\nu = 0,3$, модуль Енга $E = 1$, густина матеріалу $\rho = 1$.

Для n півхвиль по ширині пластинки і однієї півхвилі по довжині в табл. I наведені значення квадратів власних колових частот коливань ω^2 . Дані табл. I дають змогу говорити про характер збіжності власних частот залежно від кількості скінчених елементів N_1 на ширині пластинки.

Таблиця I

n	$\omega^2 \cdot 10^3$			
	[7]	$N_1 = 6$	$N_1 = 12$	$N_1 = 22$
1	0,27635	0,27638	0,27568	0,26914
2	3,8459	3,8519	3,8457	3,8419
3	18,952	19,099	18,962	189,947
4	59,333	61,089	59,428	59,338

Приклад 2. Розглянемо власні коливання колової циліндричної оболонки товщини $h = 0,05$, радіуса $R = 10$, довжини $l = 10$. На торцях оболонки задані умови шарнірного опирания. Для власних форм коливань з однією півхвилею по довжині оболонки і числом півхвиль, кратним восьми, по торцю у табл. 2 наведені значення квадратів власних колових частот при різній кількості елементів N_1 по торцю.

Таблиця 2

$n/8$	$\omega^2 \cdot 10^3$				
	[1]	$N_1 = 6$	$N_1 = 12$	$N_1 = 18$	$N_1 = 26$
1	0,30343	0,55357	0,35975	0,32409	0,31612
2	1,6326	2,6062	1,8684	1,7274	1,6914
3	7,8609	9,9996	8,3873	8,0727	7,9879
4	24,417	28,556	25,423	24,854	24,705
5	37,960	37,964	37,962	37,958	37,955

Приклад 3. Дослідимо залежність частот і форм власних коливань циліндричного перекриття від виду напрямної. Довжина перекриття $\ell = 100$, ширина $A = 16\pi$, висота $B = 16$, товщина $h = 2$. Для різних видів напрямної у табл. 3 наведено шість перших власних частот коливань.

Таблиця 3

n	$\omega^2 \cdot 10^3$				
	коло	еліпс	парабола	косинусоїда	ланцюгова лінія
1	0,11526	0,08557	0,08890	0,08040	0,09624
2	0,24796	0,11035	0,27956	0,25979	0,27788
3	0,83809	0,46447	0,75335	0,64120	0,82903
4	1,07276	0,76558	0,82939	0,83782	0,83832
5	1,8487	1,44447	1,7605	1,6831	1,7900
6	2,3235	1,8898	2,0181	1,9951	2,0385

Список літератури: 1. Гольденвейзер А.Л., Шидский В.Б., Товстик Т.Е. Свободные колебания тонких упругих оболочек. - М.: Наука, 1979. 2. Зенкевич О. Метод конечных элементов в технике. - М.: Мир, 1975. 3. Савула Я.Г., Флейшиан Н.Н., Шинкаренко Г.А. Метод расчета труб с произвольной криволинейной осью. - Сопротивление материалов и теория сооружений, 1978, вып. 38. 4. Савула Я.Г., Шинкаренко Г.А., Бовк В.Н. Некоторые приложения метода конечных элементов. - Львов, 1981. 5. Синкаренко Т.В. Применение метода конечных элементов к расчету форм и частот собственных колебаний авиационных конструкций. - Уч. зап. Центр. аэрогидродинам. ин-та, 1981, № 2. 6. Стренд Г., Фикс Дж. Теория метода конечных элементов. - М.: Мир, 1976. 7. Филиппов А.П. Колебания деформируемых систем. - М.: Машиностроение, 1970.

Стаття надійшла в редакцію 02.II.81

Б.В.Ковальчук

ДВОМІРНА СТАЦІОНАРНА ЗАДАЧА ТЕПЛОПРОВІДНОСТІ
ДЛЯ ШАРУ З ТОНКИМ ВКЛЮЧЕННЯМ

Розглянемо шар товщиною ℓ , в якому на відстані \bar{z} , від граничної поверхні $Z=0$ розміщена серединна поверхня чуко-рідного включення товщиною $2d$. На поверхнях $Z=0$, $Z=\ell$ шару задані температури як функції координати x , тобто

$$\left. t \right|_{Z=0} = t_0(x), \quad \left. t \right|_{Z=\ell} = t_\ell(x). \quad /1/$$

Подамо тепlopровідність шару як єдиного цілого у вигляді

$$\lambda(z) = \lambda_1 + (\lambda_0 - \lambda_1) N(z), \quad /2/$$

де λ_1 , λ_0 – коефіцієнти тепlopровідності основного матеріалу і включення;

$$N(z) = S_+(z-z_1+d) - S_+(z-z_1-d),$$

$$S_\pm(\zeta) = \begin{cases} 1, & \zeta > 0, \\ 0,5 \pm 0,5, & \zeta = 0, \\ 0, & \zeta < 0. \end{cases}$$

Підставивши /2/ у рівняння тепlopровідності неоднорідного тіла

$$\lambda(z) \frac{\partial^2 t}{\partial x^2} + \frac{\partial}{\partial z} \left[\lambda(z) \frac{\partial t}{\partial z} \right] = 0, \quad /3/$$

одержимо

$$[\lambda_1 + (\lambda_0 - \lambda_1) N(z)] \frac{\partial^2 t}{\partial x^2} + \lambda_1 \frac{\partial^2 t}{\partial z^2} + (\lambda_0 - \lambda_1) \frac{\partial}{\partial z} \left[N(z) \frac{\partial t}{\partial z} \right] = 0. \quad /4/$$

Оскільки включення тонке, то [1]

$$\lim_{d \rightarrow 0} \frac{N(z)}{2d} = \delta(z - z_1),$$

15/

де $\delta(z - z_1)$ – дельта-функція Дірака.

Ввівши зведену тепlopровідність $\Lambda_0 = 2\lambda_0 d$ [2], з огляду на 15/ записемо рівняння 14/ у вигляді

$$\begin{aligned} \frac{\partial^2 t}{\partial x^2} + \frac{\partial^2 t}{\partial z^2} &= -\frac{\Lambda_0}{2\lambda_1} (1 - K_\lambda^{-1}) \left[2 \frac{\partial^2 t}{\partial x^2} \Big|_{z_1} \delta(z - z_1) + \right. \\ &\quad \left. + \left(\frac{\partial t}{\partial z} \Big|_{z_1+0} + \frac{\partial t}{\partial z} \Big|_{z_1-0} \right) \delta'(z - z_1) \right], \end{aligned}$$

16/

$$\text{де } K_\lambda = \frac{\lambda_0}{\lambda}, \quad \delta'(z - z_1) = \frac{d\delta(z - z_1)}{dz}.$$

Застосуємо до рівняння 16/ перетворення Фур'є по x . В результаті одержимо рівняння

$$\begin{aligned} \frac{d^2 \tilde{t}}{dz^2} - \xi^2 \tilde{t} &= \frac{\Lambda_0}{2\lambda_1} (1 - K_\lambda^{-1}) \left[2 \xi^2 \tilde{t} \Big|_{z_1} \delta(z - z_1) - \right. \\ &\quad \left. - (\tilde{t}' \Big|_{z_1+0} + \tilde{t}' \Big|_{z_1-0}) \delta'(z - z_1) \right], \end{aligned}$$

17/

де ξ – параметр перетворення Фур'є.

При цьому граничні умови 1/1 записуємо як

$$\tilde{t} \Big|_{z=0} = \tilde{t}_0, \quad \tilde{t} \Big|_{z=l} = \tilde{t}_l.$$

18/

Загальний розв'язок рівняння 17/ має вигляд

$$\begin{aligned} \tilde{t} &= A ch |\xi| z + B sh |\xi| z - \frac{\Lambda_0}{2\lambda_1} (1 - K_\lambda^{-1}) \left[|\xi| \tilde{t} \Big|_{z_1} e^{-|\xi| |z - z_1|} + \right. \\ &\quad \left. + \frac{1}{2} (\tilde{t}' \Big|_{z_1+0} + \tilde{t}' \Big|_{z_1-0}) e^{-|\xi| |z - z_1|} \operatorname{sign}(z - z_1) \right], \end{aligned}$$

19/

де сталі $A : B$ потрібно визначати із граничних умов 18/.

Продиференціювавши /9/ по z , маємо

$$\frac{d\bar{t}}{dz} = |\xi| (A \sinh |\xi| z + B \cosh |\xi| z) + \frac{\Lambda_0}{2\lambda} (1 - K_\lambda^{-1}) \left\{ \int_{z_1}^z \bar{t} e^{-|\xi|(z-z_1)} \operatorname{sign}(z-z_1) + \right. \\ \left. + (\bar{t}'|_{z_1+0} + \bar{t}'|_{z_1-0}) \left[\frac{1}{2} |\xi| e^{-|\xi|(z-z_1)} - \delta(z-z_1) \right] \right\}. \quad /10/$$

Із /9/ і /10/ знаходимо

$$\bar{t}|_{z_1} = \frac{A \cosh |\xi| z_1 + B \sinh |\xi| z_1}{1 + \mathcal{L}(|\xi|)}, \quad /11/$$

$$\bar{t}'|_{z_1+0} + \bar{t}'|_{z_1-0} = \frac{2|\xi| (A \sinh |\xi| z_1 + B \cosh |\xi| z_1)}{1 - \mathcal{L}(|\xi|)}, \quad /12/$$

$$\text{де } \mathcal{L}(|\xi|) = \frac{|\xi| \Lambda_0}{2\lambda} (1 - K_\lambda^{-1}).$$

Згідно з граничними умовами /8/ одержуємо таку систему алгебраїчних рівнянь:

$$A [1 + (M \sinh |\xi| z_1 - K \cosh |\xi| z_1) e^{-|\xi| z_1}] + \\ + B (M \cosh |\xi| z_1 - K \sinh |\xi| z_1) e^{-|\xi| z_1} = \bar{b}_0, \quad /13/$$

$$A [\cosh |\xi| \ell - (M \sinh |\xi| z_1 + K \cosh |\xi| z_1) e^{-|\xi|(\ell-z_1)}] + \\ + B [\sinh |\xi| \ell - (M \cosh |\xi| z_1 + K \sinh |\xi| z_1) e^{-|\xi|(\ell-z_1)}] = \bar{t}_\ell, \quad /14/$$

де

$$M = M(|\xi|) = \frac{\mathcal{L}(|\xi|)}{1 - \mathcal{L}(|\xi|)}; K = K(|\xi|) = \frac{\mathcal{L}(|\xi|)}{1 + \mathcal{L}(|\xi|)}$$

Звідси одержуємо

$$A = \tilde{\Delta}_0^{-1} \left\{ \tilde{t}_0 [sh|\xi|l - (Mch|\xi|z_1 + Ksh|\xi|z_1) e^{-|\xi|(l-z_1)}] - \right. \\ \left. - \tilde{t}_\ell (Mch|\xi|z_1 + Ksh|\xi|z_1) e^{-|\xi|z_1} \right\}, \quad /15/$$

$$B = \tilde{\Delta}_0^{-1} \left\{ \tilde{t}_0 [(Msh|\xi|z_1 + Kch|\xi|z_1) e^{-|\xi|(l-z_1)} - ch|\xi|l] + \right. \\ \left. + \tilde{t}_\ell [1 + (Msh|\xi|z_1 - Kch|\xi|z_1) e^{-|\xi|z_1}] \right\}, \quad /16/$$

де

$$\tilde{\Delta}_0 = \Delta_0(|\xi|) = sh|\xi|l - \frac{2z}{1-z^2} ch|\xi|(l-2z).$$

Підставивши тепер /11/, /12/, /15/, /16/ у /9/, після деяких перетворень маємо

$$\tilde{t} = [\Delta_0(|\xi|)]^{-1} \left\{ \tilde{t}_0 [sh|\xi|(l-z) - M(|\xi|)ch|\xi|(z-z_1) e^{-|\xi|(l-z_1)} + \right. \\ + K(|\xi|)sh|\xi|(z-z_1) e^{-|\xi|(l-z_1)} + M(|\xi|)ch|\xi|(l-z) e^{-|\xi|(l-z)} sign(z-z_1) \\ - M(|\xi|)K(|\xi|) e^{-|\xi|(l-z_1)+l-z_1} sign(z-z_1) + \\ + M(|\xi|)K(|\xi|) e^{-|\xi|(l-z_1)+l-z_1} - K(|\xi|)sh|\xi|(l-z_1) e^{-|\xi|(l-z_1)} + \\ + \tilde{t}_\ell [sh|\xi|z - K(|\xi|)sh|\xi|(z-z_1) e^{-|\xi|z_1} - \\ - K(|\xi|)sh|\xi|z_1 e^{-|\xi|(z-z_1)} + \\ + 2M(|\xi|)K(|\xi|)S(z-z_1) e^{-|\xi|(z_1+z-z_1)} - \right\}$$

$$-M(|\xi|)ch|\xi|(z-z_1)e^{-|\xi|/z} - M(|\xi|)ch|\xi|z e^{-|\xi|/z-z_1} sign(z-z_1),$$

/17/

Перейшовши в /17/ від трансформант до оригіналів, одержуємо розв'язок, який відповідає довільній зміні по координаті x температур граничних поверхонь неоднорідного шару.

У випадку, коли на поверхнях $z=0$, $z=\ell$ шару температури змінюються, наприклад, за законом

$$t_0 = \Theta_0 \cos \omega x, \quad t_\ell = \Theta_\ell \cos \omega x \quad /18/$$

розв'язок поставленої задачі має вигляд

$$\begin{aligned} t = [\Delta_0(\omega)]^{-1} \cos \omega x \{ & \Theta_0 [sh \omega(\ell-z) - M(\omega) ch \omega(z-z_1) e^{-\omega(\ell-z)} + \\ & + K(\omega) sh \omega(z-z_1) e^{-\omega(\ell-z)} + M(\omega) ch \omega(\ell-z) e^{-\omega|z-z_1|} sign(z-z_1) - \\ & - M(\omega) K(\omega) e^{-\omega(|z-z_1|+\ell-z)} sign(z-z_1) + M(\omega) K(\omega) e^{-(|z-z_1|+\ell-z)} - \\ & - K(\omega) sh \omega(\ell-z) e^{-\omega|z-z_1|}] + Q_\ell [sh \omega z - K(\omega) sh \omega(z-z_1) e^{-\omega z} - \\ & - K(\omega) sh \omega z e^{-\omega|z-z_1|} + 2 M(\omega) K(\omega) S(z-z_1) e^{-\omega(z_1+|z-z_1|)} - \\ & - M(\omega) ch \omega(z-z_1) e^{-\omega z} - M(\omega) ch \omega z e^{-\omega|z-z_1|} sign(z-z_1)] \}, \end{aligned}$$

/19/

$$M(\omega) = \frac{\mathcal{L}(\omega)}{1-\mathcal{Z}(\omega)}; \quad K(\omega) = \frac{\mathcal{L}(\omega)}{1+\mathcal{Z}(\omega)};$$

$$\Delta_0(\omega) = sh \omega \ell - \frac{2 \mathcal{L}(\omega)}{1 - [\mathcal{Z}(\omega)]^2} ch \omega (\ell - 2z_1).$$

При $Z = \bar{Z}$, маємо

$$t|_{Z_1} = \frac{\cos \omega x}{2\Delta_0(\omega)} \left\{ \theta_0 \left[\frac{e^{\omega(l-Z_1)}}{1+Z(\omega)} - \frac{e^{-\omega(l-Z_1)}}{1-Z(\omega)} \right] + \right.$$
$$\left. + \theta_l \left[\frac{e^{\omega Z_1}}{1+Z(\omega)} - \frac{e^{-\omega Z_1}}{1-Z(\omega)} \right] \right\}.$$

120/

Зауважимо, що аналогічним способом можна визначити температурне поле в шарі з N тонкими включеннями.

Список літератури: І. Корн Г., Корн Т. Справочник по математике для научных работников и инженеров. - М.: Наука, 1968. 2. Підстригач Я.С., Коляно Д.М. Обобщенная термомеханика. - Київ: Наукова думка, 1976.

Стаття надійшла в редколегію 28.02.83

УДК 517.51 /517.88

Л.С.Базилевич

ЛОТИЧНІ КУЛІ Й АСИМПТОТИЧНА КРИВИНА

Нехай \mathbb{R}^n - арифметичний евклідовий простір. Позначимо через $d(x, y)$ відстань між точками $x, y \in \mathbb{R}^n$, через $K(x, r)$ - відкриту кулю радіуса r з центром у точці $x \in \mathbb{R}^n$.

Дамо означення кривини довільної множини /слід відзначити, що ідея такого сказання кривини належить І.Н.Песіну/.

Означення 1. Множина $M \subset \mathbb{R}^3$ має в точці p кривину, коли точка p - неізольвана точка множини M , і існує коло S таке, що $d(p, S) = O(d^2(p, p))$ при $p' \rightarrow p, p' \in M$.

Означення 2. Множина $M \subset \mathbb{R}^3$ має в точці p поверхневу кривину, коли p - неізольвана точка множини M , і існує по-

верхня $Q \in \varphi / \varphi$ - множина поверхонь другого порядку /така, що

$$d(\rho', Q) = 0 / d^2(\rho', \rho)) \quad \text{при } \rho' \rightarrow \rho, \rho \in M.$$

Якщо M - два рази диференційовна крива або поверхня, то означення 1 і 2 збігаються з прийнятими.

Означення 3. Множина M має у точці ρ асимптотичну /поверхневу/ кривину, коли існує така нимірна підмножина $N \subset M$ що N має в точці ρ /поверхневу/ кривину і ортогональна проекція множини N на дотичну /площину/ до M у точці ρ має точку ρ точкою зовнішньої густини.

Означення 4. Множина $M \subset \mathbb{R}^3$ має в точці $\rho \in M$ властивість A , якщо існує відкрита куля K така, що $\rho \in \partial K$ $K \cap M = \emptyset$.

Означення 5. Множина $M \subset \mathbb{R}^3$ має в точці $\rho \in M$ властивість B , коли існують дві відкриті кулі K_1 і K_2 , $K_1 \cap K_2 = \emptyset$, $K_1 \cup K_2 \subset M$, такі, що $\rho \in \partial K_1 \cap \partial K_2$, $K_1 \cap K_2 \neq \emptyset$ і $(K_1 \cup K_2) \cap M = \emptyset$.

Не зменшуючи загальності, можна вважати, що кулі K_1 і K_2 однакового радіусу.

Лема I. Нехай множина $M \subset \mathbb{R}^3$ у кожній своїй точці має властивість A , причому радіус τ кулі K з означення 4 станий для всіх точок $\rho \in M$, а напрям прямої, яка проходить через точку ρ і центр кулі K , утворює з напрямом осі OZ кут, не більший, ніж $\pi/8$, і $\text{diam } M \leq \frac{\tau}{3}$. Тоді множина M розташована на поверхні Q , що має поверхневу кривину у всіх своїх точках, крім, можливо, множини точок двомірної хаусдорфової міри нуль.

Доведення. Нехай $A := \bigcup \{K_\rho \cap K(\rho, \frac{\tau}{3}) / \rho \in M\}$, $P(A)$ - проекція множини A на площину xOy , а Q - графік функції $f(x, y) = \min z / (x, y, z) \in A, (x, y) \in P(A)\}$. Поверхня Q має в кожній своїй точці властивість A , причому радіус куль K з означення 4 для всіх точок $\rho \in Q$ дорів-

число γ , а кут між напрямком прямої, що проходить через точку P і центр кулі K , та осі OZ не перевищує числа $\alpha < \frac{\pi}{2}$. Неважко перевірити, що функція f задовільняє умову Ліпшица і є два рази диференційованою майже всюди на $P(A)$. Тому Q має поверхневу кривину в усіх своїх точках, крім, можливо, точок множини двомірної хаусдорфової міри нуль.

Теорема I. Нехай множина $M \subset R^3$ має властивість A в усіх своїх точках, крім, можливо, точок множини двомірної хаусдорфової міри нуль. Тоді M має асимптотичну кривину в усіх своїх точках, крім, можливо, точок множини двомірної хаусдорфової міри нуль.

Доведення. Зобразимо множину M у вигляді $M \setminus L = \bigcup M_i$, де множини $\varphi_i(M_i) / \varphi_i$ - деяка ізометрія простору R^3 , задовільняють умови леми I, а L - множина двомірної хаусдорфової міри нуль. За лемою I, кожна множина $\varphi_i(\bar{M}_i)$ розташована на поверхні Q_i , що є графіком функції $f_i : R^2 \rightarrow R^1$, яка має поверхневу кривину в усіх своїх точках, крім, можливо, точок множини L_i двомірної хаусдорфової міри нуль. Позначимо через N_i множину точок густини множини $P(\bar{M}_i)$. Множина $P(\bar{M}_i) \setminus N_i$ має плоску лебегову міру нуль, а $\bar{M}_i \setminus \varphi_i(f_i(N_i))$ - двомірну хаусдорфову міру нуль / функція f_i задовільняє умову Ліпшица/. Тому множина M має асимптотичну кривину в усіх своїх точках, крім точок множини $L \cup (\bigcup_i (M_i \setminus \varphi_i(f_i(N_i))))$ двомірної хаусдорфової міри нуль. Теорема доведена.

Нехай у точці P множина M має властивість B , і K_1, K_2 - кулі з означення 5 радіусу R . Нехай R' - радіус кулі, для якої коло $\partial K_1 \cap \partial K_2$ - екватор. Через γ_p позначимо мінімум двох чисел: R' і $\sqrt{R'^2 - (R')^2}$, а через ℓ_p -

пряму, що проходить через точку ρ і середину відрізка, який сполучає центри куль K_1 і K_2 .

Лема 2. Нехай замкнена множина M має в усіх своїх точках властивість B , причому для всіх $\rho \in M$ числа $\tau_p = \tau - \text{const}$, кут між напрямом прямої E_ρ і осі OZ не більший, ніж $\pi/8$, $\text{diam } M \leq 2/3$. Тоді M розташована на кривій, що має кривину всюди, крім, можливо, точок множини довжини нуль.

Доведення. Нехай $A := \{(K_1 \cup K_2) \cap K(\rho, \frac{2}{3}) \mid \rho \in M\}$, де $(K_1 \cup K_2)_\rho$ - об'єднання куль K_1 і K_2 , що відповідають точці ρ ; $P(A)$ - проекція множини A на площину xOy а Q - графік функції $f(x, y) = \{\min z \mid (x, y, z) \in A, (x, y) \in P(A)\}$. Площина Π_ρ , що проходить через точку ρ і центри куль K_1 і K_2 ділить всі точки множини M /крім точки ρ / на дві множини: N_1 і N_2 . Приймемо

$$(\forall x \in M)((x < \rho \Leftrightarrow x \in N_1) \wedge (x > \rho \Leftrightarrow x \in N_2)).$$

Нехай $\rho' < \rho \in N_1$, N'_1 - відповідні множини, утворені площею $\Pi_{\rho'}$. З огляду на умови леми, перепозначаючи, коли потрібно, отримуємо, що $N'_1 \subset N_1$ і $N'_2 \supset N_2$. Приймемо

$$(\forall x \in M)((x < \rho' \Leftrightarrow x \in N'_1) \wedge (x > \rho' \Leftrightarrow x \in N'_2)).$$

Аналогічно робимо для точок $\rho' > \rho$. Відношення $<$ лінійно впорядковує множину M , і топологія порядку $<$ збігається з топологією, індукованою вкладенням $M \subset \mathbb{R}^3$. Для всякої точки $\rho \in M$ приймемо $x_\rho := \inf \{x \in M \mid x > \rho\}$. Якщо $x \neq x_\rho$, то точки ρ і x_ρ з'єднуємо в просторі

$\mathbb{R}^3 \setminus (K_1 \cup K_2 \cup K'_1 \cup K'_2)$, де K_1 , K_2 - кулі з означення 5 для точки ρ , а K'_1 , K'_2 - для точки ρ' ; найкоротшою два рази диференційованою кривою γ_ρ . Неважко бачити, що крива $\Gamma = M \cup \bigcup \{\gamma_\rho \mid \rho \in M\}$ шукана. Лема доведена.

Теорема 2. Нехай множина $M \subset \mathbb{R}^3$ має властивість B в усіх своїх точках, крім, можливо, точок множини довжини нуль.

Тоді M має асимптотичну кривину в усіх точках, крім, можливо, точок множини довжини нуль.

Доведення теореми 2 повторює доведення теореми I з заміною леми I на лему 2.

Зауважимо, що існує ніде не диференційовна крива /поверхня/, яка має у кожній точці властивість B /властивість A/.

Стаття надійшла в редколегію 28.02.83

УДК 517.946

В.М.Кирилич

ЗАДАЧА З НЕРОЗДІЛНИМИ ГРАНІЧНИМИ УМОВАМИ ДЛЯ ГІПЕРБОЛІЧНОЇ СИСТЕМИ ПЕРШОГО ПОРЯДКУ НА ПРЯМІЙ

Постановка задачі. Нехай G - криволінійний сектор, обмежений кривими ℓ_1 і ℓ_2 , які задаються рівняннями $x=a(t)$ і $x=\delta(t)$ ($a(0)=\delta(0)=0$, $a(t)<\delta(t) \forall t>0$).

В G розглядається гіперболічна система рівнянь

$$(D_t + \lambda_i D_x) u_i = \sum_{j=1}^n a_{ij}(x,t) u_j + f_i(x,t), \quad i = \overline{1, n}. \quad /I/$$

Всі задані функції з класу $C(\bar{G})$. Припускаємо, що розв'язок $\xi = \varphi_i(\tau, x, t)$ задачі Коші $d\xi/d\tau = \lambda_i(\xi, \tau)$, $\xi(t) = x$, $i = \overline{1, n}$ один для будь-якої точки $(x, t) \in G$ і може бути єдиним способом продовжений для всіх $\tau < t$, так, щоб точка $(\varphi_i(\tau, x, t), \tau)$ досягала границі області G . Відповідну інтегральну криву позначимо через $Q_i(x, t)$.

Припускаємо, що різниця $\lambda_i(x(t), t) - x'(t)$ не має при $t > 0$ нулів, і позначимо через K сукупність індексів i , ($i = \overline{1, p+q}$, $0 < p, q < n$), для яких ця різниця додатна при $x = a(t)$, а

через K сукупність індексів i , ($i = \overline{p+1, n}$), для яких вона від'ємна при $x = \beta(t)$. Приймемо $K^t = K^+ \cap K^-$.

В області G потрібно знайти узагальнений розв'язок системи /I/, який на кривих ℓ_1 та ℓ_2 задовільняє задані граничні умови

$$\sum_{j=1}^n (\alpha_{ij}(t) u_j(a(t), t) + \beta_{ij}(t) u_j(b(t), t)) = h_i(t), \quad i = \overline{1, n+q}, \quad /2/$$

де $\alpha_{ij}(t); \beta_{ij}(t); h_i(t) \in C(\mathbb{R}_+)$.

Відзначимо, що коли $q = 0$, або $p = n$, то задача /I/, /2/ перетворюється в задачу Коши для системи /I/ з початковими умовами на кривій ℓ_1 чи ℓ_2 . Задачі без початкових умов для гіперболічних систем типу /I/ вивчені у працях [2], [3].

Решай

$$\alpha_i(t) = \|\alpha_{ij}(t)\|, j \in K^+,$$

$$\beta_i(t) = \|\beta_{ij}(t)\|, j \in K^-,$$

$$\beta_2(t) = \|\beta_{ij}(t)\|, j \in K^+ \setminus K^t, \quad (i = \overline{1, n+q})$$

$$\alpha_2(t) = \|\alpha_{ij}(t)\|, j \in K^- \setminus K^t,$$

$$A(t) = \|\alpha_i(t) \beta_i(t)\|,$$

$$B(t) = \|\beta_2(t) \alpha_2(t)\|.$$

Припускаємо, що

$$\det A(t) \neq 0 \quad \forall t > 0, \quad /3/$$

$$|A(0)|^2 B(0) < 1, \quad /4/$$

$$\sum_{j=1}^{n+q} \beta_{ij}(0) h_j(0) = 0, \quad i \in K^t, \quad /5/$$

де за норму матриці вибирають одну зі звичайних її норм, а

$\delta_{ij}(0)$ - елементи матриці $[I - A(0)^{-1}B(0)]^{-1}A(0)^{-1}$.

Згідно з неперервністю завжди знайдеться таке $\varepsilon > 0$, що
 $|A(t)^{-1}B(t)| < 1 \forall t \in [0, \varepsilon]$.

Існування і єдиність узагальненого розв'язку. Введемо допоміжні функції

$$v_i^a(t) = u_i(a(t), t), i \in K^+, v_i^b(t) = u_i(b(t), t), i \in K^-.$$

Праву частину системи /1/ позначимо через $F_i(x, t)$. Згідно з розподілом знаків рівніщі $\lambda_i(x(t), t) - x'(t)$ характеристики, що виходять з точки $(0, 0)$, розподілять G на компоненти $G_i, i \in K^\pm$, іронумеровані справа наліво.

Інтегруючи i -те рівняння системи /1/ вздовж характеристики $Q_i(x, t), i = \overline{1, n}$, одержимо [1]:

$$u_i(x, t) = \omega_i(x, t) + \int_{t_i(x, t)}^x F_i(\varphi_i(\tau, x, t), \tau) d\tau, i = \overline{1, n}, \quad /6/$$

де

$$\omega_i(x, t) = \begin{cases} v_i^a(t_i(x, t)), i \in K^+, \\ v_i^b(t_i(x, t)), i \in K^-. \end{cases}$$

$t_i(x, t)$ - ордината точки перетину характеристики $\xi = \varphi_i(\tau, x, t)$ з кривою e_1 , при $i \in K^+$, або з кривою e_2 при $i \in K^-$.

Очевидно, що питання про існування і єдиність розв'язку задачі /1/, /2/ зводиться до однозначного знаходження функцій $\omega_i(x, t)$. Підставляючи /6/ у /2/, одержуємо систему для визначення функцій $v_i^a(t), v_i^b(t)$:

$$\sum_{j=1}^{p+q} a_{ij}(t) v_j^a(t) + \sum_{j=p+1}^n \beta_{ij}(t) v_j^b(t) =$$

$$= - \sum_{j=1}^p \beta_{ij}(t) v_j^a(t_j(b(t), t)) -$$

$$\begin{aligned}
 & - \sum_{j=p+q+1}^n \alpha_{ij}(t) \dot{\psi}_j^\beta(t_j(a(t), t)) - \\
 & - \sum_{j=1}^p \beta_{ij}(t) \int_{t_j(\theta(t), t)}^t F_j(\psi_j(\tau, \theta(t), t), \tau) d\tau - \\
 & - \sum_{j=p+q+1}^n \alpha_{ij}(t) \int_{t_j(a(t), t)}^t F_j(\psi_j(\tau, a(t), t), \tau) d\tau + h_i(t), \\
 & i = \overline{1, n+q}.
 \end{aligned} \quad /7/$$

Враховуючи умову /3/, систему /7/ можна записати у такому вигляді:

$$\dot{\psi}(t) = P(t)\psi + H(t, u), \quad /8/$$

де

$$\psi(t) = \text{col} (\psi_1^\alpha(t), \dots, \psi_{p+q}^\alpha(t), \psi_{p+1}^\beta(t), \dots, \psi_n^\beta(t)),$$

$P(t)$ – оператор, норма якого при $t = 0$ збігається з нормою матриці $A(0)^T B(0)$; $H(t, u)$ – лінійний оператор типу Вольтерра, який легко визначити з системи /7/. За умовою /4/

$$\psi(t) = [I - P(t)]^{-1} H(t, u).$$

Підставивши знайдені $\psi_i^\alpha(t)$, $\psi_i^\beta(t)$ в /6/, одержимо систему інтегральних рівнянь Вольтерра другого роду відносно шуканих функцій u_i , яка розв'язується методом ітерацій. Розв'язок такої системи називамо узагальненим неперервним розв'язком задачі /1/, /2/. Оскільки при переході через характеристики

$Q_i(0,0), i \in K^\pm$ характер рівнянь системи /1/ змінюється, то для забезпечення неперервності розв'язку на характеристиках

$\xi = \psi_i(\tau, 0, 0), i \in K^\pm$ потрібно знайти умови узгодження.

Легко перевірити, що /5/ забезпечують дану вимогу. Отже, справедлива наступна теорема.

Теорема. Нехай: 1/ функції $\lambda_i(x,t)$, $a_{ij}(x,t)$,
 $f_i(x,t) \in C(\bar{G})$; 2/ $\alpha_{ij}(t)$, $\beta_{ij}(t)$, $h_i(t) \in C(R_+)$;
3/ $\alpha(t)$, $\beta(t) \in C(R_+)$; 4/ виконуються умови /3/ - /5/.

Тоді задача /I/-/2/ має єдиний неперервний узагальнений розв'язок.

Зauważення. 1. Підшукуючи гладкість відповідних функцій і вимагаючи умови узгодженості першого порядку в точці $(0,0)$, можна довести існування і єдність класичного розв'язку задачі /I/, /2/.

2. Глобальність розв'язку задачі /I/, /2/ випливає з того, що коли знайдено розв'язок при $t \leq \varepsilon$, то для $t \geq \varepsilon$ одержуємо змішану задачу з початковими умовами при $t = \varepsilon$. Така задача легко розв'язується викладеним тут методом.

Список літератури: I. А б о д и н я В.Э., Мишкис А.Д. О смешанной задаче для линейной гиперболической системы на плоскости. - Уч. зап. Латв. ун-та, 1958, 20, вып. 3. 2. М е л ь - ник З.О. Одна неклассическая граничная задача для гиперболической системы первого порядка с двумя независимыми переменными. - Дифференц. уравн., 1981, 17, № 6. 3. Holten R.P. Generalized Boussat Problem. - *Pacif. J. Math.*, 1962, 12, № 1.

Стаття надійшла в редколегію 28.02.83

З М І С Т

Шербина Ю.М., Голуб Б.М. Збіжність ітераційного методу з пам'яттю для мінімізації функцій.....	3
Жук М.В., Дзвоник А.Я. Застосування методу Канторовича для систем диференціальних рівнянь.....	8
Дудзянський І.М., Цимбал В.М. Асимптотика розв'язку змішаної задачі для деякого рівняння третього порядку.....	15
Мартиненко Марія Д., Мартиненко Михайло Д. Задача без початкових умов для рівняння теплопровідності зі змінними коефіцієнтами.....	19
Квіт І.Л. Зворотна формула для відниття відрізкового вектора.....	21
Гнатишин О.П. Поелементне резервування при неоднаковій надійності резерву.....	26
Грильський Д.В. Система сингулярних інтегральних рівнянь для плоскої контактної задачі термопружності при стаціонарному тепловиділенні на ділянці контакту.....	29
Грильський Д.В., Окрепікій Б.С. Осесиметрична задача про тиск штампа на ізотропний шар, який лежить на жорсткій основі з вирізом.....	34
Шацький І.П. Полога циліндрична оболонка з жорстким вилоченням вздовж напрямної.....	45
Ощипко Л.Й. Оптимальний розрахунок оболонок ЕВП.....	49

Хлебников Д.Г., Прокоп'шин І.А., Паращак О.М. Осесиметрична задача згину пластин- ки гладким штампом з врахуванням відставання.....	54
Флейшиан Н.П., Бобик Х.О. Розв'язу- вання краївих задач теорії пластин методом інваріант- ного застурення.....	57
Тисовський Л.О. Згин плити з круглою шайбою і тонкими пружними прямолінійними включеннями... .	64
Опанасович В.К., Драган М.С. Ани- плоска деформація тіла з системою тонких пружних вклу- чень.....	71
Копитко М.Ф., Савула Я.Г. Власні ко- ливання оболонок нульової гауссової кривини.....	77
Ковал'чук Б.В. Двовимірна стаціонарна за- дача тепlopровідності для шару з тонким включенням.....	81
Базилевич Л.Є. Дотичні кулі й асимптотична кривина.....	86
Кирилич В.М. Задача з нероздільними гранич- ними умовами для гіперболічної системи першого порядку на прямій.....	90

УДК 519.6

Сходимость итерационного метода с памятью для минимизации функций. Е. е р б и на Д.Н., Г о л у б Б.М. - Вестн. Львов. ун-та, сер. мех.-мат., вып.22. Прикладные задачи математики и механики. - Львов: Вища школа. Изд-во при Львов. ун-те, 1984, с. 3-7 /на укр. яз./.

Для решения задачи $f(x) \rightarrow \min, x \in E^n$ исследуется итерационный метод

$$x_{n+1} = x_n - [f''(\bar{x}_n)]^{-1} f'(x_n),$$

$$\bar{x}_n = \begin{cases} x_0, & \text{если } n=0, \\ x_n - \frac{1}{2} [f''(\bar{x}_{n-1})]^{-1} f'(x_n), & \text{если } n=1,2,3,\dots \end{cases}$$

Порядок сходимости этого метода равен $1 + \sqrt{2} \approx 2.41$, в то же время увеличение количества операций на каждой итерации по сравнению с методом Ньютона незначительно. Доказана сходимость метода для сильно выпуклых функций $f \in C^3$. Библиогр.: 5 назв.

УДК 518:517.9

Применение метода Канторовича для систем дифференциальных уравнений. І у к М.В., Д з в о н и к А.Я. - Вестн. Львов. ун-та, сер. мех.-мат., вып.22. Прикладные задачи математики и механики. Львов: Вища школа. Изд-во при Львов. ун-те, 1984, с. 8-15 /на укр. яз./.

Метод Канторовича применен для решения систем дифференциальных уравнений. Доказана теорема существования и единственности решения исходной задачи и системы метода Канторовича. Библиогр.: 4 назв.

УДК 517.946

Асимптотика решения смешанной задачи для некоторого уравнения третьего порядка. Дудзянин И.М., Цимбал В.Н. - Вестн. Львов. ун-та, сер. мех.-мат., вып.22. Прикладные задачи математики и механики. Львов: Вища школа. Изд-во при Львов. ун-те, 1984, с. 15-19 /на укр. яз./.

Методом погранслоя получено асимптотическое разложение решения смешанной задачи для сингулярно возмущенного уравнения в частных производных третьего порядка. Малый параметр входит множителем при первой производной по времени и третьей производной по пространственной координате. Библиогр.: 6 назв.

УДК 517.944:947

Задача без начальных условий для уравнения теплопроводности с переменными коэффициентами. Мартыненко Мария Д., Мартыненко Михаил Д. - Вестн. Львов. ун-та, сер. мех.-мат., вып.22. Прикладные задачи математики и механики. - Львов: Вища школа. Изд-во при Львов. ун-те, 1984, с. 19-21 /на укр. яз./.

Доказана теорема о разрешимости задачи без начальных условий для уравнения теплопроводности с переменными во времени коэффициентами. Библиогр.: 2 назв.

УДК 519.21

Формула обращения для отражения случайного вектора. Квит И.Д. - Вестн. Львов. ун-та, сер. мех.-мат., вып.22. Прикладные задачи математики и механики. Львов: Вища школа. Изд-во при Львов. ун-те, 1984, с. 21-26 /на укр. яз./.

На основании определения интервального ограничителя в многомерном первом гипероктанте доказывается формула обращения для отражения положительного случайного вектора. Из нее же получаются многомерная теорема единственности и формула для многомерной плотности вероятности. Библиогр.: 4 назв.

УДК 621.3

Поэлементное резервирование при неодинаковой надежности резерва. Гнатишин А.П. - Вестн. Львов. ун-та, сер. мех.-мат., вып.22. Прикладные задачи математики и механики. Львов: Вища школа. Изд-во при Львов. ун-те, 1984, с. 26-28 /на укр. яз./.

Рассматривается задача определения числа резервных элементов для обеспечения наперед заданной надежности некоторой сложной системы. Библиогр.: 2 назв.

УДК 539.3

Система сингулярных интегральных уравнений для плоской контактной задачи термоупругости при стационарном тепловыделении на плосадке контакта. Грилицкий Д.В. - Вестн. Львов. ун-та, сер. мех.-мат., вып.22. Прикладные задачи математики и механики. Львов: Вища школа. Изд-во при Львов. ун-те, 1984, с. 29-34 /на укр. яз./.

Дана математическая постановка плоской контактной задачи термоупругости о скатии двух упругих изотропных тел при стационарном тепловыделении на плосадке контакта и выведена для нее система сингулярных интегральных и интегро-дифференциальных уравнений. Ил. 1. Библиогр.: 2 назв.

УДК 539.3

Осьсимметричная задача о давлении штампа на изотропный слой, лежащий на жестком основании. Грилицкий Д.В., Окрепкий Б.С. - Вестн. Львов. ун-та, сер. мех.-мат., вып. 22. Прикладные задачи математики и механики. Львов: Вища школа. Изд-во при Львов. ун-те, 1984, с. 34-45 /на укр. яз./.

Решается задача о давлении жесткого штампа на слой при смешанных условиях на его нижней границе. Приведены графики распределения контактных давления и перемещений слоя над вырезом в зависимости от его толщины. Ил. 5. Библиогр.: 4 назв.

УДК 539.3

Пологая цилиндрическая оболочка с жестким включением вдоль направляющей. Шацкий И.П. - Вестн. Львов. ун-та, сер. мех.-мат., вып. 22. Прикладные задачи математики и механики. Львов: Вища школа. Изд-во при Львов. ун-те, 1984, с. 45-49 /на укр. яз./.

Задача о концентрации напряжений в окрестности жесткого линейного включения, локализованного вдоль отрезка направляющей пологой цилиндрической оболочки, при симметрическом нагружении сведена к решению системы сингулярных интегральных уравнений относительно скачков сдвигавшего и перерезывающего усилий. На основе численного решения интегральных уравнений методом механических квадратур произведен анализ зависимостей коэффициентов интенсивности усилий и моментов от параметра кривизны оболочки. Числовые результаты приведены в виде графиков. Ил. 4. Библиогр.: 2 назв.

УДК 539.3

Оптимальный расчет оболочек ЭВМ. Ощипко Л.И. - Вестн. Львов. ун-та, сер. мех.-мат., вып. 22. Прикладные задачи математики и механики. - Львов: Вища школа. Изд-во при Львов. ун-те, 1984, с. 49-53 /на укр. яз./.

Решается задача оптимального проектирования конструкции, состоящей из двух сферических и двух цилиндрических оболочек. Сферическая и цилиндрическая оболочки сопряжены через ребро жесткости. Минимизируется объем конструкции, при ограничениях на максимальные эквивалентные напряжения и некоторые геометрические параметры. Задача сводится к задаче геометрического программирования. Ил. 1. Библиогр.: 4 назв.

УДК 539.3

Одесимметрическая задача изгиба пластинки гладким штампом с учетом отставания. Хлебников Д.Г., Прокопий И.И., Парацак А.М. - Вестн. Львов. ун-та, сер. мех.-мат., вып.22. Прикладные задачи математики и механики. Львов: Выща школа. Изд-во при Львов. ун-те, 1984, с. 54-57 /на укр. яз./.

Решена осесимметрическая задача изгиба свободно опертой пластинки кольцевым гладким штампом с неизвестной зоной контакта. В качестве исходных соотношений используются приближенные уравнения на контактное давление и функции напряжений, полученные операторным методом и учитывющие деформации сдвига и поперечное сжатие пластинки. Граница области контакта определяется методом последовательных приближений на основе решения задачи о заданной зоной контакта.

Полученное решение используется для исследования отставания центральной части круглой пластинки при изгибе ее сплошным штампом. Ил. 2. Библиогр.: 4 назв.

Решение краевых задач теории пластин методом инвариантного погружения. Флейшман Н.П., Бобик Х.Е. - Вестн. Львов. ун-та, сер. мех.-мат., вып.22. Прикладные задачи математики и механики. Львов: Выща школа. Изд-во при Львов. ун-те, 1984, с. 57-64 /на укр. яз./.

Рассматривается краевая задача для системы двух дифференциальных уравнений общего вида с частными производными второго порядка, которая моделирует задачи теории изотропных и анизотропных пластин. После дискретизации задача сведена к одному матрично-векторному разностному уравнению второго порядка, которое решается методом инвариантного погружения. Библиогр.: 2 назв.

УДК 539.3

Изгиб плиты с круглой каймой и тонкими упругими прямолинейными включениями. Т и с о в с к и й Л.О. - Вестн. Львов. ун-та, сер. мех.-мат., вып. 22. Прикладные задачи математики и механики. Львов: Выща школа. Изд-во при Львов. ун-те, 1984, с. 64-70 /на укр. яз./.

Исследуется задача о напряженно-деформированном состоянии кусочно-однородной плиты, ослабленной системой произвольно расположенных тонких упругих включений. Приведены выражения для коэффициентов интенсивности напряжений в окрестностях концов включений. Дан численный анализ задачи для случая одного произвольно расположенного тонкого включения. Ил. 2. Список лит.: 3 назв.

УДК 539.3II

Антиплоская деформация тела с системой тонких упругих включений. О п а н а с о в и ч В.К., Д р а г а н М.С. - Вестн. Львов. ун-та, сер. мех.-мат., вып. 22. Прикладные задачи математики и механики. Львов: Выща школа. Изд-во при Львов. ун-те, 1984, с. 71-77 /на укр. яз./.

Рассмотрена антиплоская деформация тела, содержащего ино-родные тонкие прямолинейные упругие включения. При помощи методов теории функций комплексного переменного задача сведена к системе интеграло-дифференциальных уравнений, которая решалась методом механических квадратур. Приведен численный анализ коэффициентов интенсивности напряжений для случая взаимодействия двух упругих включений в теле, находящегося под воздействием одно-родных сдвиговых напряжений на бесконечности. Ил. 2. Библиогр.: 3 назв.

УДК 539.3

Собственные колебания оболочек нулевой гауссовой кривизны.
Копитко М.Ф., Савула Я.Г. - Вестн. Львов. ун-та,
сер. мех.-мат., вып.22. Примкадные задачи математики и механики.
Львов: Выща школа. Изд-во при Львов. ун-те, 1984, с. 77-80
/на укр. яз./.

Полуаналитическим методом конечных элементов исследуются
собственные колебания оболочек нулевой гауссовой кривизны. Час-
тичная проблема собственных значений для матриц больших размер-
ностей решается блочно-степенным методом. Алгоритм реализован
в виде комплекса программ. Приведены численные результаты.
Библиогр.: 7 назв.

УДК 517.95.32

Двумерная стационарная задача теплопроводности для слоя с
тонким включением. Ковалъчук Б.В. - Вестн. Львов. ун-та,
сер. мех.-мат., вып.22. Примкадные задачи математики и механики.
Львов: Выща школа. Изд-во при Львов. ун-те, 1984, с. 81-86
/на укр. яз./.

С помощью интегрального преобразования Фурье получено ре-
шение двумерной стационарной задачи теплопроводности для слоя с
тонким включением. При этом коэффициент теплопроводности слоя
как единого целого представляется с помощью дельта-функции Дирака.
Задача сводится к решению дифференциального уравнения, содер-
жащего коэффициентами дельта-функцию Дирака и ее производную.
Библиогр.: 2 назв.

УДК 517.51/517.88

Касательные мағи и асимптотическая кривизна. Базиле-
вич Л.Е. - Вестн. Львов. ун-та, сер. мех.-мат., вып. 22.
Примкадные задачи математики и механики. Львов: Выща школа.
Изд-во при Львов. ун-те, 1984, с. 86-90 /на укр. яз./.

Дается определение /асимптотической/ кривизны для произ-
вольных подмножеств евклидова пространства \mathbb{R}^n , устанавли-
вается связь этих понятий с свойством существования у множества
касательных мағов. Библиогр.: 2 назв.

УДК 517.946

Задача с неразделямыми граничными условиями для гиперболической системы первого порядка на прямой. К и р и л и ч В.М. — Вестн. Львов. ун-та, сер.мех.-мат., вип.22. Прикладные задачи математики и механики. Львов: Вища школа. Изд-во при Львов. ун-те, 1984, с. 90-94 /на укр. яз./.

Установлена корректная разрешимость одной неклассической граничной задачи в криволинейном секторе, в который попадают характеристики системы, выходящие из его вершины. Библиогр.: 3 назв.

Вестник Львовского университета

Серия механико-математическая

Выпуск 22

ПРИКЛАДНЫЕ ЗАДАЧИ МАТЕМАТИКИ И МЕХАНИКИ

Львов

Издательство при Львовском государственном
университете
издательского объединения "Вища школа"
/290000, Львов, ул. Университетская, 1/
/На украинском языке/

Редактор В.В. Войтович

Технічний редактор С.В. Конопотюк

Коректор В.П. Короленко

Н/К

Шіл. до друку I7.II.83. НГ 12372. Формат 60x84/16.

Папір друк. № 3. Офс. друк. Ум. друк. арк. 6,04.

Обл.-вид. арк. 3,9. Тираж 600 прим. Вид. № II77.

Зам. № 4126 . Ціна 55 к.. Замовне.

Видавництво при Львівському державному університеті
видавничого об'єднання "Вища школа", 290000, Львів,
вул. Університетська, 1.

Львівська обласна книжкова друкарня, 290000, Львів,
вул. Стецьника, 11.

55 коп.



Вісн. Львів. ун-ту. Сер. мех.-мат. 1984, вип. 22, 1—104.